

**ČESKÉ VYSOKÉ  
UČENÍ TECHNICKÉ  
V PRAZE**

**FAKULTA  
STAVEBNÍ**



**BAKALÁŘSKÁ  
PRÁCE**

**2023**

**BARBORA  
ŘÍHOVÁ**

## ZADÁNÍ BAKALÁŘSKÉ PRÁCE

### I. OSOBNÍ A STUDIJNÍ ÚDAJE

Příjmení: Řihová Jméno: Barbora Osobní číslo: 494248  
 Zadávající katedra: Katedra ocelových a dřevěných konstrukcí  
 Studijní program: Stavební inženýrství  
 Studijní obor/specializace: Konstrukce pozemních staveb

### II. ÚDAJE K BAKALÁŘSKÉ PRÁCI

Název bakalářské práce: Jízdárna  
 Název bakalářské práce anglicky: Riding Hall  
 Pokyny pro vypracování:  
 Bakalářská práce bude obsahovat technickou zprávu, výkresovou část včetně vybraných detailů a statický výpočet.

#### Seznam doporučené literatury:

- [1] Kuklík: Dřevěné konstrukce, ČVUT Praha
- [2] Kuklík, Kuklíková, Mikeš: Dřevěné konstrukce 1, Cvičení, ČVUT Praha
- [3] Studnička, Holický: Ocelové konstrukce 20 - Zatížení staveb, ČVUT Praha
- [4] [http://fast10.vsb.cz/temtis/documents/handbook\\_2\\_CZ.pdf](http://fast10.vsb.cz/temtis/documents/handbook_2_CZ.pdf)
- [5] ČSN EN 1995-1-1
- [6] ČSN Online | Portál FSv ČVUT (cvut.cz)

Jméno vedoucího bakalářské práce: Ing. Anna Kuklíková, Ph.D.

Datum zadání bakalářské práce: 20.02.2023

Termín odevzdání BP v IS KOS: 22.05.2023  
 Údaj uveďte v souladu s datem v časovém plánu příslušného ak. roku

[Redacted Signature]  
 Podpis vedoucího práce

[Redacted Signature]  
 Podpis vedoucího katedry

### III. PŘEVZETÍ ZADÁNÍ

*Beru na vědomí, že jsem povinen vypracovat bakalářskou práci samostatně, bez cizí pomoci, s výjimkou poskytnutých konzultací. Seznam použité literatury, jiných pramenů a jmen konzultantů je nutné uvést v bakalářské práci a při citování postupovat v souladu s metodickou příručkou ČVUT „Jak psát vysokoškolské závěrečné práce“ a metodickým pokynem ČVUT „O dodržování etických principů při přípravě vysokoškolských závěrečných prací“.*

20.02.2023

Datum převzetí zadání

[Redacted Signature]  
 Podpis studenta(ky)

# ČESKÉ VYSOKÉ UČENÍ TECHNICKÉ V PRAZE

Fakulta stavební

Katedra ocelových a dřevěných konstrukcí



## BAKALÁŘSKÁ PRÁCE

### JÍZDÁRNA

### RIDING HALL

Studijní program: Stavení inženýrství  
Studijní obor: Konstrukce pozemních staveb  
Vedoucí práce: Ing. Anna Kuklíková, PhD.

2023

Barbora Říhová

## **Čestné prohlášení**

Prohlašuji, že jsem tuto bakalářskou práci vypracovala samostatně, za odborného vedení vedoucí Ing. Anny Kuklíkové, Ph.D. Dále prohlašuji, že veškeré podklady, ze kterých jsem čerpala, jsou uvedeny v seznamu použité literatury.

V Praze dne 22. 5. 2023

Podpis.....

## **Poděkování**

Děkuji Ing. Anně Kuklíkové, Ph.D. za cenné rady, věcné připomínky a vstřícnost při konzultacích, které mi pomohly bakalářskou práci zkompletovat. Poděkování patří také mým kamarádům za podporu během celého mého studia.

## **Anotace**

Tématem bakalářské práce je projekt jezdecké haly. V začátku práce je řešena volba nosného systému a jeho návrh, pokračováním je projektová dokumentace řešící jednopodlažní halový objekt.

## **Annotation**

The topic of this thesis is a project of a riding hall. It begins with a description of a structural support system design and continues with a project documentation on a single-storey hall object.

## **Klíčová slova**

Dřevo, Jízdárna, Lepené lamelové dřevo, Vaznice, Ohyb, Smyk, Trojkloubová konstrukce, Rámová konstrukce

## **Keywords**

Wood, Riding hall, Glued laminated wood, Purlin, Bending, Shear, Three-hinged arch, Frame construction

# ČESKÉ VYSOKÉ UČENÍ TECHNICKÉ V PRAZE

Fakulta stavební

Katedra ocelových a dřevěných konstrukcí



**BAKALÁŘSKÁ PRÁCE**

**JÍZDÁRNA**

## Obsah

A.	SOUHRNNÁ TECHNICKÁ ZPRÁVA.....	3
A.1.	Urbanistické, architektonické a stavebně technické řešení .....	3
A.1.1.	Vymezení a současný stav řešeného území, zhodnocení staveniště .....	3
A.2.	Urbanistické a architektonické řešení stavby a pozemku .....	3
A.2.1.	Architektonicko-urbanistické řešení .....	3
A.2.2.	Dispoziční a provozní řešení.....	3
A.2.3.	Zemní práce.....	3
A.2.4.	Základy .....	4
A.2.5.	Svislé konstrukce .....	4
A.2.6.	Vodorovné konstrukce .....	4
A.2.7.	Ztužení.....	4
A.2.8.	Nosná konstrukce střechy a skladba střechy .....	4
A.2.9.	Komíny, Tepelná izolace, Hydroizolace spodní stavby, Protiradonová opatření .....	4
A.2.10.	Výplně otvorů.....	4
A.2.11.	Podlaha.....	5
A.2.12.	Úpravy povrchů.....	5
A.2.13.	Klempířské výrobky .....	5
A.2.14.	Barevné řešení exteriéru.....	5
A.2.15.	Hasící přístroje.....	5
A.2.16.	Vliv objektu a jeho užívání na životní prostředí případných negativních účinků .....	5
A.2.17.	Skladby konstrukcí.....	5
B.	Použitý software.....	6
C.	Použité podklady.....	6
C.1.	Normy a vyhlášky.....	6
C.2.	Literatura a internetové zdroje .....	7
D.	Obsah výkresů .....	8



## A. SOUHRNNÁ TECHNICKÁ ZPRÁVA

### A.1. Urbanistické, architektonické a stavebně technické řešení

#### A.1.1. Vymezení a současný stav řešeného území, zhodnocení staveniště

Stavba je umístěna na rovinném pozemku číslo 177 v K.Ú. obce Tábor. Objekt bude napojen na inženýrské sítě, které jsou vedeny v přilehlé komunikaci. Stavbou nebudou dotčeny žádné stávající objekty.

### A.2. Urbanistické a architektonické řešení stavby a pozemku

#### A.2.1. Architektonicko-urbanistické řešení

Hala je situována v okrajové části Tábora a předpokladem je, že je součástí komplexu včetně ustájení koní, místa pro uskladnění sena, slámy a dalších krmiv a dalšího potřebného zázemí k jejich ošetřování a jiné potřebné péči a práce s nimi. Tato technická zpráva se týká pouze samotné haly jízdárny.

Půdorys haly je ve tvaru obdélníku na osy 28x55 m. Celkový půdorys je 28,65x55,57. Budova má v jižní čelní části velká vrata, která umožňují vjezd i nákladním automobilům. Ve východní části jsou umístěny dvojice dveře pro vstup osob.

Nosná konstrukce budovy je řešena jako dřevěný skelet s lehkým obvodovým pláštěm. Střecha je sedlová se sklonem přibližně osmnáct stupňů. Nosná konstrukce střechy je provedena z plnostěnných lepených vazníků s náběhy. Jako krytina střechy je použita velkoformátová plechová krytina SATJAM RAPID ukládaná na laťování.

Hala je založena na betonových základových patkách.

#### A.2.2. Dispoziční a provozní řešení

Dispozičně je jízdárna rozdělena na jeden úsek, a to jezdeckou dráhu, která má rozměry 54x26m a je vymezena lambrínou vysokou 1,8 m.

#### A.2.3. Zemní práce

Po celé ploše budoucí novostavby, bude před započítáním výkopových prací sejmuta ornice v tl. 200 mm, tato ornice bude deponována na předem určené místo a znovu použita po dokončení stavby. Samotné výkopy budou prováděny strojně.

Zemní práce budou podle IGP zvládnutelné běžnými těžebními mechanismy bez nutnosti předchozího rozpojování horniny. Těsně před betonáží základů je potřebné ruční začištění až na základovou spáru. Na staveništi se ponechá zemina určená na zpětné zásypy.

Geologické poměry a spodní stavba je založena na zemině S4. Samotné základy řešeny v části založení objektu.

## A.2.4. Základy

Základy jsou navrženy z železobetonu C20/25. Jedná se o patky 2,5 x 1,2m. Patky pod dřevěnými rámy budou vyztužené výztuží o třídě 10505. A patky pod štítovými sloupy 1,4x0,8m

## A.2.5. Svislé konstrukce

Jako hlavní nosná konstrukce je navržen trojkloubový dřevěný rám s náběhy z lepeného lamelového dřeva třídy GL24h. Průřez stojky v patní části je 2x 120x600 a v místě spoje 2x 120 x 1500 mm. Průřez příčle je 200x600mm ve vrcholové části a 200x1500mm v místě spoje se stojkou. Osová vzdálenost vazníků je 5 m. Spoj v patě je tvořen dvojicí ocelových plechů spojených čepem o průměru 50 mm.

V obou štítových stěnách jsou umístěny dřevěné sloupy z lepeného lamelového dřeva třídy GL24h. Štítové sloupy jsou od sebe vzdáleny v osově vzdálenosti 4 m. Sloupy jsou navrženy jednotného průřezu 200 x 280 mm. Uložení je řešeno kloubově, ve vrcholu je třeba umožnit svislý posun od deformace vazníku.

## A.2.6. Vodorovné konstrukce

Nejsou součástí projektu

## A.2.7. Ztužení

Ztužení haly v podélném směru je zajištěno pomocí systému ocelových táhel v rovině střechy. Ztužidla jsou navržena ve druhém, prostředním a předposledním poli. Jsou navržena ocelová táhla Macalloy S460 – M20, která jsou připojena ke konstrukci příčle poblíž vaznic.

## A.2.8. Nosná konstrukce střechy a skladba střechy

Navržena je sedlová střech o sklonu cca 18°. Střešní plášť tvoří systémové řešení desek je použita velkoformátová plechová krytina SATJAM RAPID ukládaná na laťování, bude dodržen montážní návod. Latě 40x60mm, které jsou osově vzdáleny 240 mm a u okraje střechy po 125 mm. Latě leží na krokvicích o průřezu 120x160 mm. Osová vzdálenost krokví je 1 m a jsou uloženy na vaznici. Vaznice jsou navrženy z lepeného lamelového dřeva třídy GL24h o průřezu 180 x 240 mm. Vaznice o délce 5 m a osově vzdálenosti 4,2 m jsou připojeny k vazníkům pomocí BOVA Třmen BV/T 11-41 /180x220. Uvažuje se kloubové uložení.

Žlaby jsou půlkruhového tvaru D200 a jsou ve sklonu 1 % svedeny do rohů haly, kde jsou napojeny na okapové svody D150.

Ve štítech bude provedeno oplechování.

## A.2.9. Komíny, Tepelná izolace, Hydroizolace spodní stavby, Protiradonová opatření

Není součástí projektu

## A.2.10. Výplně otvorů

Okna budou dřevěná neotvíravá po celé podélné východní a západní stěně o rozměrech 4240x1440 mm, ve štítové jižní a severní stěně budou o rozměrech 3800x1400 mm. Vstupní dveře

ve východní podélné části budou dřevěné o rozměrech 900x1970 mm, z toho jedny pravé a druhé levé. Vrata do jízdárny budou dřevěná 3800x3900 mm.

### **A.2.11. Podlaha**

Specifická skladba jízdárenské podlahy pro kvalitní pohyb koní se skládá z jízdárenské směsi JUMP o tl. 100mm, dělicí plastová voština EQUO-FLEX vyplněná kačirkem o frakci 2/8 tl. 100mm, kamenná drť frakce 8/16 tl. 50mm a šterku frakce 16/32 tl. 250-300mm.

### **A.2.12. Úpravy povrchů**

Všechny dřevěné prvky, tj. rámy, vaznice, krokve, latě, sloupy, paždíky a fasáda budou opatřeny před montáží důkladnou impregnací proti hnilobě, plísní a hmyzu. Tuto impregnaci provede odborná firma.

### **A.2.13. Klempířské výrobky**

Klempířské výrobky jsou z pozinkovaného plechu tl. 0,7mm.

### **A.2.14. Barevné řešení exteriéru**

Barevné řešení exteriéru je tmavě hnědé.

### **A.2.15. Hasící přístroje**

V každém rohu haly jsou na stěně upevněn ruční hasící přístroj.

### **A.2.16. Vliv objektu a jeho užívání na životní prostředí případných negativních účinků**

Stavba nemá negativní vliv na krajinu ani přírodu. Během výstavby nedojde ke kácení žádných dřevin. Pozemek se nenachází v území s chráněnými živočichy nebo rostlinami.

Stavba nenaruší ekologické funkce a vazby v krajině.

### **A.2.17. Skladby konstrukcí**

Zastřešení - Skladba S1

- Střešní krytina, plechová SATJAM RAPID tl. 5mm
- Střešní latě 60x40 mm
- Střešní krokve C24 120x160 mm
- Vaznice lepené lamelové dřevo GL24h 180x240 mm

Jezdecká plocha - Skladba S2

- Jízdárenská směs JUMP tl. 100 mm
- Dělicí plastová voština EQUO-FLEX vysypaná pískem/kačirkem frakce 2/8 tl. 100mm
- Kamenná drť frakce 8/16 tl. 50mm
- Štěrka frakce 16/32 tl. 250-300 mm
- Upevněný terén

## Stěnový plášť - Skladba S3

- Dřevěná fasáda tl. 25 mm
- Dřevěné latě 60x40 mm
- Dřevěné paždíky z rostlého dřeva 200x80, vzduchová mezera 200mm
- Dřevěné latě 60x40 mm
- Dřevěné palubky tl. 25 mm

## Zpevněné plochy - Skladba S4

- Betonová dlažba ve spádu 2-3% od stavby tl. 80mm
- Štěrka frakce 4/6 tl. 70 mm
- Štěrka frakce 0/64 tl. 100 mm
- Původní zemina typu S3

## B. Použitý software

MicroSoft WORD – studentská verze

Scia Engineer 21.1. – studentská verze

Autocad 2022 – studentská verze

## C. Použité podklady

### C.1. Normy a vyhlášky

[1] Dokumentace provedení stavby je provedená dle vyhlášky 268/2009 Sb. o obecných požadavcích na výstavbu, vyhlášky 499/2006 Sb. o dokumentaci staveb a zákonu č. 183/2006 Sb. o územním plánování a stavebním řádu.

[2] ČSN EN 1991-1-1 Eurokód 1: Zatížení konstrukcí - Část 1-1: Obecná zatížení – Objemové tíhy, vlastní tíha a užitná zatížení. Praha. Český normalizační institut, 2004

[3] ČSN EN 1991-1-1 Eurokód 1: Zatížení konstrukcí - Část 1-3: Obecná zatížení – Zatížení sněhem. Praha. Český normalizační institut, 2005

[4] ČSN EN 1991-1-1 Eurokód 1: Zatížení konstrukcí - Část 1-4: Obecná zatížení – Zatížení větrem. Praha. Český normalizační institut, 2007

[5] ČSN EN 1995-1-1 Eurokód 5: Navrhování dřevěných konstrukcí – Část 1-1: Obecná pravidla – Společná pravidla a pravidla pro pozemní stavby. Praha. Český normalizační institut, 2007

[6] ČSN EN 1995-1-1 Eurokód 7: Navrhování geotechnických konstrukcí – Část 1-1: Obecná pravidla. Praha. Český normalizační institut, 2006

### C.2. Literatura a internetové zdroje

[7] Podklady do cvičení, BO003 / BO006 Dřevěné konstrukce. Ondřej Pešek, Ústav kovových a dřevěných konstrukcí, Fakulta stavební, VUT v Brně

[8] Stavba Jízdáren, Typy Směsí [cit. 2023-17-04]. Stamonting s.r.o., dostupné z <https://stavbajzdaren.cz>

[9] Dřevěné Konstrukce, Haly, Sklady, Jízdárny [cit. 2023-17-04]. Dřevěné konstrukce s.r.o., dostupné z <https://www.drevenekonstrukce.cz>

[10] Střechy SATJAM, Katalog SATJAM střechy [cit. 2023-17-04]. Střešní krytiny Satjam, s.r.o., dostupné z <http://www.satjam.cz>

[11] Tábla Maccaloy, technická dokumentace [cit. 2023-17-04]. Tension Systém s.r.o., dostupné z <http://www.tension.cz>

[12] Příručka 2 Navrhování dřevěných konstrukcí podle Eurokódu 5, Kuklík Petr, 2008

[13] VRANÝ, T., WALD, F. Ocelové konstrukce – Tabulky. ČVUT. Praha, 2009.

[14] WOLF SYSTÉM, Jízdárny a Stáje [cit. 2023-17-04]. WOLF SYSTEM spol. s r.o., dostupné z <https://www.wolfssystem.cz>

[15] TEMTIS Case study no. 9, SPORTS HALL – ČESKÝ TĚŠÍN [cit. 2023-17-04]. Antonín Lokaj, dostupné z <http://fast10.vsb.cz/temtis>

[16] BOVA Březnice, Kování na dřevěné tesařské konstrukce [cit. 2023-17-04]. BOVA, dostupné z <http://bova-nail.cz>

[17] Kuklík, Kuklíková, Mikeš: Dřevěné konstrukce 1, Cvičení, ČVUT Praha

## D. Obsah výkresů

1. Skladby konstrukcí – střešní plášť, podlaha na zemině, obvodový plášť 1:20
2. Konstrukční půdorys 1:100
3. Rám 1:100
4. Půdorys 1:50
5. Příčný řez 1:50
6. Podélný řez 1:50
7. Pohled – Jižní 1:100
8. Pohled – Východní 1:100
9. Konstrukční pohled příčný 1:80
10. Konstrukční pohled podélný 1:80
11. Základy 1:50

Detaily:

1. D1. - DETAIL NÁVAZNOSTI OBV. PLÁŠTĚ + STŘECHA 1:10
2. D2. - DETAIL PATNÍHO KLOUBU 1:5
3. D3. - DETAIL PŘÍPOJE VRCHOLOVÉHO KLOUBU 1:5
4. D4. – STŘEŠNÍ SVĚTLÍK 1:30

# ČESKÉ VYSOKÉ UČENÍ TECHNICKÉ V PRAZE

Fakulta stavební

Katedra ocelových a dřevěných konstrukcí



**BAKALÁŘSKÁ PRÁCE**

**JÍZDÁRNA**

2023

Barbora Říhová

Obsah

1.	STANOVENÍ ZATÍŽENÍ .....	4
1.1.	STÁLÉ ZATÍŽENÍ .....	4
1.1.1.	Vlastní tíha.....	4
1.1.2.	Střešní plášť.....	4
1.2.	PROMĚNNÉ ZATÍŽENÍ .....	5
1.2.1.	Užitné zatížení .....	5
1.2.2.	Zatížení sněhem .....	5
1.2.3.	Zatížení větrem.....	6
1.2.4.	Zatěžovací stav větru.....	11
1.3.	KOMBINACE ZATÍŽENÍ .....	11
2.	NÁVRH A POSOUZENÍ PRVKŮ .....	11
2.1.	KROVKVE.....	11
2.1.1.	ZATÍŽENÍ .....	11
2.1.2.	Obálka vnitřních sil .....	12
2.1.3.	Materiálové charakteristiky .....	13
2.1.4.	Geometrické charakteristiky .....	13
2.2.	Vaznice:.....	15
2.2.1.	Zatížení .....	15
2.2.2.	Vnitřní síly.....	15
2.2.3.	Materiálové charakteristiky .....	15
2.2.4.	Geometrické charakteristiky .....	16
2.2.5.	Posouzení MSÚ.....	16
2.2.6.	Posouzení MSP .....	17
2.2.7.	Posouzení na Klopení .....	17
2.3.	RÁM: .....	18
2.3.1.	Zatížení .....	18
2.3.2.	Kombinace zatížení .....	18
2.3.3.	Vnitřní síly.....	19
2.3.4.	Návrh a posouzení spoje stojky a příčle .....	20
2.3.5.	Kolíky .....	21
2.3.6.	NÁVRH A POSOUZENÍ STOJKY A PŘÍČLE RÁMU .....	24
2.4.	Štítový sloup: .....	28
2.4.1.	Materiálové charakteristiky .....	28
2.4.2.	Geometrické charakteristiky .....	28
2.4.3.	Posouzení MSÚ.....	29
2.4.4.	Posouzení MSP .....	30
2.5.	NÁVRH PAŽDÍKU VE ŠTÍTOVÉ STĚNĚ .....	31



2.6.	NÁVRH PAŽDÍKU VE STĚNĚ .....	31
2.7.	Ztužení haly:.....	32
3.	NÁVRH SPOJŮ .....	33
3.1.	Vrcholový kloub: .....	33
3.1.1.	Materiálové charakteristiky .....	33
	Vnitřní síly ve vrcholu.....	33
3.1.2.	Posouzení svorníku.....	34
3.1.3.	Čepový spoj: .....	36
3.2.	Patní kloubový spoj.....	37
3.2.1.	Posouzení svorníku.....	38
3.2.2.	Čepový spoj: .....	40
4.	Souhrn navržených nosných prvků .....	41
5.	Základy.....	42
5.1.	Návrh patky pod rámem.....	42
5.2.	Návrh patky pod štítovým sloupem.....	46
6.	Okapový žlab .....	50

## 1. STANOVENÍ ZATÍŽENÍ

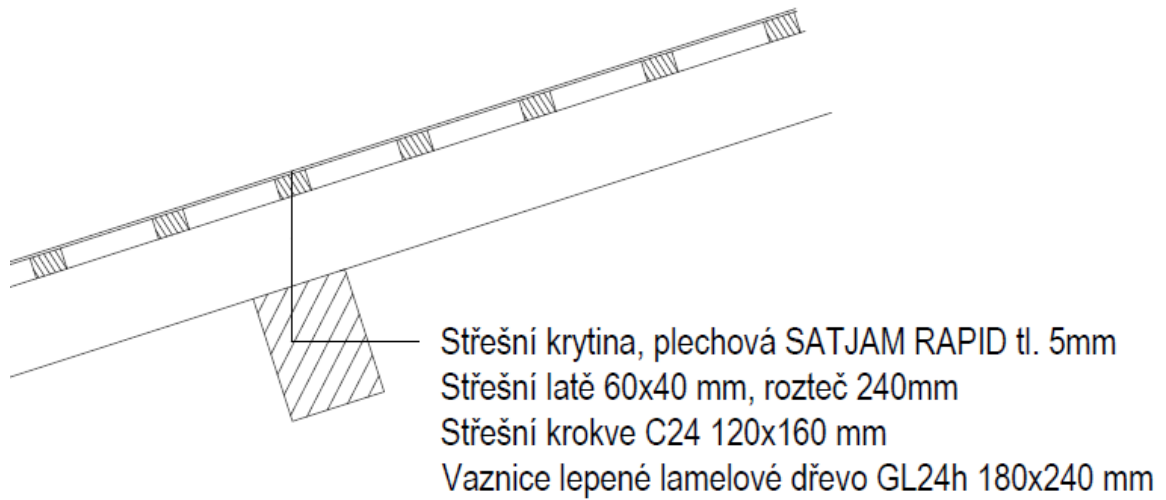
### 1.1. STÁLÉ ZATÍŽENÍ

#### 1.1.1. Vlastní tíha

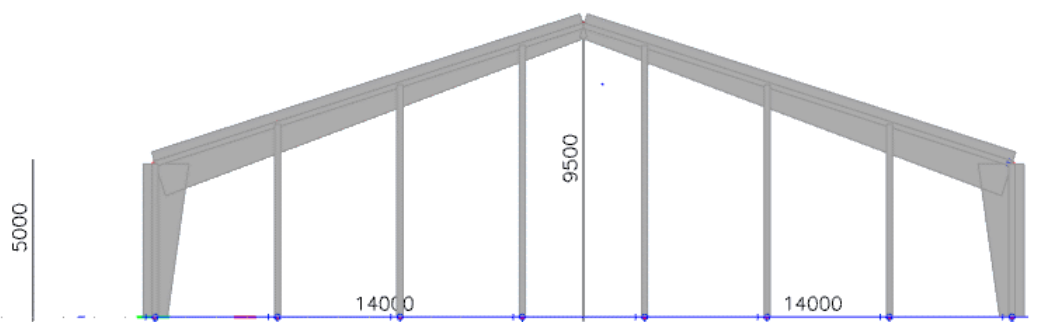
Vlastní tíha konstrukce vychází z programu SCIA Engineer 21.1 a je vygenerována automaticky.

#### 1.1.2. Střešní plášť

Výpočet zatížení dle normy: ČSN EN 1991-1-1 (730035)· Eurokód 1: Zatížení konstrukcí – část 1-1: Obecná zatížení – objemové tíhy, vlastní tíha a užitná zatížení pozemních staveb.



### Geometrie konstrukce



## 1.2. PROMĚNNÉ ZATÍŽENÍ

### 1.2.1. Užiténé zatížení

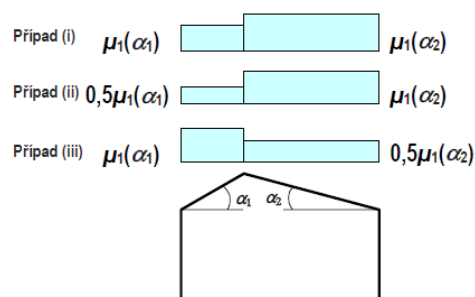
Výpočet zatížení dle normy: ČSN EN 1991-1-1 (730035)· Eurokód 1: Zatížení konstrukcí – část 1-1: Obecná zatížení – objemové tíhy, vlastní tíha a užiténé zatížení pozemních staveb·

Kategorie střešní konstrukce – H – nepřístupné střechy s výjimkou běžné úpravy a oprav· Uvažuje se hodnota užiténého zatížení:  $q_k = 0,75 \text{ kN/m}^2$ ·

### 1.2.2. Zatížení sněhem

Výpočet zatížení dle normy: ČSN EN 1991-1-1 (730035)· Eurokód 1: Zatížení konstrukcí – část 1-3: Obecná zatížení – Zatížení sněhem·

Lokalita	Tábor
Sněhová oblast	II (odečteno z mapy sněhových oblastí)
Charakteristická hodnota zatížení	$S_k = 1,0 \text{ kN/m}^2$
Sklon střechy	$\alpha < 30^\circ$
Součinitel expozice	$C_e = 1,0$
Součinitel teploty	$C_t = 1,0$
Tvarový součinitel	$\mu_1 = 0,8$ (nenavátý sních)
$\alpha = 15^\circ$	



průměrné zatížení sněhem:

(Obecně :  $S_i = \mu_i \cdot C_e \cdot C_t \cdot S_k$ )

$$S_1 = \mu_1 \cdot C_e \cdot C_t \cdot S_k = 0,8 \cdot 1,0 \cdot 1,0 \cdot 1,0 = \underline{0,8 \text{ kN/m}^2}$$

$$S_2 = 0,5 \cdot \mu_1 \cdot C_e \cdot C_t \cdot S_k = 0,5 \cdot 0,8 \cdot 1,0 \cdot 1,0 \cdot 1,0 = \underline{0,4 \text{ kN/m}^2}$$

$$S_{1,\text{kolmá}} = S_1 \cdot \cos(\alpha) = 0,8 \cdot \cos 15^\circ = 0,61 \text{ kN/m}^2$$

$$S_{2,\text{kolmá}} = S_2 \cdot \cos(\alpha) = 0,5 \cdot \cos 15^\circ = 0,38 \text{ kN/m}^2$$

1.2.3. Zatížení větrem

Výpočet zatížení dle normy: ČSN EN 1991-1-1 (730035)· Eurokód 1: Zatížení konstrukcí – část 1-4: Obecná zatížení – Zatížení větrem.

Lokalita	Tábor
Větrná oblast	II (odečteno z mapy větrných oblastí v ČR)
Základní rychlost větru	$V_b = 25 \text{ m/s}$
Kategorie terénu	III (oblast rovnoměrně pokrytá pozemními stavbami)
Součinitel směru větru	$C_{dir} = 1,0$
Součinitel ročního období	$C_{season} = 1,0$
Měrná hmotnost vzduchu	$\rho = 1,25 \text{ kg/m}^3$ (doporučená hodnota)
Výška nad zemí	$z = 9,5 \text{ m}$

- Základní dynamický tlak větru:

$$q_b = \frac{1}{2} \cdot \rho \cdot V_b^2 = \frac{1}{2} \cdot 1,25 \cdot 25^2 = 0,391 \text{ kN/m}^2$$

- Součinitel drsnosti: dle kategorie terénu

$$Z_0 = 0,3 \text{ m} \quad Z_{min} = 5 \text{ m} \quad Z_{0,II} = 0,05 \text{ m}$$

$$C_r(z) = C_r(h) = k_r \cdot \ln\left(\frac{z}{Z_0}\right)$$

$$C_r(z) = C_r(h) = 0,22 \cdot \ln\left(\frac{10}{0,05}\right) = 0,77$$

$$K_r = 0,19 \cdot \left(\frac{Z_0}{Z_{0,II}}\right)^{0,7} = 0,19 \cdot \left(\frac{0,3}{0,05}\right)^{0,7} = 0,22$$

- Střední rychlost větru:

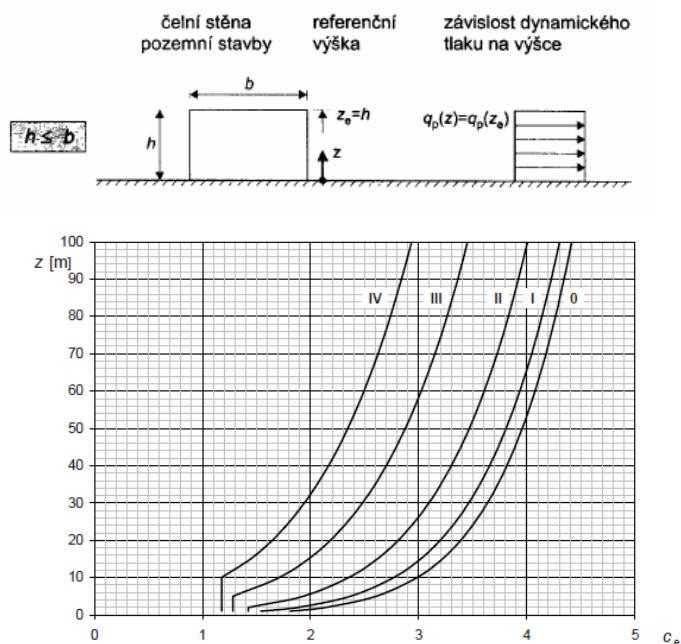
$$V_m(z) = C_r(z) \cdot C_0(z) \cdot v_b = 0,77 \cdot 1,0 \cdot 25 = 19,25 \text{ m/s}$$

- Maximální dynamický tlak větru:

$$C_e(z) = 1,7$$

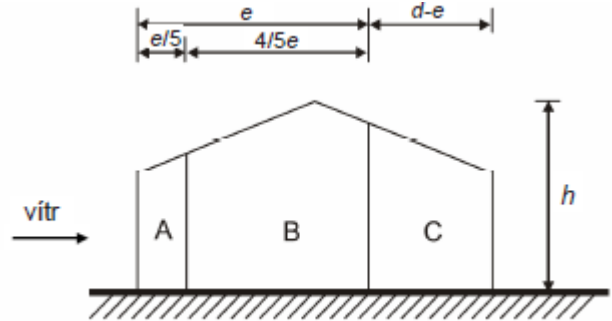
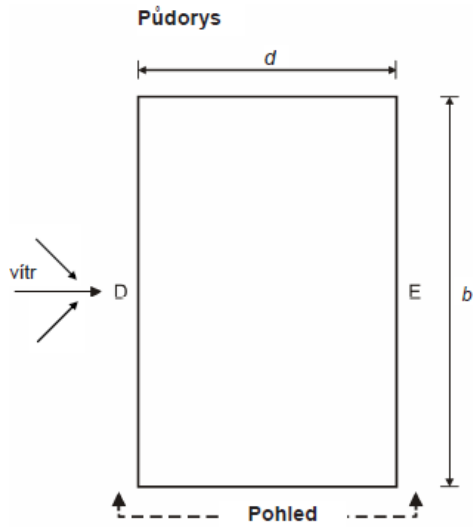
$$q_p = q_b \cdot C_e(z) = 0,391 \cdot 1,7 = \mathbf{0,665 \text{ kN/m}^2}$$

$$\text{tlak větru: } W_e = q_p \cdot C_{pe}$$



Obrázek 4.2 – Součinitele expozice  $c_e(z)$  pro  $c_0 = 1,0$  a  $k_1 = 1,0$

- Příčný vítr působící na stěny:



$$b = 55 \text{ m} ; d = 28 \text{ m} ; h = 9,5 \text{ m}$$

$$e = \min(b; 2h) = \min(55; 19) = 19 \text{ m}$$

$$d - e = 28 - 19 = 9 \text{ m}$$

$$e/5 = 3,8 \text{ m}$$

$$4/5e = 15,2 \text{ m}$$

$$\frac{h}{d} = \frac{9,5}{28} = 0,34$$

$$C_{pe,10}(A) = -1,2$$

$$W_e = 0,665 \cdot (-1,2) = -0,798 \text{ kN/m}^2$$

$$C_{pe,10}(B) = -0,824$$

$$W_e = 0,665 \cdot (-0,824) = -0,548 \text{ kN/m}^2$$

$$C_{pe,10}(C) = -0,5$$

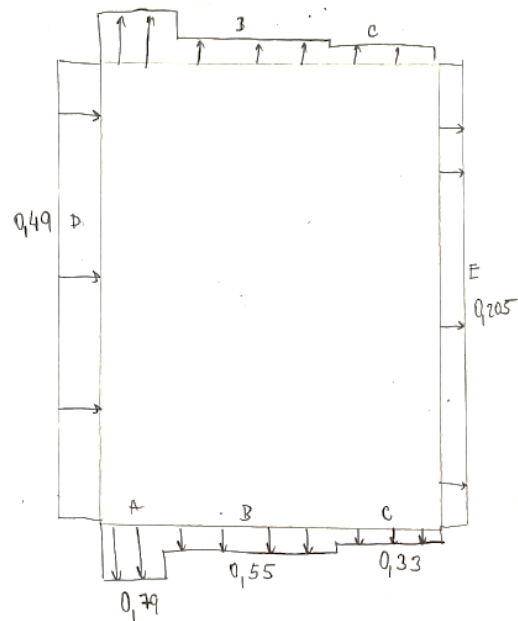
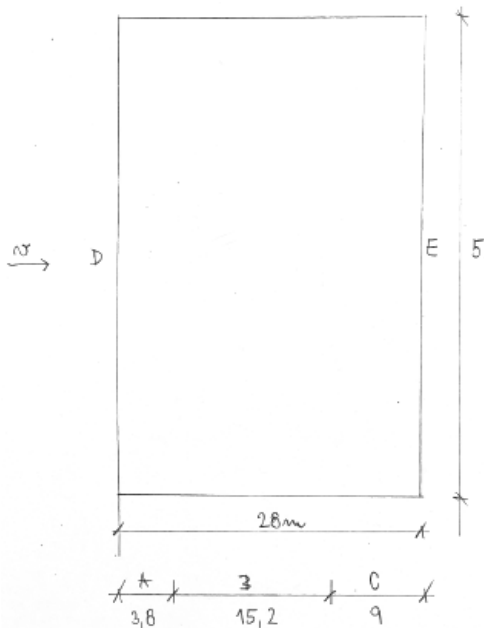
$$W_e = 0,665 \cdot (-0,5) = -0,33 \text{ kN/m}^2$$

$$C_{pe,10}(D) = 0,704$$

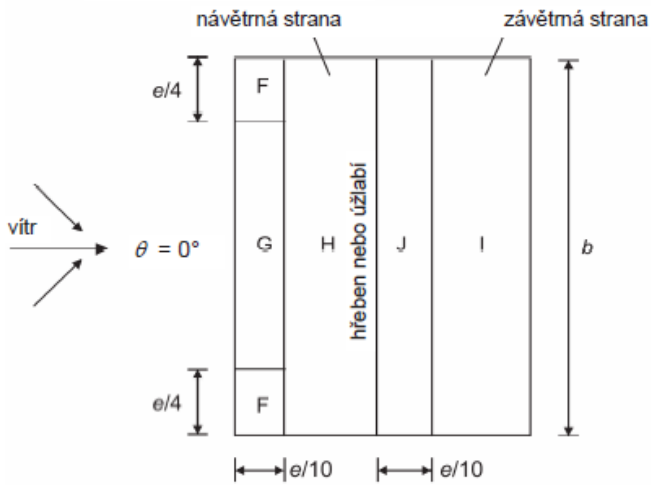
$$W_e = 0,665 \cdot (0,704) = 0,468 \text{ kN/m}^2$$

$$C_{pe,10}(E) = -0,308$$

$$W_e = 0,665 \cdot (-0,308) = -0,2048 \text{ kN/m}^2$$



- Příčný vítr působící na sedlovou střechu:



$b = 55 \text{ m}$  ;  $d = 28 \text{ m}$  ;  $h = 9,5 \text{ m}$ ,  $\alpha = 15^\circ$

$e = \min(b; 2h) = \min(55; 19) = 19 \text{ m}$        $e/4 = 19/4 = 4,75$        $e/10 = 19/10 = 1,9$

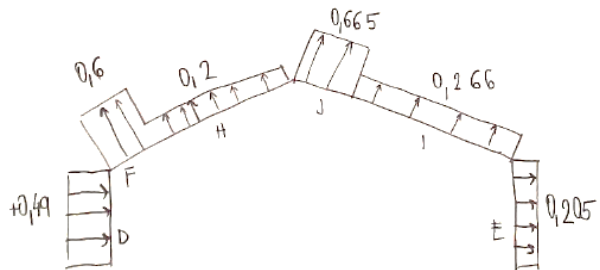
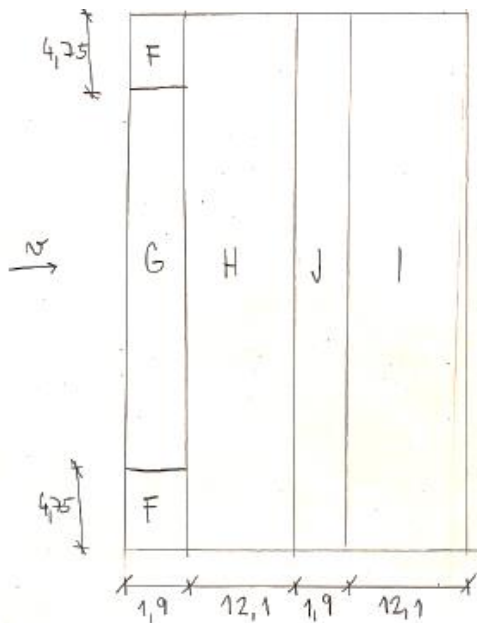
$C_{pe,10}(F) = -0,9$        $W_e = 0,665 \cdot (-0,9) = 0,598 \text{ kN/m}^2$

$C_{pe,10}(G) = -0,8$        $W_e = 0,665 \cdot (-0,8) = -0,532 \text{ kN/m}^2$

$C_{pe,10}(H) = -0,3$        $W_e = 0,665 \cdot (-0,3) = -0,199 \text{ kN/m}^2$

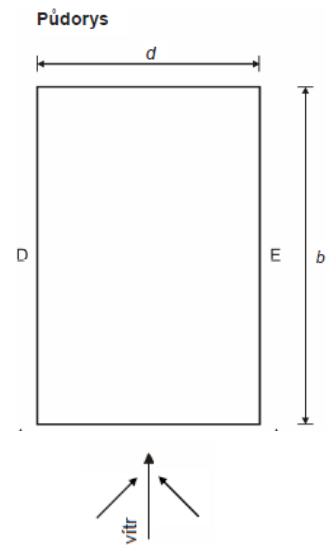
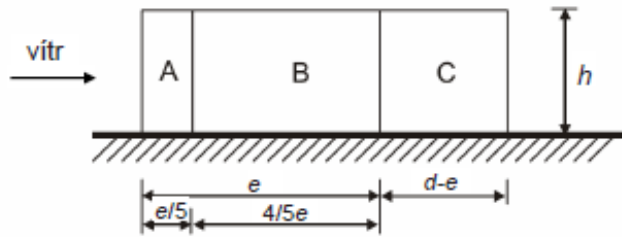
$C_{pe,10}(I) = -0,4$        $W_e = 0,665 \cdot (-0,4) = -0,266 \text{ kN/m}^2$

$C_{pe,10}(J) = -1,0$        $W_e = 0,665 \cdot (-1,0) = -0,665 \text{ kN/m}^2$



- Podélný vítr působící na štítové stěny:

**Pohled pro  $e < d$**



$$b = 28 \text{ m} ; d = 55 \text{ m} ; h = 9,5 \text{ m}$$

$$e = \min(b ; 2h) = \min(28 ; 19) = 19 \text{ m} \quad d-e=55-19= 36\text{m} \quad 4/5e=4/5 \cdot 19=15,2 \quad e/5= 19/5=3,8$$

$$\frac{h}{d} = \frac{9,5}{52} = 0,18$$

$$W_e = q_p \cdot C_{pe}$$

$$C_{pe,10}(A) = -1,2$$

$$W_e(A) = 0,665 \cdot (-1,2) = -0,798 \text{ kN/m}^2$$

$$C_{pe,10}(B) = -0,8$$

$$W_e(B) = 0,665 \cdot (-0,8) = -0,532 \text{ kN/m}^2$$

$$C_{pe,10}(C) = -0,5$$

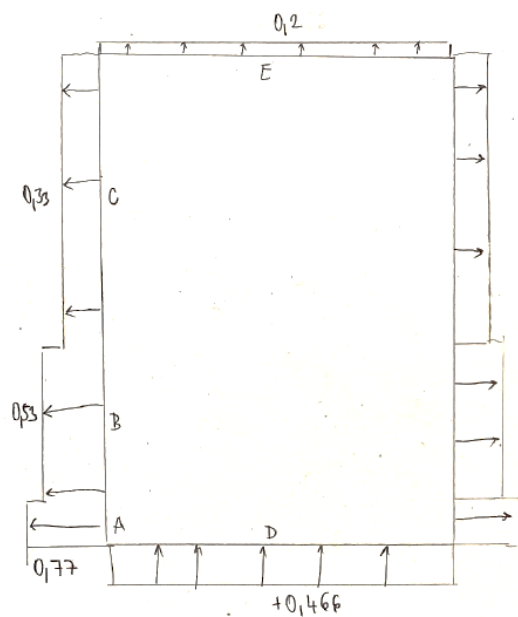
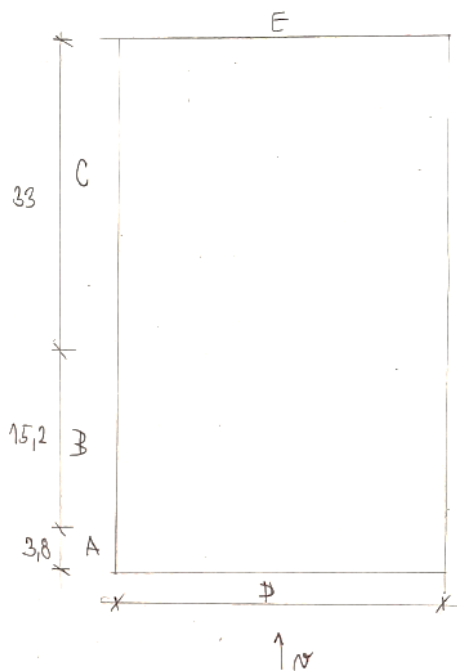
$$W_e(C) = 0,665 \cdot (-0,5) = -0,333 \text{ kN/m}^2$$

$$C_{pe,10}(D) = +0,7$$

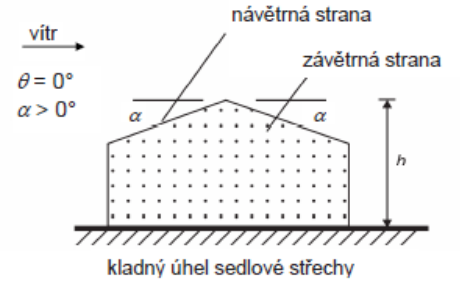
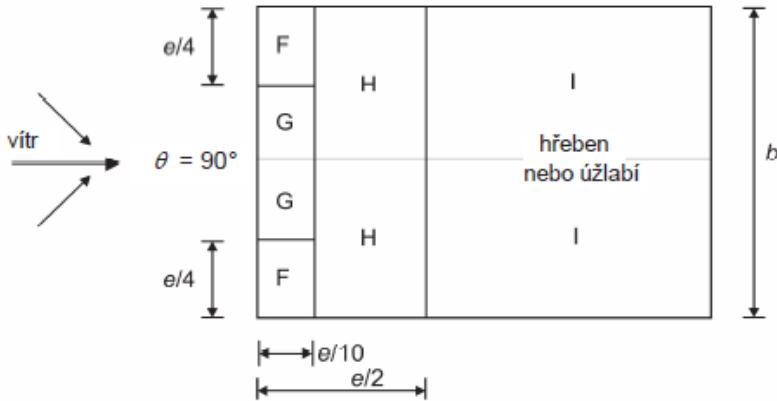
$$W_e(D) = 0,665 \cdot 0,7 = +0,466 \text{ kN/m}^2$$

$$C_{pe,10}(E) = -0,3$$

$$W_e(E) = 0,665 \cdot (-0,3) = -0,200 \text{ kN/m}^2$$



- Podélný vítr působící na sedlovou střechu:



$b = 28 \text{ m}$  ;  $d = 55 \text{ m}$  ;  $h = 9,5 \text{ m}$

$e = \min(b ; 2h) = \min(28 ; 19) = 19 \text{ m}$ ;  $e/4 = 19/4 = 4,75 \text{ m}$ ;  $e/10 = 19/10 = 1,9 \text{ m}$ ;  $e/2 = 19/2 = 9,5$

$$W_e = q_p \cdot C_{pe}$$

$$C_{pe,10}(F) = -1,3$$

$$W_e(F) = 0,665 \cdot (-1,3) = -0,864 \text{ kN/m}^2$$

$$C_{pe,10}(G) = -1,3$$

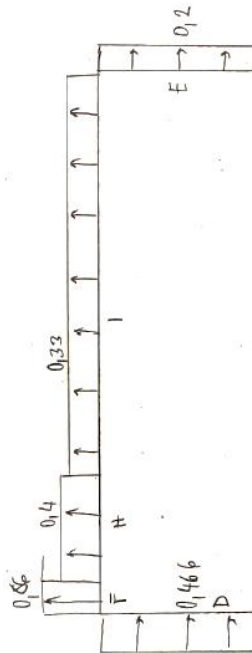
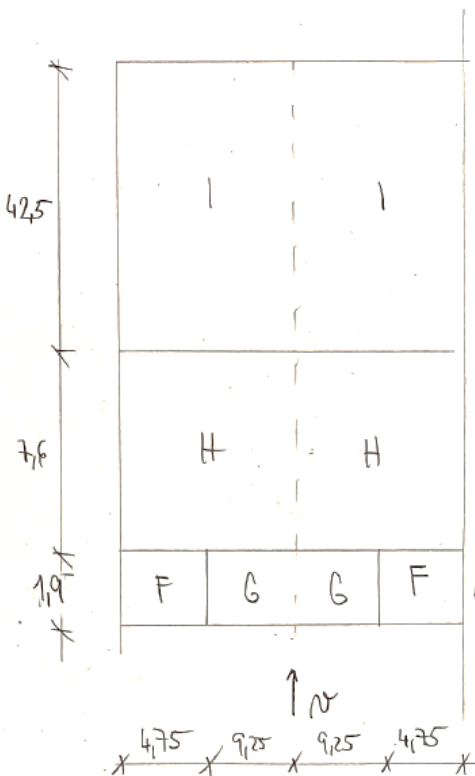
$$W_e(G) = 0,665 \cdot (-1,3) = -0,864 \text{ kN/m}^2$$

$$C_{pe,10}(H) = -0,6$$

$$W_e(H) = 0,665 \cdot (-0,6) = -0,4 \text{ kN/m}^2$$

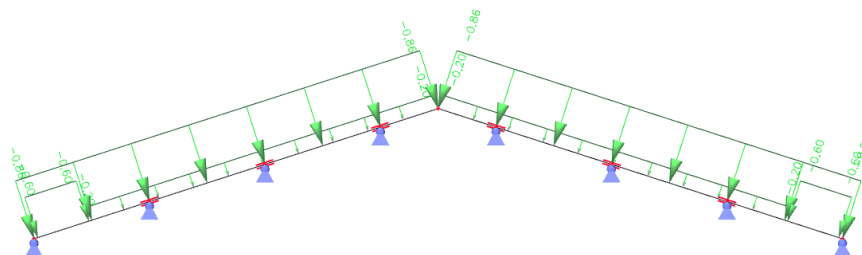
$$C_{pe,10}(I) = -0,5$$

$$W_e(I) = 0,665 \cdot (-0,5) = -0,33 \text{ kN/m}^2$$





1.2.4. Zatěžovací stav větru



**1.3. KOMBINACE ZATÍŽENÍ**

Výpočet vnitřních sil je proveden ve 2D v programu Scia Engineer.

Do programu budou zadány tyto kombinace:

$$KZ1 = g_k \cdot 1,35 + s \cdot 1,5$$

$$KZ2 = g_k \cdot 1,35 + s \cdot 1,5 + w_{k,0,příčný} \cdot 1,5 \cdot 0,6$$

$$KZ3 = g_k \cdot 1,35 + s \cdot 1,5 \cdot 0,5 + w_{k,0,příčný} \cdot 1,5$$

$$KZ4 = g_k + w_{k,0,příčný} \cdot 1,5$$

$$KZ5 = g_k + w_{k,90,podélný} \cdot 1,5$$

**2. NÁVRH A POSOUZENÍ PRVKŮ**

**2.1. KROVKVE**

2.1.1. ZATÍŽENÍ

- STÁLÉ

NÁZEV	tl. (m)	$\rho$ (kg/m <sup>3</sup> )	$g_k$ (kN/m)
Plechová krytina SATJAM RAPID	0,5mm	-	0,043·1
Latě z rostlého dřeva C24 60x40	0,06·0,04	350	0,0084
suma stálé bez vl. tíhy krokve			0,0514
Krokve z rostlého dřeva C24 120x160	0,12·0,16	350	0,0672
<b>CELKEM</b>			<b><math>g_k = 0,1186</math> kN/m</b>

- PROMĚNNÁ SNÍH
- $s_k = 0,8$  kN/m<sup>2</sup>

užitné zatížení střechy

-kategorie střechy H:

Plošné užitné zatížení:  $q_k = 0,75$  kN/m<sup>2</sup>

- **Zatížení sněhem je větší než užitné zatížení střechy, proto bude do zatěžovacích kombinací použito pouze zatížení sněhem**

$$f_k = g_k + q_k = 0,92$$
 kN/m

PROMĚNNÁ VÍTR – příčný + podélný vítr



### 2.1.3. Materiálové charakteristiky

Materiál	rostlé dřevo C24
Třída provozu	2
Třída trvání zatížení:	krátkodobé → $K_{mod} = 0,9$ , $K_{def} = 0,8$
Parciální součinitel spolehlivosti:	$\gamma_M = 1,3$
Charakteristická pevnost v ohybu:	$f_{m,g,k} = 24$ MPa
Charakteristická pevnost v tlaku rovnoběžně s vlákny:	$f_{c,0,g,k} = 21$ MPa
Charakteristická pevnost ve smyku:	$f_{v,g,k} = 4$ MPa
5% kvantil modulu pružnosti rovnoběžně s vlákny:	$E_{0,mean} = 11000$ MPa
Průměrná hodnota modulu pružnosti rovnoběžně s vlákny:	$E_{0,05} = 7400$ MPa

### 2.1.4. Geometrické charakteristiky

Šířka průřezu:	<b><math>b = 0,12</math> m</b>
Výška průřezu:	<b><math>h = 0,16</math> m</b>
Plocha průřezu:	$A = 0,0192$ m <sup>2</sup>
Poloměr setrvačnosti k ose y:	$i_y = 0,072$ m
Poloměr setrvačnosti k ose z:	$i_z = 0,035$ m

#### a) Posouzení na kombinaci ohybu a osového tlaku

- Vnitřní síly: (obálka MSÚ)

$$N_{Ed,max} = 0,07 \text{ kN}$$

$$V_{Ed,max} = 4,15 \text{ kNm}$$

$$M_{Ed,max} = 3,02 \text{ kNm}$$

- Návrhová pevnost v tlaku:

$$f_{c,0,d} = k_{mod} \cdot \frac{f_{c,0,k}}{\gamma_M} = 0,8 \cdot \frac{21}{1,3} = 12,92 \text{ MPa}$$

- Návrhová pevnost v ohybu:

$$f_{m,g,d} = k_{mod} \cdot \frac{f_{m,k}}{\gamma_M} = 0,8 \cdot \frac{24}{1,3} = 14,77 \text{ MPa}$$

- Návrhové napětí v tlaku:

$$\sigma_{c,0,d} = \frac{N}{A} = \frac{0,07 \cdot 10^{-3}}{19200} = 0,0036 \text{ MPa}$$

b) Posouzení na ohyb a tlak

-Návrhové napětí v ohybu:

$$\sigma_{m,y,d} = \frac{M_{yd}}{W_y} = \frac{3,02 \cdot 10^6}{288 \cdot 10^3} = 10,486 \text{ MPa}$$

$$\left(\frac{\sigma_{c,0,d}}{f_{c,0,d}}\right)^2 + \frac{\sigma_{m,y,d}}{f_{m,d}} = \left(\frac{0,0036}{12,92}\right)^2 + \frac{10,486}{14,77} = 0,71 \leq 1 \rightarrow \text{VYHOVUJE NA KOMBINACI TLAK+OHYB}$$

c) Posouzení na smyk

- Návrhová pevnost ve smyku:

$$f_{V,d} = k_{mod} \cdot \frac{f_{V,k}}{\gamma_M} = 0,8 \cdot \frac{4}{1,3} = 2,46 \text{ MPa}$$

- Návrhové napětí ve smyku:

$$\tau_d = \frac{3}{2} \cdot \frac{V_{Ed}}{2A \cdot k_{cr}} = \frac{3}{2} \cdot \frac{4,15 \cdot 10^3}{2 \cdot 120 \cdot (160 - 40) \cdot 0,67} = 0,322 \text{ MPa}$$

$$\tau_d = 0,322 \leq f_{V,d} \cdot k_{cr} = 2,46 \cdot 0,67 = 1,648 \text{ MPa} \rightarrow \text{VYHOVUJE NA SMYK}$$

d) Posouzení na průhyb

- průhyb od stálého zatížení

$$u_{inst,G} = \frac{5 \cdot g_k \cdot l^4}{384 \cdot EI} = \frac{5 \cdot 0,1186 \cdot 4202^4}{384 \cdot 11000 \cdot \frac{1}{12} \cdot 120 \cdot 160^3} = 1,068 \text{ mm}$$

$$u_{fin,G} = u_{inst,G} (1 + k_{def}) = 1 \cdot 0,68 (1 + 0 \cdot 8) = 1,922 \text{ mm}$$

- průhyb od proměnného zatížení

$$u_{inst,Q} = \frac{5 \cdot g_k \cdot l^4}{384 \cdot EI} = \frac{5 \cdot 0,84 \cdot 4202^4}{384 \cdot 11000 \cdot \frac{1}{12} \cdot 120 \cdot 160^3} = 7,57 \text{ mm} \leq \frac{L}{300} = \frac{4202}{300} = 14 \text{ mm} \rightarrow \text{VYHOVUJE}$$

$$g_k = sk / \cos 18^\circ = 0,8 / \cos 18 = 0,84$$

$$\psi_{1,2} = 0 \dots \text{pro střechy}$$

$$u_{fin,Q} = u_{inst,Q} (1 + \psi_{1,2} \cdot k_{def}) = 7,57 \cdot (1 + 0 \cdot 0,8) = 7,57 \text{ mm}$$

- Celkový okamžitý průhyb, Konečný čistý průhyb

$$u_{fin} = u_{fin,G} + u_{fin,Q} = 1,922 + 7,57 = 9,5 \text{ mm}$$

$$u_{fin} - u_{inst,G} = 9,5 - 1,068 = 8,432 \text{ mm} \leq \frac{L}{200} = \frac{4202}{200} = 21,01 \text{ mm} \rightarrow \text{VYHOVUJE}$$

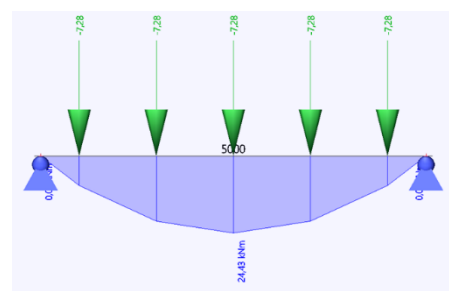
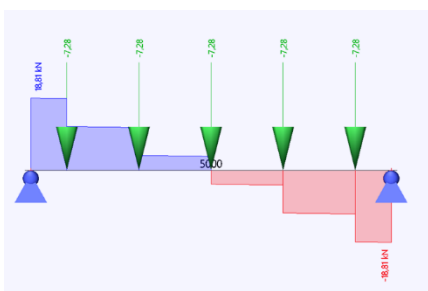
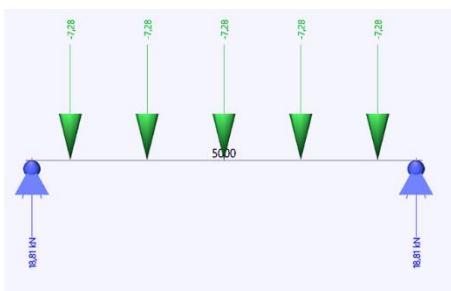
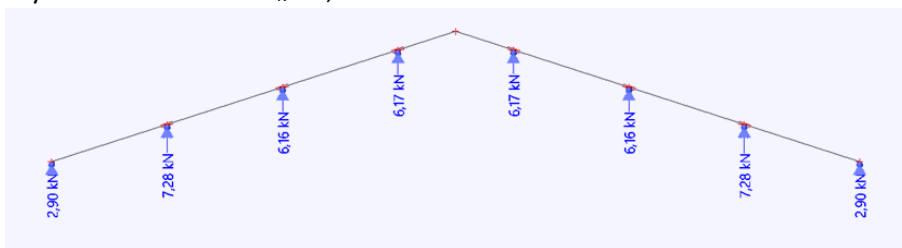
$$u_{fin} - u_0 = 9,5 - 0 = 9,5 \text{ mm} \leq \frac{L}{200} = 21,01 \text{ mm} \rightarrow \text{VYHOVUJE}$$

**→KROKEV NA PRŮHYB VYHOVUJE**

## 2.2. Vaznice:

### 2.2.1. Zatížení

- síly od krokví: reakce  $R_K = 7,24 \text{ kN}$



### 2.2.2. Vnitřní síly

$R = 18,81 \text{ kN}$

$V_z = 18,81 \text{ kN}$

$M_y = 24,5 \text{ kNm}$

### 2.2.3. Materiálové charakteristiky

Materiál

lepené lamelové dřevo GL 24h

Třída provozu

2

Třída trvání zatížení:

krátkodobé  $\rightarrow K_{mod} = 0,9, K_{def} = 0,8$

Parciální součinitel spolehlivosti:

$\gamma_M = 1,25$

Charakteristická pevnost v ohybu:

$f_{m,g,k} = 24 \text{ MPa}$

Charakteristická pevnost v tahu rovnoběžně s vlákny:

$f_{t,g,0,k} = 19,2 \text{ MPa}$

Charakteristická pevnost v tahu kolmo k vláknům:

$f_{t,90,k} = 0,5 \text{ MPa}$

Charakteristická pevnost v tlaku rovnoběžně s vlákny:

$f_{c,0,g,k} = 24 \text{ MPa}$

Charakteristická pevnost ve smyku:

$f_{v,g,k} = 3,5 \text{ MPa}$

modulu pružnosti rovnoběžně s vlákny:

$E_{0,mean} = 11500 \text{ MPa}$

Průměrná hodnota modulu pružnosti rovnoběžně s vlákny:

$E_{90,g,mean} = 300 \text{ MPa}$

2.2.4. Geometrické charakteristiky

Šířka průřezu:

$$b = 0,18 \text{ m}$$

Výška průřezu:

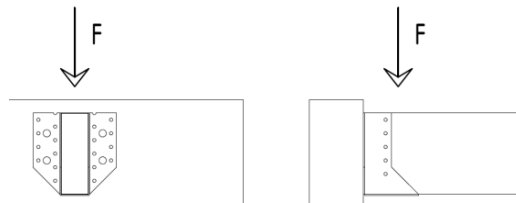
$$h = 0,24 \text{ m}$$

Plocha průřezu:

$$A = 0,0432 \text{ m}^2$$

Kotvení pomocí: BOVA Třmen BV/T 11-41 /180x220

- únosnost  $F = 19,39\text{--}36,24\text{kN}$  (viz technický list)



2.2.5. Posouzení MSÚ

a) Posouzení vaznice na ohyb

- Vnitřní síly: (kombinace MSÚ)

$$M_{Ed,y} = 24,5 \text{ kNm}$$

$$\sigma_{m,d} \leq k_r \cdot f_{m,g,d}$$

$$\sigma_{m,d} = \frac{M_{Ed,y}}{W} = \frac{24,5 \cdot 10^{-3}}{\frac{1}{6} \cdot 0,18 \cdot 0,24^2} = 14,178 \text{ MPa}$$

- Návrhová pevnost v ohybu:

$$f_{m,g,d} = k_{mod} \cdot \frac{f_{m,k}}{\gamma_M} = 0,8 \cdot \frac{24}{1,25} = 15,36 \text{ MPa}$$

- Návrhová hodnota napětí v ohybu:

$$\sigma_{m,d} \leq k_r \cdot f_{m,g,d}$$

$$14,178 \text{ MPa} < 1 \cdot 15,36 = 15,36 \text{ MPa} \rightarrow \text{VAZNICE VYHOVUJE NA OHYB}$$

b) Posouzení vaznice na smyk

- Vnitřní síly:

$$V_{Ed} = 18,81 \text{ kN}$$

- Návrhová pevnost ve smyku:

$$f_{v,d} = k_{mod} \cdot \frac{f_{v,k}}{\gamma_M} = 0,8 \cdot \frac{3,5}{1,25} = 2,24 \text{ MPa}$$

- Účinná šířka průřezu:

$$b_{eff} = k_{cr} \cdot b = 0,67 \cdot 0,18 = 0,12 \text{ m}$$

- Návrhové napětí ve smyku:

$$\tau_d = \frac{3}{2} \cdot \frac{V_{Ed}}{b_{eff} \cdot h} = \frac{3}{2} \cdot \frac{18,81 \cdot 10^{-3}}{0,12 \cdot 0,24} = 0,979 \text{ MPa}$$

$$\tau_d = 0,979 \text{ MPa} < f_{v,d} = 2,24 \text{ MPa} \rightarrow \text{VAZNICE VYHOVUJE NA SMYK}$$

### 2.2.6. Posouzení MSP

- průhyb od stálého zatížení

$$g_k = g_k \cdot \frac{5}{l} \cdot b + g_{k,1} = 0,1186 \cdot \frac{5}{5} \cdot 4,202 + 0,166 = 0,664 \text{ kN/m}$$

$$g_{k,1} = b \cdot h \cdot \rho_k = 0,18 \cdot 0,24 \cdot 3,85 = 0,166 \text{ kN/m}$$

$$u_{inst,G} = \frac{5 \cdot g_k \cdot l^4}{384 \cdot EI} = \frac{5 \cdot 0,664 \cdot 5000^4}{384 \cdot 11500 \cdot \frac{1}{12} \cdot 180 \cdot 240^3} = 2,266 \text{ mm}$$

$$u_{fin,G} = u_{inst,G} (1 + k_{def}) = 2,26 (1 + 0 \cdot 8) = 4,05 \text{ mm}$$

- průhyb od proměnného zatížení

$$q_k = w_k \cdot \frac{5}{l} \cdot b = 0,864 \cdot \frac{5}{5} \cdot 4,202 = 3,63 \text{ kN/m}$$

$$u_{inst,Q} = \frac{5 \cdot q_k \cdot l^4}{384 \cdot EI} = \frac{5 \cdot 3,63 \cdot 4202^4}{384 \cdot 11000 \cdot \frac{1}{12} \cdot 120 \cdot 160^3} = 12,388 \text{ mm} \leq \frac{L}{300} = \frac{5000}{300} = 16,66 \text{ mm} \rightarrow \text{VYHOVUJE}$$

$$\psi_{1,2} = 0 \dots \text{pro střechy}$$

$$u_{fin,Q} = u_{inst,Q} (1 + \psi_{1,2} \cdot k_{def}) = 12,388 \cdot (1 + 0 \cdot 0,8) = 12,388 \text{ mm}$$

- Celkový okamžitý průhyb, Konečný čistý průhyb

$$u_{fin} = u_{fin,G} + u_{fin,Q} = 4,05 + 12,388 = 16,438 \text{ mm}$$

$$u_{fin} - u_{inst,G} = 16,438 - 2,266 = 14,172 \text{ mm} \leq \frac{L}{200} = \frac{5000}{200} = 25 \text{ mm} \rightarrow \text{VYHOVUJE}$$

$$u_{fin} - u_0 = 16,438 - 0 = 16,438 \text{ mm} \leq \frac{L}{200} = 25 \text{ mm} \rightarrow \text{VYHOVUJE}$$

**→ VAZNICE NA PRŮHYB VYHOVÍ**

### 2.2.7. Posouzení na Klopení

$$\sigma_{m,crit} = \frac{0,78 \cdot E \cdot b^2}{h \cdot L_{eff}} = \frac{0,78 \cdot 9600 \cdot 180^2}{240 \cdot 5000} = 202,176 \text{ Mpa}$$

$$\lambda_{rel,m} = \sqrt{\frac{f_{mk} \cdot m}{\sigma_{m,crit}}} = \sqrt{\frac{24 \cdot 0,96}{202,176}} = 0,34 \text{ Mpa}$$

$$\lambda_{rel,m} \leq 0,75 \rightarrow k_{crit} = 1,0$$

m= 0,96... nosník zatížený silami

- Návrhová pevnost v ohybu:

$$f_{m,g,d} = k_{mod} \cdot \frac{f_{m,k}}{\gamma_M} = 0,8 \cdot \frac{24}{1,25} = 15,36 \text{ MPa}$$

$$f_{m,d,1} = k_{crit} \cdot f_{m,g,d} = 1 \cdot 15,36 = 15,36 \text{ MPa}$$

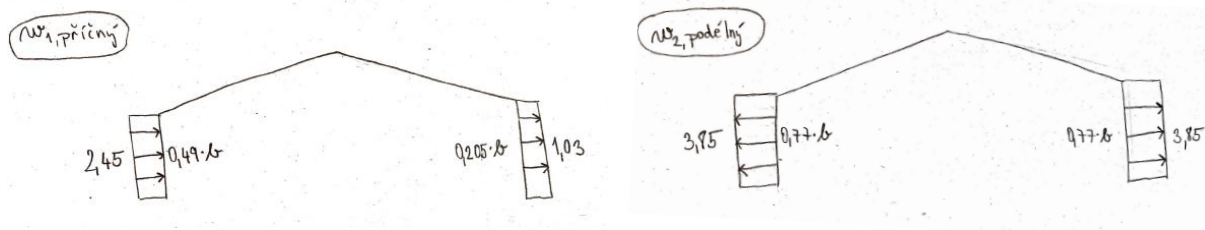
$$\sigma_{m,d} = \frac{6M_{Ed,y}}{b \cdot h_{ap}^2} = \frac{6 \cdot 25,34 \cdot 10^{-3}}{0,18 \cdot 0,24^2} = 14,66 \text{ Mpa}$$

$\sigma_{m,d} = 14,66 \text{ Mpa} < f_{m,d,1} = 15,36 \text{ Mpa} \rightarrow$  VAZNICE VYHOVUJE NA KLOPENÍ

## 2.3. RÁM:

### 2.3.1. Zatížení

- síly od vaznic – Vz reakce  $2 \cdot R_v = 2 \cdot 18,81 = 37,62 \text{ kN}$
- vlastní tíha – zahrnuta ve výpočtu v software
- zatížení obvodovým pláštěm
- zatížení větrem viz obrázek,  $b = 5 \text{ m}$



NÁZEV	tl. (mm)	$\rho$ (kg/m <sup>3</sup> )	$g_k$ (kN/m)
Dřevěná fasáda tl. 25 mm	$0,25 \cdot 5$	350	0,044
Dřevěné latě 40x60 mm	$0,06 \cdot 0,04$	350	0,09
Paždík – rostlé dřevo 200x80mm	$0,08 \cdot 0,2 \cdot 5$	350	0,38
Dřevěné latě 40x60 mm			0,09
Dřevěná fasáda tl. 25 mm			0,44
<b>CELKEM</b>			<b><math>g_{k,pl} = 1,44 \text{ kN/m}</math></b>

### 2.3.2. Kombinace zatížení

$$KZ1 = g_k \cdot 1,35 + \Sigma R$$

$$KZ2 = g_k \cdot 1,35 + \Sigma R + w_{k1,příčný} \cdot 1,5 \cdot 0,6$$

$$KZ3 = g_k \cdot 0,5 + w_{k1,příčný} \cdot 1,5 + \Sigma R \cdot 0,5$$

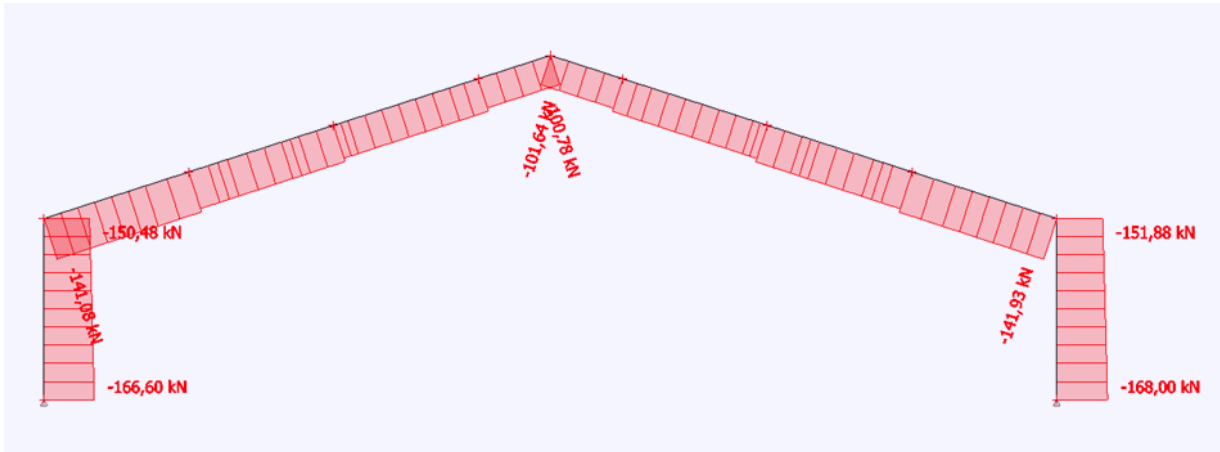
$$KZ4 = g_k \cdot 0,5 + w_{k2,podélný} \cdot 1,5 + \Sigma R \cdot 0,5$$

Jméno	Klíč kombinace
KZ1/1	$1.35 \cdot ZS1 + ZS2$
KZ4/2	$0.50 \cdot ZS1 + 0.50 \cdot ZS2 + 1.50 \cdot ZS4$
KZ2/3	$1.35 \cdot ZS1 + ZS2 + 0.90 \cdot ZS3$
KZ3/4	$0.50 \cdot ZS1 + 0.50 \cdot ZS2 + 1.50 \cdot ZS3$

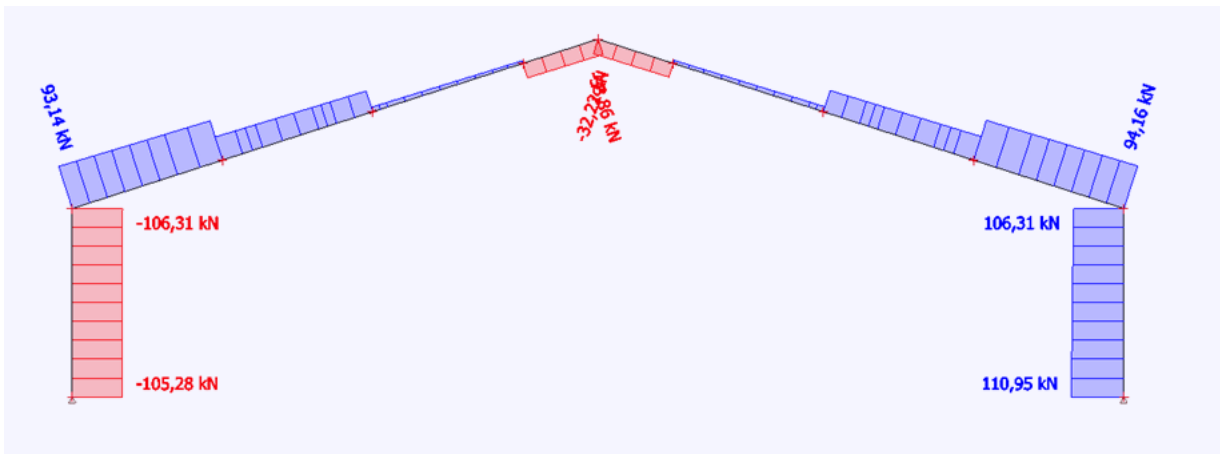


2.3.3. Vnitřní síly

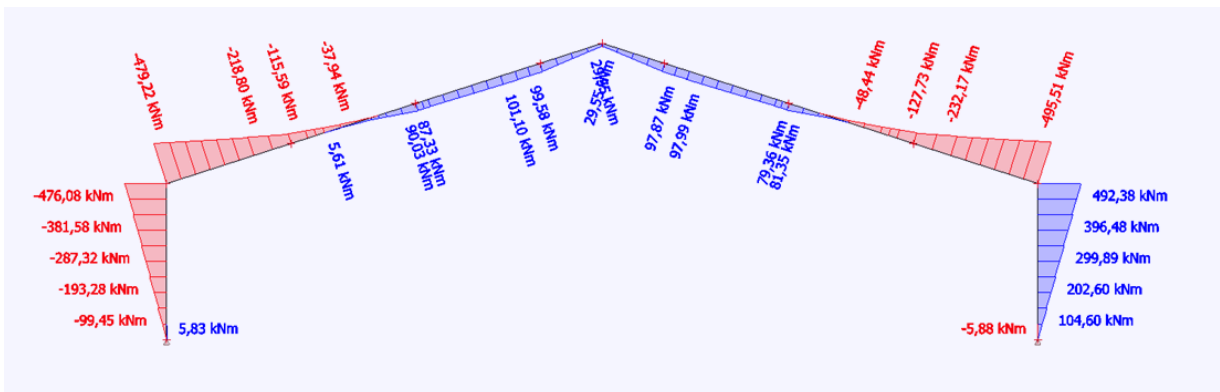
Obálka N – normálové síly



Obálka Vz – posouvající síly



Obálka My – momenty



Vnitřní síly rámového rohu pro výpočet:

Stojka:  $M_{ED} = 492,38 \text{ kNm}$ ,  $V_{ED} = 106,31 \text{ kN}$ ,  $N_{ED} = 151,88 \text{ kN}$

Příčle:  $M_{ED} = 495,51 \text{ kNm}$ ,  $V_{ED} = 94,16 \text{ kN}$ ,  $N_{ED} = 141,93 \text{ kN}$

2.3.4. Návrh a posouzení spoje stojky a příčle  
dřevo GL24h

$$f_{m,k} = 24,0 \text{ MPa}$$

$$f_{t,0,k} = 19,2 \text{ MPa}$$

$$f_{t,90,k} = 0,5 \text{ MPa}$$

$$f_{c,0,k} = 24,0 \text{ MPa}$$

$$f_{c,90,k} = 2,5 \text{ MPa}$$

$$f_{v,k} = 3,5 \text{ MPa}$$

$$E_{0,mean} = 11500 \text{ MPa}$$

$$E_{0,05} = 9600 \text{ MPa}$$

$$E_{90,mean} = 300 \text{ MPa}$$

$$\rho_k = 385 \frac{\text{kg}}{\text{m}^3}$$

$$G_{mean} = 650 \text{ MPa}$$

Součinitele – třída provozu 2

$$\gamma_m = 1,25$$

$$k_{mod} = 0,9 \text{ – krátkodobé zatížení}$$

$$k_{def} = 0,8$$

$$k_m = 0,7$$

$$k_{cr} = 0,67$$

$$k_{c,90} = 1,5$$

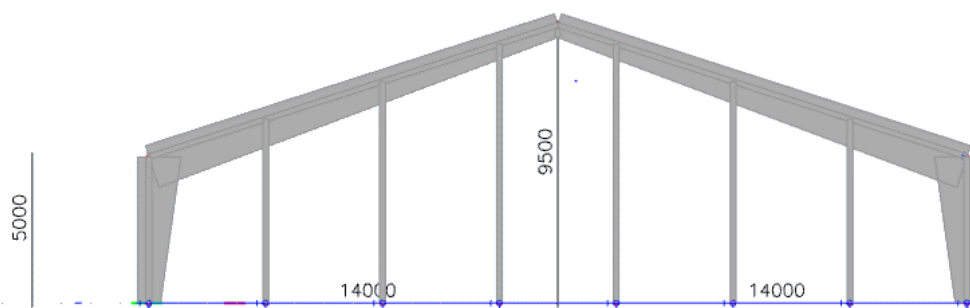
Návrhové pevnosti:

$$f_{m,g,d} = k_{mod} \cdot \frac{f_{m,k}}{\gamma_M} = 0,9 \cdot \frac{24}{1,25} = 17,28 \text{ MPa}$$

$$f_{V,d} = k_{mod} \cdot \frac{f_{V,k}}{\gamma_M} = 0,9 \cdot \frac{3,5}{1,3} = 2,52 \text{ MPa}$$

$$f_{c,0,d} = k_{mod} \cdot \frac{f_{c,0,k}}{\gamma_M} = 0,9 \cdot \frac{24}{1,25} = 17,28 \text{ MPa}$$

Geometrie rámu



Rozpětí  $L = 28\,000\text{ mm}$   
 délka stojky  $l_c = 5000\text{ mm}$   
 šířka stojky  $b_c = 2 \times 120\text{ mm}$   
 výška stojky  $h_c = 600\text{--}1500\text{ mm}$   
 šířka příčle  $b_R = 200\text{ mm}$   
 výška příčle  $h_R = 600\text{--}1500\text{ mm}$   
 sklon střednice příčle  $18^\circ$

### 2.3.5. Kolíky

Ocel S235  $\varnothing 20\text{ mm}$  (8·8)

$f_{u,k} = 800\text{ MPa}$

$d = 20\text{ mm}$

#### Návrh kolíkového spoje

Vnější kruh  $r_1 \leq 0,5h - 4d = 0,5 \cdot 1500 - 4 \cdot 20 = 670\text{ mm} \rightarrow r_1 = 600\text{ mm}$

Vnitřní kruh  $r_2 \leq r_1 - 5d = 600 - 5 \cdot 20 = 500\text{ mm} \rightarrow r_2 = 500\text{ mm}$

#### Počet kolíků v kruzích

$$n_1 \leq \frac{2 \pi r_1}{6 d} = \frac{2 \pi 670}{6 \cdot 20} = 31 \Rightarrow 30\text{ ks}$$

$$n_2 \leq \frac{2 \pi r_2}{6 d} = \frac{2 \pi 570}{6 \cdot 20} = 26 \Rightarrow 25\text{ ks}$$

#### Zatížení kolíků

-Od ohybového momentu

$$F_{M,C} = M_{ED} \frac{r_1}{n_1 \cdot r_1^2 + n_2 \cdot r_2^2} = 492,38 \cdot 10^3 \frac{600}{30 \cdot 600^2 + 25 \cdot 500^2} = 17,32\text{ kN}$$

$$F_{M,R} = M_{ED} \frac{r_1}{n_1 \cdot r_1^2 + n \cdot r^2} = 495,51 \cdot 10^3 \frac{600}{30 \cdot 600^2 + 25 \cdot 500^2} = 17,43\text{ kN}$$

-od posouvající síly

$$F_{V,C} = \frac{V_{d,c}}{n_1 + n_2} = \frac{106,31}{30 + 25} = 1,93\text{ kN}$$

$$F_{V,R} = \frac{V_{d,R}}{n_1 + n_2} = \frac{94,16}{30 + 25} = 1,71\text{ kN}$$

-od normálové síly

$$F_{N,C} = \frac{N_{d,c}}{n_1 + n_2} = \frac{151,88}{30 + 25} = 2,76\text{ kN}$$

$$F_{N,R} = \frac{N_{d,R}}{n_1 + n_2} = \frac{141,93}{30 + 25} = 2,58\text{ kN}$$

Celkové zatížení v ose příčle a stojky rámu

$$F_{d,c} = \sqrt{(F_{M,c} + F_{V,c})^2 + F_{N,c}^2} = \sqrt{(17,32 + 1,93)^2 + 2,76^2} = 19,44kN$$

$$F_{d,R} = \sqrt{(F_{M,R} + F_{V,R})^2 + F_{N,R}^2} = \sqrt{(17,43 + 1,71)^2 + 2,58^2} = 19,31kN$$

Smykový síla ve stojce a příčli v místě spoje

$$V_M = \frac{M_d}{\pi} \cdot \frac{n_1 \cdot r_1 + n_2 \cdot r_2}{n_1 \cdot r_1^2 + n_2 \cdot r_2^2} = \frac{495,51}{\pi} \cdot \frac{30 \cdot 600 + 25 \cdot 500}{30 \cdot 600^2 + 25 \cdot 500^2} = 282,14kN$$

$$F_{V,d,c} = V_M - \frac{V_{d,c}}{2} = 282,14 - \frac{106,31}{2} = 228,98kN$$

$$F_{V,d,R} = V_M - \frac{V_{d,R}}{2} = 282,14 - \frac{94,16}{2} = 235,06kN$$

Mechanické vlastnosti kolíků

Pevnost otačení rovnoběžně s vlákny

$$f_{h,0,k} = 0,082(1 - 0,01d)\rho_k = 0,082(1 - 0,01 \cdot 20) \cdot 385 = 25,256 \text{ MPa}$$

a) Únosnost kolíku v ose stojky

Úhel mezi zatížením a vlákny dřeva

$$\alpha_1 = \arctg \left( \frac{F_M + F_{V,c}}{F_{N,c}} \right) = \arctg \left( \frac{17,32 + 1,93}{2,76} \right) = 81,84^\circ$$

$$\alpha_2 = \alpha - \left( \frac{\pi}{2} - \alpha_1 \right) = 18 - \left( \frac{180}{2} - 81,84 \right) = 9,84^\circ$$

Pevnost v otačení

$$k_{90} = 1,35 + 0,015d = 1,35 + 0,015 \cdot 20 = 1,65$$

$$f_{h,1,k} = \frac{f_{h,0,k}}{k_{90} \cdot \sin^2 \alpha_1 + \cos^2 \alpha_1} = \frac{25,256}{1,65 \cdot \sin^2 81,84 + \cos^2 81,84} = 24,85^\circ$$

$$f_{h,2,k} = \frac{f_{h,0,k}}{k_{90} \cdot \sin^2 \alpha_2 + \cos^2 \alpha_2} = \frac{25,256}{1,65 \cdot \sin^2 9,84 + \cos^2 9,84} = 22,84^\circ$$

$$\beta = \frac{f_{h,2,k}}{f_{h,1,k}} = \frac{22,84}{24,85} = 0,919$$

Plastický moment únosnosti

$$M_{y,R,k} = 0,3 \cdot f_{u,k} \cdot d^{2,6} = 0,3 \cdot 800 \cdot 20^{2,6} = 579 280,93 \text{ Nmm}$$

$$t_1 = 120mm$$

$$t_2 = 240mm$$

$F_{v,Rk,c,min} =>$

$$f_{h,1,k} \cdot t_1 \cdot d = 24,85 \cdot 120 \cdot 20 = 59,64 \text{ kN}$$

$$0,5 \cdot f_{h,2,k} \cdot t_2 \cdot d = 0,5 \cdot 22,84 \cdot 240 \cdot 20 = 54,816kN$$

$$1,05 \cdot \frac{f_{h,1,k} \cdot t_1 \cdot d}{2 + \beta} \left( \sqrt{2\beta(1 + \beta) + \frac{4\beta(2 + \beta) \cdot M_{y,R,k}}{f_{h,1,k} \cdot t_1^2 \cdot d}} - \beta \right) + \frac{F_{ax,R,k}}{4} =$$

$$1,05 \cdot \frac{24,85 \cdot 120 \cdot 20}{2 + 0,919} \left( \sqrt{2 \cdot 0,919 \cdot (1 + 0,919) + \frac{4 \cdot 0,919 \cdot (2 + 0,919) \cdot 579\,280,93}{24,85 \cdot 120 \cdot 20}} - \beta \right) + \frac{0}{4}$$

$$= 25,262kN$$

$$1,15 \sqrt{\frac{2\beta}{1 + \beta}} \cdot \sqrt{2} M_{y,R,k} \cdot f_{h,1,k} \cdot d + \frac{F_{ax,R,k}}{4} =$$

$$1,15 \sqrt{\frac{2 \cdot 0,919}{1 + 0,919}} \cdot \sqrt{2} 579\,280,93 \cdot 24,85 \cdot d + \frac{0}{4} = 45,8kN$$

$$\Rightarrow \min F_{v,Rk,c} = 25,262kN$$

$$F_{v,Rd,c} = \frac{k_{mod} \cdot F_{v,Rk}}{\gamma_M} = \frac{0,9 \cdot 25,262}{1,25} = 18,18kN$$

b) Únosnost kolíku v ose příčle

Úhel mezi zatížením a vlákny dřeva

$$\alpha_1 = \arctg \left( \frac{F_M + F_{V,R}}{F_{N,R}} \right) = \arctg \left( \frac{17,43 + 1,71}{2,58} \right) = 82,32^\circ$$

$$\alpha_2 = \alpha - \left( \frac{\pi}{2} - \alpha_1 \right) = 18 - \left( \frac{180}{2} - 82,32 \right) = 10,32^\circ$$

Pevnost v otláčení

$$k_{90} = 1,35 + 0,015d = 1,35 + 0,015 \cdot 20 = 1,65$$

$$f_{h,1,k} = \frac{f_{h,0,k}}{k_{90} \cdot \sin^2 \alpha_1 + \cos^2 \alpha_1} = \frac{25,256}{1,65 \cdot \sin^2 82,32 + \cos^2 82,32} = 15,418^\circ$$

$$f_{h,2,k} = \frac{f_{h,0,k}}{k_{90} \cdot \sin^2 \alpha_2 + \cos^2 \alpha_2} = \frac{25,256}{1,65 \cdot \sin^2 10,32 + \cos^2 10,32} = 24,75^\circ$$

$$\beta = \frac{f_{h,2,k}}{f_{h,1,k}} = \frac{24,75}{15,418} = 1,605$$

$$f_{h,1,k} \cdot t_1 \cdot d = 15,418 \cdot 120 \cdot 20 = 37kN$$

$$0,5 \cdot f_{h,2,k} \cdot t_2 \cdot d = 0,5 \cdot 24,75 \cdot 240 \cdot 20 = 59,4kN$$

$$1,05 \cdot \frac{f_{h,1,k} \cdot t_1 \cdot d}{2 + \beta} \left( \sqrt{2\beta(1 + \beta) + \frac{4\beta(2 + \beta) \cdot M_{y,R,k}}{f_{h,1,k} \cdot t_1^2 \cdot d}} - \beta \right) + \frac{F_{ax,R,k}}{4} =$$

$$1,05 \cdot \frac{f_{h,1,k} \cdot 120 \cdot 20}{2 + 1,605} \left( \sqrt{2 \cdot 1,605 \cdot (1 + 1,605) + \frac{4 \cdot 1,605 \cdot (2 + 1,605) \cdot 579\,280,9}{37 \cdot 120^2 \cdot 20}} - 1,605 \right) + \frac{0}{4}$$

$$= 15,98kN$$

$$1,15 \sqrt{\frac{2\beta}{1+\beta}} \cdot \sqrt{2} M_{y,R,k} \cdot f_{h,1,k} \cdot d + \frac{F_{ax,R,k}}{4} =$$

$$1,15 \sqrt{\frac{2 \cdot 1,605}{1 + 1,605}} \cdot \sqrt{2} \cdot 579\,280,9 \cdot 37 \cdot 20 + \frac{0}{4} = 22,05kN$$

$$\Rightarrow \min F_{v,Rk,c} = 15,98kN$$

$$F_{v,Rd,c} = \frac{k_{mod} \cdot F_{v,Rk}}{\gamma_M} = \frac{0,9 \cdot 15,98}{1,25} = 11,5kN$$

Ověření podmínek porušení

a) Posouzení únosnosti spoje

STOJKA

$$F_{d,c} = 19,44kN \leq 2 \cdot F_{v,Rd,c} = 2 \cdot 18,18 = 36,36 \rightarrow \text{VYHOVUJE}$$

PŘÍČLE

$$F_{d,r} = 19,31kN \leq 2 \cdot F_{v,Rd,c} = 2 \cdot 11,5 = 23 \rightarrow \text{VYHOVUJE}$$

b) Posouzení smykového napětí

STOJKA

$$\tau_{v,c} = \frac{3}{2} \cdot \frac{F_{V,d,c}}{2b \cdot h} = \frac{3}{2} \cdot \frac{228,98 \cdot 10^3}{2 \cdot 2 \cdot 120 \cdot 1500} = 0,477 MPa$$

$$\tau_{v,c} = 0,477 MPa \leq f_{v,d} = 2,52 MPa \rightarrow \text{VYHOVUJE}$$

PŘÍČLE

$$\tau_{v,r} = \frac{3}{2} \cdot \frac{F_{V,d,r}}{2b \cdot h} = \frac{3}{2} \cdot \frac{235,06 \cdot 10^3}{2 \cdot 200 \cdot 1200} = 0,78 MPa$$

$$\tau_{v,r} = 0,78 MPa \leq f_{v,d} = 2,52 MPa \rightarrow \text{VYHOVUJE}$$

**NAVRŽENÝ SPOJ VYHOVÍ**

### 2.3.6. NÁVRH A POSOUZENÍ STOJKY A PŘÍČLE RÁMU

$$h = 9500mm$$

$$h_1 = 5000mm$$

$$h_2 = 4500mm$$

$$s = 14705mm$$

$$0,65h_1 = 3250mm$$

$$0,65s = 9558mm$$

Stojka:

$$b_c = 2 \times 120 \text{ mm}$$

$$h_{c,1} = 600 \text{ mm}$$

$$h_{c,2} = 1500 \text{ mm}$$

$$h_{c,3} = 1165 \text{ mm}$$

Příčle:

$$b_R = 200 \text{ mm}$$

$$h_{R,1} = 1500 \text{ mm}$$

$$h_{R,2} = 600 \text{ mm}$$

$$h_{R,3} = 1195 \text{ mm}$$

Stanovení vzpěrných délek:

$$E_{0,05} = 9600 \text{ MPa}$$

$$\rho_k = 385 \text{ kg/m}^3$$

$$r_1 = 600 \text{ mm}$$

$$r_2 = 500 \text{ mm}$$

$$n_1 = 30 \text{ ks}$$

$$n_2 = 25 \text{ ks}$$

$$d = 20 \text{ mm}$$

$$N_{R,0,65} = 128,06 \text{ kN}$$

$$N_{C,0,65} = 158,9 \text{ kN}$$

$$I_R = \frac{1}{12} \cdot b_R \cdot h_{R3}^3 = \frac{1}{12} \cdot 200 \cdot 1195^3 = 2,65 \cdot 10^{10} \text{ mm}^4$$

$$I_C = \frac{1}{12} \cdot b_C \cdot h_{C3}^3 = \frac{1}{12} \cdot 240 \cdot 1165^3 = 3,41 \cdot 10^{10} \text{ mm}^4$$

$$K_{ser} = \rho_k^{1,5} \cdot \frac{d}{23} = 385^{1,5} \cdot \frac{20}{23} = 6568,9 \text{ N/mm}$$

$$K_u = \frac{2}{3} \cdot K_{ser} = \frac{2}{3} \cdot 6568,9 = 4379,27 \text{ N/mm}$$

$$K_r = 2 \cdot K_u \cdot (n_1 \cdot r_1^2 + n_2 \cdot r_2^2) = 2 \cdot 4379,27 \cdot (30 \cdot 600^2 + 25 \cdot 500^2) = 2,23 \cdot 10^{11} \text{ mm}^4$$

Stojka

$$l_{ef,c} = h_1 \cdot \sqrt{4 + 3,2 \cdot \frac{I_c \cdot s}{I_R \cdot h_1} + 10 \frac{I_c \cdot E}{K_R \cdot h_1}} =$$

$$9500 \cdot \sqrt{4 + 3,2 \cdot \frac{3,41 \cdot 10^{10} \cdot 14705}{2,65 \cdot 10^{10} \cdot 5000} + 10 \frac{3,41 \cdot 10^{10} \cdot 11500}{2,23 \cdot 10^{11} \cdot 5000}} = 14\,271,466 \text{ mm}$$

Příčle

$$l_{ef,R} = l_{ef,c} \cdot \sqrt{\frac{I_R \cdot N_C}{I_C \cdot N_R}} = 14\,271,46 \cdot \sqrt{\frac{2,65 \cdot 10^{10} \cdot 158,9}{3,41 \cdot 10^{10} \cdot 128,06}} = 14014,23 \text{ mm}$$

1) PŘÍČLE

$$M_{ED,R} = 495,51 \text{ kNm}, V_{ED} = 94,16 \text{ kN}, N_{ED} = 141,93 \text{ kN}$$

$$b = 200 \text{ mm}$$

$$h = 1500 \text{ mm}$$

a) Posouzení na tlak a ohyb

- Návrhová pevnost v tlaku:

$$f_{c,0,d} = k_{mod} \cdot \frac{f_{c,0,k}}{\gamma_M} = 0,9 \cdot \frac{24}{1,25} = 17,28 \text{ MPa}$$

- Návrhová pevnost v ohybu:

$$f_{m,g,d} = k_{mod} \cdot \frac{f_{m,k}}{\gamma_M} = 0,9 \cdot \frac{24}{1,25} = 17,28 \text{ MPa}$$

- Návrhové napětí v tlaku:

$$\sigma_{c,0,d} = \frac{N}{A} = \frac{141,93 \cdot 10^3}{200 \cdot 1500} = 0,64 \text{ MPa}$$

- Návrhové napětí v ohybu:

$$\sigma_{m,y,d} = \frac{6M_{Ed,y}}{b \cdot h^2} = \frac{6 \cdot 495,51 \cdot 10^6}{200 \cdot 1500^2} = 10,033 \text{ MPa}$$

$$\left(\frac{\sigma_{c,0,d}}{f_{c,0,d}}\right)^2 + \frac{\sigma_{m,y,d}}{f_{f,y,d}} \leq 1$$

$$\left(\frac{0,64}{17,28}\right)^2 + \frac{10,033}{17,28} \leq 1$$

0,582 < 1 → VYHOVUJE NA KOMBINACI TLAKU A OHYBU



- Kritická štíhlost:

$$\lambda_y = \frac{l_{ef,R}}{i} = \frac{14014,23}{433} = 32,08$$

$$i = \sqrt{\frac{I}{A}} = \sqrt{\frac{\frac{1}{12} \cdot 200 \cdot 1500^3}{200 \cdot 1500}} = 433 \text{ mm}$$

- Relativní štíhlost:

$$\lambda_{rel,y} = \frac{\lambda_y}{\pi} \cdot \sqrt{\frac{f_{c,0,k}}{E_{0,05}}} = \frac{32,08}{\pi} \cdot \sqrt{\frac{24}{11500}} = 0,51$$

- Součinitele vzpěru  $k_i$ : ( $\beta_c = 0,1$  – lamelové)

$$k_y = 0,5 \cdot (1 + \beta_c \cdot (\lambda_{rel,y} - 0,3) + \lambda_{rel,y}^2) = 0,5 \cdot (1 + 0,1 \cdot (0,51 - 0,3) + 0,51^2) = 0,64$$

$$k_{c,y} = \frac{1}{k_y + \sqrt{k_y^2 - \lambda_{rel,y}^2}} = \frac{1}{0,64 + \sqrt{0,64^2 - 0,51^2}} = 0,974$$

b) Posouzení na vzpěr a ohyb

$$\frac{\sigma_{c,0,d}}{k_{c,y} \cdot f_{c,0,d}} + \frac{\sigma_{m,y,d}}{f_{m,d}} \leq 1$$

$$\frac{0,64}{0,974 \cdot 17,28} + \frac{10,033}{17,28} = 0,618 \leq 1 \rightarrow \text{VYHOVUJE NA KOMBINACI VZPĚRU A OHYBU}$$

c) Posouzení na smyk

- Návrhová pevnost ve smyku:

$$f_{V,d} = k_{mod} \cdot \frac{f_{V,k}}{\gamma_M} = 0,9 \cdot \frac{3,5}{1,25} = 2,52 \text{ MPa}$$

$$\tau_d \leq f_{V,d}$$

- Návrhové napětí ve smyku:

$$\tau_d = \frac{3}{2} \cdot \frac{V_{Ed}}{A \cdot k_{c,R}} = \frac{3}{2} \cdot \frac{94,16 \cdot 10^3}{2 \cdot 200 \cdot 1500 \cdot 0,67} = 0,22 \text{ MPa}$$

$$\tau_d = 0,22 \text{ MPa} < f_{V,d} = 2,52 \text{ MPa} \rightarrow \text{VAZNÍK VYHOVUJE NA SMYK}$$

## 2.4. Štítový sloup:

### 2.4.1. Materiálové charakteristiky

Materiál	lepené lamelové dřevo GL 24h
Třída provozu	2
Třída trvání zatížení:	krátkodobé → $K_{mod} = 0,9$ , $K_{def} = 0,8$
Parciální součinitel spolehlivosti:	$\gamma_M = 1,25$
Charakteristická pevnost v ohybu:	$f_{m,g,k} = 24$ MPa
Charakteristická pevnost v tahu rovnoběžně s vlákny:	$f_{t,g,0,k} = 19,2$ MPa
Charakteristická pevnost v tahu kolmo k vláknům:	$f_{t,90,k} = 0,5$ MPa
Charakteristická pevnost v tlaku rovnoběžně s vlákny:	$f_{c,0,g,k} = 24$ MPa
Charakteristická pevnost ve smyku:	$f_{v,g,k} = 2,5$ MPa
5% kvantil modulu pružnosti rovnoběžně s vlákny:	$E_{0,g,05} = 9600$ MPa
Průměrná hodnota modulu pružnosti rovnoběžně s vlákny:	$E_{90,g,mean} = 300$ MPa

### 2.4.2. Geometrické charakteristiky

Šířka průřezu:	$b = 0,20$ m
Výška průřezu:	$h = 0,28$ m
Výška	$l = 8,85$ m
Zatěžovací šířka	$zš = 4$ m

#### Zatížení

Obvodový plášť  $g_{k,1} = 1,44 \cdot 4 \cdot 1/5 = 1,15$  kN/m

Síla od pláště  $G_{pl,d} = 1,15 \cdot 8,85 \cdot 1,35 = 13,74$  kN

Síla od vaznice  $G_d = 18,81$  kN

Proměnná vítr  $w_1 = 0,55$  kN/m<sup>2</sup>

$$w_e = 0,55 \cdot 4 = 2,2 \text{ kN/m}$$

$$w_d = 2,2 \cdot 1,35 = 2,97 \text{ kN/m}$$

Vlastní tíha  $g_{k,vi} = 385 \cdot 0,28 \cdot 0,2 \cdot 8,85/100 = 1,84$  kN

Okna  $g_{k,2} = 0,40 \cdot 5,73 \cdot 1,5 = 3,44$  kN

Celkem  $G_k = g_{k,1} + g_{k,2} + g_{k,3} = 1,15 + 3,44 + 2,73 = 7,32$  kN

$G_d = 7,32 \cdot 1,35 = 9,88$  kN

$$M_d = \frac{1}{8} \cdot w_d \cdot l^2 = \frac{1}{8} \cdot 2,97 \cdot 8,85^2 = 28,4 \text{ MPa}$$

$$V_d = \frac{1}{2} \cdot w_d \cdot l = \frac{1}{2} \cdot 2,97 \cdot 8,85 = 12,8 \text{ MPa}$$

$$N_d = G_{d,p} + G_{d,v} = 13,74 + 20 = 33,74 \text{ MPa}$$

### 2.4.3. Posouzení MSÚ

#### a) Posouzení sloupu na ohyb

$$\sigma_{m,d} \leq f_{m,g,d}$$

- Návrhová pevnost v ohybu:

$$f_{m,g,d} = k_{mod} \cdot \frac{f_{m,k}}{\gamma_M} = 0,9 \cdot \frac{24}{1,25} = 17,28 \text{ MPa}$$

- Návrhová hodnota napětí v ohybu:

$$\sigma_{m,d} = \frac{6M_{Ed,y}}{b \cdot h_{ap}^2} = \frac{6 \cdot 28,4 \cdot 10^{-3}}{0,20 \cdot 0,28^2} = 10,87 \text{ MPa}$$

$$\sigma_{m,d} \leq f_{m,g,d}$$

10,87 MPa < 17,28 MPa → **SLOUP VYHOVUJE NA OHYB**

#### b) Posouzení sloupu na kombinaci ohybu a vzpěr

- Návrhové napětí v tlaku:

$$\sigma_{c,0,d} = \frac{N}{A} = \frac{33,74 \cdot 10^{-3}}{0,200 \cdot 0,280} = 0,603 \text{ MPa}$$

Kritická štíhlost:

$$i = \sqrt{\frac{I_z}{A}} = \sqrt{\frac{\frac{1}{12} \cdot 200 \cdot 360^3}{200 \cdot 360}} = 103,92 \text{ mm}$$

$$\lambda_y = \frac{l_{ef}}{i} = \frac{8850}{103,92} = 85,16$$

- Relativní štíhlost:

$$\lambda_{rel,y} = \frac{\lambda_y}{\pi} \sqrt{\frac{f_{c,0,k}}{E_{0,05}}} = \frac{85,16}{\pi} \sqrt{\frac{24}{9600}} = 1,35$$

$$k_y = 0,5 \cdot (1 + \beta_c \cdot (\lambda_{rel,y} - 0,3) + \lambda_{rel,y}^2) = 0,5 \cdot (1 + 0,1 \cdot (1,35 - 0,3) + 1,35^2) = 1,46$$

- Součinitel vzpěru  $k_c$ :

$$k_{c,y} = \frac{1}{k_y + \sqrt{k^2_y - \lambda^2_{rel,y}}} = \frac{1}{1,46 + \sqrt{1,46^2 - 1,35^2}} = 0,91$$

$$\left( \frac{\sigma_{c,0,d}}{k_c \cdot f_{c,0,d}} \right)^1 + \frac{\sigma_{m,y,d}}{f_{f,y,d}} \leq 1$$

$$\left( \frac{0,603}{0,91 \cdot 17,28} \right)^1 + \frac{10,87}{17,28} = 0,67 \leq 1 \rightarrow \text{SLOUP VYHOVUJE NA KOMBINACI TLAKU A OHYBU}$$

c) Posouzení sloupu na smyk

- Vnitřní síly:

$$V_{Ed} = 20 \text{ kN}$$

- Návrhová pevnost ve smyku:

$$f_{V,d} = k_{mod} \cdot \frac{f_{V,k}}{\gamma_M} = 0,9 \cdot \frac{3,5}{1,25} = 2,52 \text{ MPa}$$

- Návrhové napětí ve smyku:

$$\tau_d = \frac{3}{2} \cdot \frac{V_{Ed}}{b \cdot h} = \frac{3}{2} \cdot \frac{20 \cdot 10^{-3}}{0,2 \cdot 0,28} = 0,535 \text{ MPa}$$

$$\tau_d = 0,535 \text{ MPa} < f_{V,d} = 2,52 \text{ MPa} \rightarrow \text{SLOUP VYHOVUJE NA SMYK}$$

2.4.4. Posouzení MSP

a) Okamžitý průhyb:

$$W_{inst,c} = \frac{5 \cdot W_k \cdot l^4}{384 \cdot EI} = \frac{5 \cdot 2,2 \cdot 8850^4}{384 \cdot \frac{1}{12} \cdot 11500 \cdot 200 \cdot 280^3} = 41,77 \text{ mm}$$

- Posouzení okamžitého průhybu:

$$W_{inst,c} \leq \frac{L(\frac{1}{2})}{250} = \frac{8850}{250} = 44,25$$

$$41,77 \text{ mm} < 44,25 \text{ mm} \rightarrow \text{SLOUP VYHOVUJE NA OKAMŽITÝ PRŮHYB}$$

b) Konečný průhyb:

$$W_{fin,Q} = W_{inst,c} \cdot (1 + \psi_2 \cdot k_{def}) = 41,77 \cdot (1 + 0 \cdot 0,6) = 74,77 \text{ mm}$$

$$\psi_2 = 0$$

$$k_{def} = 0,6$$

$$W_{fin,c} \leq \frac{L(\frac{1}{2})}{250} = \frac{8850}{250} = 44,25$$

$$41,77 \text{ mm} < 44,25 \text{ mm} \rightarrow \text{SLOUP VYHOVUJE NA KONEČNÝ PRŮHYB}$$

## 2.5. NÁVRH PAŽDÍKU VE ŠTÍTOVÉ STĚNĚ

- GL24h
- 120x280 mm – rozměry z důvodu profilu sloupu – předpokládáme že vyhoví

Okno 35kg/m<sup>2</sup>, délka 3800mm =  $gk = \frac{0,35}{3,8} = 0,0921$

$$w = \frac{5 \cdot g_k \cdot l^4}{384 \cdot EI} = \frac{5 \cdot 0,0921 \cdot 3800^4}{384 \cdot 11500 \cdot \frac{1}{12} \cdot 280 \cdot 120^3} = 0,56mm$$

## 2.6. NÁVRH PAŽDÍKU VE STĚNĚ

- C24
- 80x200 mm – rozměry z důvodu profilu sloupu – předpokládáme že vyhoví

Okno 35kg/m<sup>2</sup>, délka 4360/2 = 2180 mm =  $gk = \frac{0,35}{2,180} = 0,16$

$$w = \frac{5 \cdot g_k \cdot l^4}{384 \cdot EI} = \frac{5 \cdot 0,0921 \cdot 4360^4}{384 \cdot 11000 \cdot \frac{1}{12} \cdot 200 \cdot 80^3} = 0,501mm$$

## 2.7. Ztužení haly:

### Příčné ztužidlo ve střešní rovině

- Jsou navržena 3 pole s příčnými ztužidly, první + prostřední + poslední
- Rozhoduje sání příčného větru, budeme počítat na celé ploše s hodnotou  $w_k = 0,79$

$$w_{ed} = 1,5 \cdot q_p \cdot C_{pe} = 1,5 \cdot 0,79 = 1,18 \text{ kN/m}^2$$

$$w_{sd1} = 2 \cdot \frac{5}{2} \cdot 1,18 = 5,9 \text{ kN}$$

$$w_{sd2} = 4 \cdot \frac{6,3}{2} \cdot 1,18 = 14,86 \text{ kN}$$

$$w_{sd3} = 4 \cdot \frac{7,6}{2} \cdot 1,18 = 17,94 \text{ kN}$$

$$w_{sd4} = 4 \cdot \frac{8,8}{2} \cdot 1,18 = 20,88 \text{ kN}$$

### Vnitřní síly

$$R_{sd} = w_{sd1} + w_{sd2} + w_{sd3} + w_{sd4} = 60 \text{ kN}$$

$$D_1 = \frac{R_{sd} - w_{sd1}}{\sin \alpha} = \frac{60 - 5,9}{\sin 40,04^\circ} = 84,1$$

### Návrh diagonály

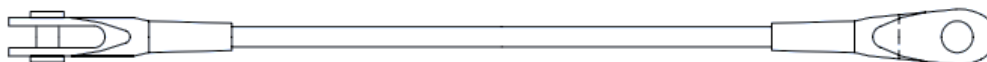
Ocelové táhlo MACALLOY S460, M20...d = 19 mm

$$A_{net} = 234 \text{ mm}^2$$

$N_{ed} = 108 \text{ kN} > D_1 = 84,1 \rightarrow$  **VYHOVUJE NA TAH**

**Tabulka 1: Vlastnosti táhel Macalloy ve standardním provedení a v nerez provedení**

Závit	jednotka	M10	M12	M16	M20	M24	M30	M36	M42	M48	M56	M64	M76	M85	M90*	M100*
Průměr táhla	mm	10	11	15	19	22	28	34	39	45	52	60	72	82	87	97
Minimální mez kluzu	kN	25	36	69	108	156	249	364	501	660	912	1204	1756	2239	2533	3172
Minimální mez pevnosti	kN	33	48	91	143	207	330	483	665	875	1209	1596	2329	2969	3358	4206
Hmotnost táhla	Kg/m	0,50	0,75	1,40	2,20	3,00	4,80	7,10	9,40	12,50	16,70	22,20	32,00	41,50	46,70	58,00

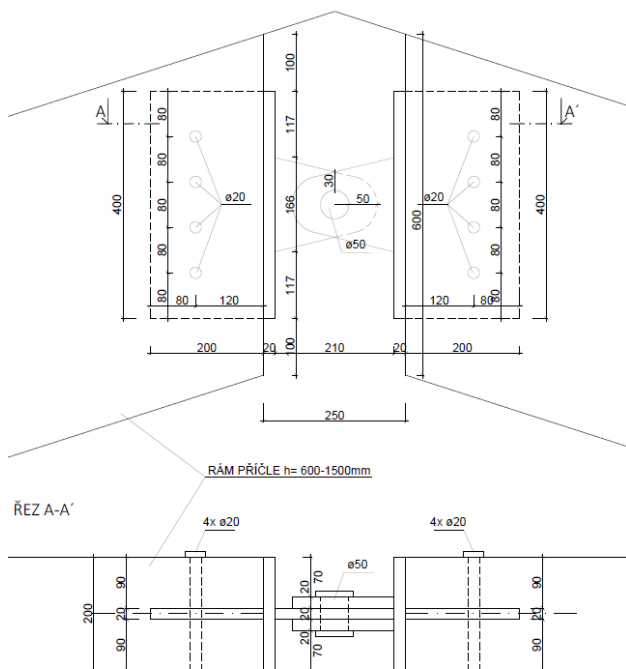


### 3. NÁVRH SPOJŮ

Veškeré spoje byly navrženy v souladu s normou ČSN EN 1993-1-1 (731401). Eurokód 3: Navrhování ocelových konstrukcí – část 1-1: Obecná pravidla a pravidla pro pozemní stavby.

#### 3.1. Vrcholový kloub:

DETAIL PŘÍPOJE VRCHOLOVÉHO KLOUBU



##### 3.1.1. Materiálové charakteristiky

Materiál - lepené lamelové dřevo GL 24h

Třída provozu - 2

Třída trvání zatížení - krátkodobé →  $K_{mod} = 0,9$   
 $K_{def} = 0,8$

Součinitel spolehlivosti -  $\gamma_M = 1,25$

Spojovací prvky:

SVORNÍKY -  $\varnothing 20\text{mm}$

materiál 5.8 - ocel S235

Mez kluzu -  $f_{y,b} = 400\text{ MPa}$

Pevnost v tahu -  $f_{u,b} = 500\text{ MPa}$

$h_s = 400\text{mm}$

$d = 20\text{mm}$

$t = 90\text{ mm}$

##### Vnitřní síly ve vrcholu

$V_{ed} = 33,86\text{kN}$

$N_{ed} = 101,64\text{kN}$

### 3.1.2. Posouzení svorníku

#### Posouzení smyku

$$\tau_d = \frac{3}{2} \cdot \frac{V_{Ed}}{A \cdot k_{cr}} = \frac{3}{2} \cdot \frac{33,86 \cdot 10^3}{2 \cdot 200 \cdot 400 \cdot 0,67} = 0,034 \text{ MPa}$$

$$\tau_d = 0,034 \leq f_{v,d} \cdot k_{cr} = 2,24 \cdot 0,67 = 1,5 \text{ MPa} \rightarrow \text{VYHOVUJE NA SMYK}$$

#### Posouzení tlaku

$h_s =$  výška plechu = 400mm

$$\sigma_{c,0,d} = \frac{N_{Ed,c}}{b_d \cdot h_s} = \frac{101,64 \cdot 10^{-3}}{0,2 \cdot 0,4} = 1,27 \text{ MPa}$$

Posouzení kontaktu na tlak:

$$\sigma_{c,0,d} \leq f_{c,0,d}$$

$$1,27 \leq 17,92 \text{ MPa} \rightarrow \text{SPOJ VYHOVUJE NA TLAK}$$

#### Posouzení na smyk

Plastický moment únosnosti

$$M_{y,Rk} = 0,3 \cdot f_{u,k} \cdot d^{2,6} = 0,3 \cdot 500 \cdot 20^{2,6} = 0,362 \text{ kNm}$$

Únosnost kolmo k vláknům:

Charakteristická pevnost v otláčení kolmo k vláknům

$$k_{90} = 1,30 + 0,015 \cdot d = 1,30 + 0,015 \cdot 20 = 1,6$$

$$f_{h,90,k} = \frac{f_{h,0,k}}{k_{90} \cdot \sin^2(\alpha) + \cos^2(\alpha)} = \frac{25,26}{1,51 \cdot \sin^2(90) + \cos^2(90)} = 16,73 \text{ MPa}$$

- Charakteristická únosnost jednoho svorníku pro jeden střih:

$$F_{v,Rk} = \min \left\{ \begin{array}{l} f_{h,90,k} \cdot t \cdot d \cdot \left( \sqrt{2 + \frac{4 \cdot M_{y,Rk}}{f_{h,90,k} \cdot d \cdot t^2}} - 1 \right) = 16,73 \cdot 90 \cdot 20 \cdot \left( \sqrt{2 + \frac{4 \cdot 0,362 \cdot 10^6}{16,73 \cdot 20 \cdot 90^2}} - 1 \right) = 17,825 \text{ kN} \\ 2,3 \cdot \sqrt{M_{y,Rk} \cdot f_{h,90,k} \cdot d} = 2,3 \cdot \sqrt{0,362 \cdot 10^6 \cdot 16,73 \cdot 20} = 25,3 \text{ kN} \\ f_{h,90,k} \cdot t \cdot d = 16,73 \cdot 90 \cdot 20 = 30,11 \text{ kN} \end{array} \right.$$

$$F_{v,Rk} = 17,825 \text{ kN}$$



Charakteristická únosnost svorníků:

$$n = 4$$

$$F_{v,Rk} = 2 \cdot n \cdot F_{v,Rk,min} = 2 \cdot 4 \cdot 17,825 = 142,6 \text{ kN}$$

Návrhová únosnost svorníků:

$$F_{v,Rd} = k_{mod} \cdot \frac{F_{v,Rk}}{\gamma_M} = 0,9 \cdot \frac{142,6}{1,25} = 102,67 \text{ kN}$$

Posouzení ve stříhu:

$$V_{Ed} \leq F_{v,Rd}$$

$$33,86 \text{ kN} \leq 102,67 \text{ kN} \rightarrow \text{SPOJ VYHOVUJE NA STŘIH}$$

NÁVRH 4 SVORNÍKY Ø20mm – OCEL S235 5-8

Posouzení spoje na tah:

Plastický moment únosnosti

$$M_{y,Rk} = 0,362 \text{ kNm}$$

$$M_{Ed,tah} = 0 \text{ kNm}$$

Charakteristická pevnost v otláčení rovnoběžně s vlákny:

$$f_{h,0,k} = 0,082(1 - 0,01d)\rho_k = 0,082(1 - 0,01 \cdot 20)385 = 25,26 \text{ MPa}$$

Charakteristická únosnost jednoho svorníku pro jeden stříh:

$$F_{v,Rk} = \min \left\{ \begin{array}{l} f_{h,0,k} \cdot t \cdot d \cdot \left( \sqrt{2 + \frac{4 \cdot M_{y,Rk}}{f_{h,0,k} \cdot d \cdot t^2}} - 1 \right) = 25,26 \cdot 90 \cdot 20 \cdot \left( \sqrt{2 + \frac{4 \cdot 0,362}{25,26 \cdot 20 \cdot 90^2}} - 1 \right) = 24,29 \text{ kN} \\ 2,3 \cdot \sqrt{M_{y,Rk} \cdot f_{h,0,k} \cdot d} = 2,3 \cdot \sqrt{0,362 \cdot 25,26 \cdot 20} = 31,1 \text{ kN} \\ f_{h,0,k} \cdot t \cdot d = 25,26 \cdot 90 \cdot 20 = 45,46 \text{ kN} \end{array} \right.$$

$$F_{v,Rk} = 24,29 \text{ kN}$$

Charakteristická únosnost svorníků:

$$n = 4$$

$$F_{v,Rk} = 2 \cdot n \cdot F_{v,Rk,min} = 2 \cdot 4 \cdot 24,29 = 194,32 \text{ kN}$$

Návrhová únosnost svorníků:

$$F_{v,Rd} = k_{mod} \cdot \frac{F_{v,Rk}}{\gamma_M} = 0,9 \cdot \frac{194,32}{1,25} = 139,9 \text{ kN}$$

JE POUZE NORMÁLOVÁ SÍLA TLAKOVÁ → SPOJ VYHOVUJE NA TAH

### 3.1.3. Čepový spoj:

Průměr čepu d = 50 mm

Průměr otvoru pro čep d<sub>0</sub> = 52 mm

Tloušťka vnějších plechů t<sub>2</sub> = 10 mm

Mezera mezi čepy e = 80 mm

S355, f<sub>ub</sub>=500MPa

#### Síly do čepu

$$V_{ed} = 33,86 \text{ kN}$$

$$N_{ed} = 101,64 \text{ kN}$$

$$F_{v,e,d} = \sqrt{V_d^2 + N_{d,tlak}^2} = \sqrt{33,86^2 + 101,64^2} = 107,13 \text{ kN}$$

Tloušťka vnitřního plechu t<sub>1</sub>:

$$t_1 \geq 0,7 \cdot \sqrt{\frac{F_{Ed} \cdot \gamma_{M0}}{f_y}} = 0,7 \cdot \sqrt{\frac{101,64 \cdot 10^3 \cdot 1,0}{355}} = 12,16 \rightarrow \text{Volím } t_1 = 20 \text{ mm}$$

Návrh rozměru a:

$$a \geq \frac{F_{Ed} \cdot \gamma_{M0}}{2t \cdot f_y} + \frac{2d_0}{3} = \frac{101,64 \cdot 10^3 \cdot 1,0}{2 \cdot 20 \cdot 355} + \frac{2 \cdot 52}{3} = 41,82 \rightarrow \text{Volím } a = 50 \text{ mm}$$

Návrh rozměru c:

$$c \geq \frac{F_{Ed} \cdot \gamma_{M0}}{2t \cdot f_y} + \frac{d_0}{3} = \frac{101,64 \cdot 10^3 \cdot 1,0}{2 \cdot 20 \cdot 355} + \frac{52}{3} = 27,97 \rightarrow \text{Volím } c = 30 \text{ mm}$$

Posouzení na smyk:

Návrhová únosnost čepu ve smyku:

$$F_{v,ed} = \frac{2 \cdot 0,6 \cdot A \cdot f_{u,b}}{\gamma_M} = \frac{2 \cdot 0,6 \cdot \frac{\pi \cdot 50^2}{4} \cdot 500 \cdot 10^{-3}}{1,25} = 942,477 \text{ kN}$$

$$F_{v,Ed} \leq F_{v,Rd}$$

107,13 ≤ 942,48 kN → Čep o průměru d = 50 mm vyhovuje na smyk

Posouzení čepu a plechu na otláčení:

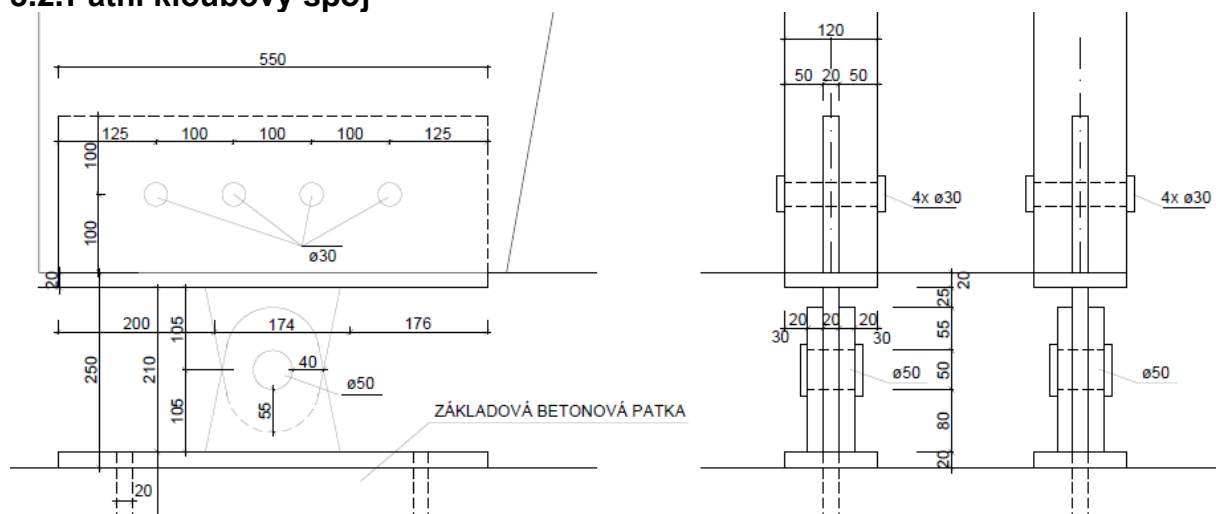
Návrhová únosnost čepu a plechu:

$$F_{b,Rd} = \frac{1,5 \cdot t \cdot d \cdot f_y}{\gamma_{M0}} = \frac{1,5 \cdot 20 \cdot 50 \cdot 355}{1,0} = 532,5 \text{ kN}$$

Posouzení čepu a plechu na otláčení:

$F_{v,Ed} = 151,13 \leq F_{b,Rd} = 532,5 \text{ kN}$  → Čep d = 50 mm a plech t = 20 mm vyhovují na otláčení

### 3.2. Patní kloubový spoj



Materiál - lepené lamelové dřevo GL 24h

$$f_{m,g,d} = k_{mod} \cdot \frac{f_{m,k}}{\gamma_M} = 0,9 \cdot \frac{24}{1,25} = 17,28 \text{ MPa}$$

$$f_{V,d} = k_{mod} \cdot \frac{f_{V,k}}{\gamma_M} = 0,9 \cdot \frac{3,5}{1,25} = 2,52 \text{ MPa}$$

Spojovací prvky:

SVORNÍKY – Ø30mm

materiál 5-8 - ocel S235

Mez kluzu -  $f_{v,b} = 400 \text{ MPa}$

Pevnost v tahu -  $f_{u,b} = 500 \text{ MPa}$

$t = 20 \text{ mm}$

$t_1 = 50 \text{ mm}$

$h = 500$

$b = 2 \cdot 120$

### Vnitřní síly do patního kloubu

$V_d = 110,95 \text{ kN}$

$N_{Ed, tlak} = 168 \text{ kN}$

### 3.2.1. Posouzení svorníku

#### Posouzení smyku

$$\tau_d = \frac{3}{2} \cdot \frac{V_{Ed}}{A \cdot k_{cr}} = \frac{3}{2} \cdot \frac{110,95 \cdot 10^3}{2 \cdot 120 \cdot 500 \cdot 0,67} = 2,07 \text{ MPa}$$

$$\tau_d = 2,07 \leq f_{V,d} = 2,52 \text{ MPa} \rightarrow \text{VYHOVUJE NA SMYK}$$

#### Posouzení tlaku

$h_s = \text{výška plechu} = 550 \text{ mm}$

$$\sigma_{c,0,d} = \frac{N_{Ed,c}}{b_d \cdot h_s} = \frac{168 \cdot 10^3}{2 \cdot 120 \cdot 550} = 1,4 \text{ MPa}$$

$$\sigma_{c,0,d} \leq f_{c,0,d}$$

$$1,4 \leq 17,28 \text{ MPa} \rightarrow \text{SPOJ VYHOVUJE NA TLAK}$$

#### Posouzení na smyk

Plastický moment únosnosti

$$M_{y,Rk} = 0,3 \cdot f_{u,k} \cdot d^{2,6} = 0,3 \cdot 500 \cdot 30^{2,6} = 1,039 \text{ kNm}$$

Únosnost kolmo k vláknům:

Charakteristická pevnost v otažení kolmo k vláknům

$$k_{90} = 1,30 + 0,015 \cdot d = 1,30 + 0,015 \cdot 30 = 1,75$$

Charakteristická pevnost v otažení rovnoběžně s vlákny:

$$f_{h,0,k} = 0,082(1 - 0,01d)\rho_k = 0,082(1 - 0,01 \cdot 30)385 = 22,099 \text{ MPa}$$

$$f_{h,90,k} = \frac{f_{h,0,k}}{k_{90} \cdot \sin^2(\alpha) + \cos^2(\alpha)} = \frac{22,1}{1,6 \cdot \sin^2(90) + \cos^2(90)} = 13,81 \text{ MPa}$$

Charakteristická únosnost jednoho svorníku pro jeden stříh

$$F_{v,Rk} = \min \left\{ \begin{array}{l} f_{h,90,k} \cdot t \cdot d \cdot \left( \sqrt{2 + \frac{4 \cdot M_{y,Rk}}{f_{h,90,k} \cdot d \cdot t^2}} - 1 \right) = 13,81 \cdot 50 \cdot 30 \cdot \left( \sqrt{2 + \frac{4 \cdot 1,039 \cdot 10^6}{13,81 \cdot 30 \cdot 50^2}} - 1 \right) = 34,831 kN \\ 2,3 \cdot \sqrt{M_{y,Rk} \cdot f_{h,90,k} \cdot d} = 2,3 \cdot \sqrt{1,039 \cdot 10^6 \cdot 13,81 \cdot 30} = 47,72 kN \\ f_{h,90,k} \cdot t \cdot d = 20,715 kN \end{array} \right.$$

$$F_{v,Rk} = 20,715 kN$$

Charakteristická únosnost svorníků:

$$n = 4$$

$$F_{v,Rk} = 2 \cdot n \cdot F_{v,Rk,min} = 2 \cdot 4 \cdot 20,715 = 165,72 kN$$

Návrhová únosnost svorníků:

$$F_{v,Rd} = k_{mod} \cdot \frac{F_{v,Rk}}{\gamma_M} = 0,9 \cdot \frac{165,72}{1,25} = 119,32 kN$$

Posouzení ve stříhu:

$$V_{Ed} \leq F_{v,Rd}$$

$$110,95 kN \leq 119,32 kN \quad \rightarrow \text{SPOJ VYHOVUJE NA STŘIH}$$

NÁVRH 4 SVORNÍKY Ø30mm – OCEL S235 5.8

Posouzení spoje na tah:

JE POUZE NORMÁLOVÁ SÍLA TLAKOVÁ  $\rightarrow$  SPOJ VYHOVUJE NA TAH

Únosnost na roztržení

he= vzdálenost namáhaného okraje od středu nejvzdálenějšího spojovacího prostředku

$$h_e = \frac{h - h_s}{2} + p_1 + 3 \cdot e_1 = \frac{600 - 550}{2} + 125 + 3 \cdot 100 = 475 mm$$

$$F_{90,r,k} = 14 \cdot b \cdot \sqrt{\frac{h_e}{1 - \frac{h_e}{h}}} = 14 \cdot 240 \cdot \sqrt{\frac{475}{1 - \frac{475}{600}}} = 160,437 kN$$

$$F_{90,r,d} = k_{mod} \cdot \frac{F_{90,r,k}}{\gamma_M} = 0,9 \cdot \frac{160,437}{1,25} = 115,514 kN$$

$$V_{Ed} \leq F_{90,r,d}$$

$$110,95 kN \leq 115,514 kN \quad \rightarrow \text{SPOJ VYHOVUJE NA ROZTRŽENÍ}$$

3.2.2. Čepový spoj:

Průměr čepu	$d = 50 \text{ mm}$
Průměr otvoru pro čep	$d_0 = 52 \text{ mm}$
Tloušťka vnějších plechů	$t_2 = 10 \text{ mm}$
Mezera mezi čepy	$e = 80 \text{ mm}$
S355 , $f_{ub}=500\text{MPa}$	

Vnitřní síly do patního kloubu

$$V_d = 110,95 \text{ kN}$$

$$N_{Ed,tlak} = 168 \text{ kN}$$

$$F_{v,e,d} = \sqrt{V_d^2 + N_{d,tlak}^2} = \sqrt{110,95^2 + 168^2} = 201,33 \text{ kN}$$

Tloušťka vnitřního plechu  $t_1$ :

$$t_1 \geq 0,7 \cdot \sqrt{\frac{F_{Ed} \cdot \gamma_{M0}}{f_y}} = 0,7 \cdot \sqrt{\frac{201 \cdot 10^3 \cdot 1,0}{355}} = 16,65 \rightarrow \text{Volím } t_1 = 20 \text{ mm}$$

Návrh rozměru a:

$$a \geq \frac{F_{Ed} \cdot \gamma_{M0}}{2t \cdot f_y} + \frac{2d_0}{3} = \frac{201 \cdot 10^3 \cdot 1,0}{2 \cdot 20 \cdot 355} + \frac{2 \cdot 52}{3} = 48,82$$

$\rightarrow$  Volím a = 55 mm

Návrh rozměru c:

$$c \geq \frac{F_{Ed} \cdot \gamma_{M0}}{2t \cdot f_y} + \frac{d_0}{3} = \frac{201 \cdot 10^3 \cdot 1,0}{2 \cdot 20 \cdot 355} + \frac{52}{3} = 31,48$$

$\rightarrow$  Volím a = 40 mm

Posouzení na smyk:

Návrhová únosnost čepu ve smyku:

$$F_{v,e,d} = \frac{2 \cdot 0,6 \cdot A \cdot f_{u,b}}{\gamma_M} = \frac{2 \cdot 0,6 \cdot \frac{\pi \cdot 50^2}{4} \cdot 500 \cdot 10^{-3}}{1,25} = 942,477 \text{ kN}$$

Posouzení čepu na smyk:

$$F_{v,Ed} \leq F_{v,Rd}$$

$201,33 \leq 942,48 \text{ kN} \rightarrow$  Čep o průměru d = 50 mm vyhovuje na smyk

Posouzení čepu a plechu na otláčení:

Návrhová únosnost čepu a plechu:

$$F_{b,Rd} = \frac{1,5 \cdot t \cdot d \cdot f_y}{\gamma_{M0}} = \frac{1,5 \cdot 20 \cdot 50 \cdot 355}{1,0} = 532,5 \text{ kN}$$

Posouzení čepu a plechu na otláčení:

$$F_{v,Ed} \leq F_{b,Rd}$$

201,33 ≤ 532,5 kN → Čep o průměru d = 50 mm a plech t = 20 mm vyhovují na otláčení

#### 4. Souhrn navržených nosných prvků

Prvek	Materiál	Šířka průřezu (mm)	Výška průřezu (mm)
Příčle	GL24h	200	600 - 1500
Stojka	GL24h	2x 120	600 - 1500
Vaznice	GL24h	180	240
Krokev	C24	120	160
Štítový sloup	GL24h	200	280
Paždík ve štítové stěně	C24	280	120
Paždík ve stěně	C24	200	80

Prvek	Materiál	Průměr (mm)
Ztužidlo - táhlo MACALLOY	Ocel S460	19

## 5. Základy

POSOUZENÍ – POMOCÍ PROGRAMU GEO5

MATERIÁL – Prostý beton C20/25

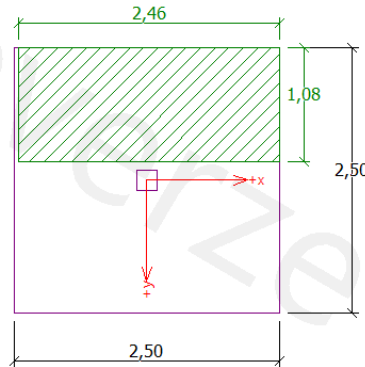
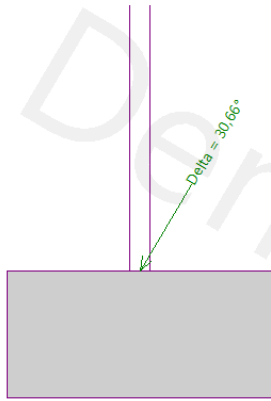
### 5.1. Návrh patky pod rámem

Návrh rozměrů: 2800 x 2800 x 1200

#### ZATÍŽENÍ

$V_{y,d} = 110,95 \text{ kN}$

$H_{y,d} = 168 \text{ kN}$



#### Posouzení únosnosti patky - 1.MS

##### Posouzení svislé únosnosti

Tvar kontaktního napětí: obdélník

Nejnepříznivější zatěžovací stav číslo 1. (Zatížení č. 1)

Výpočtová únosnost zákl. půdy  $R_d = 144,55 \text{ kPa}$

Extrémní kontaktní napětí  $\sigma = 107,00 \text{ kPa}$

Svislá únosnost **VYHOVUJE**

##### Posouzení excentricity zatížení

Max. excentricita ve směru délky patky  $e_x = 0,008 < 0,333$

Max. excentricita ve směru šířky patky  $e_y = 0,284 < 0,333$

Max. prostorová excentricita  $e_t = 0,285 < 0,333$

Excentricita zatížení základu **VYHOVUJE**

##### Posouzení vodorovné únosnosti

Nejnepříznivější zatěžovací stav číslo 1. (Zatížení č. 1)

Horizontální únosnost základu  $R_{dh} = 177,18 \text{ kN}$

Extrémní horizontální síla  $H = 168,00 \text{ kN}$

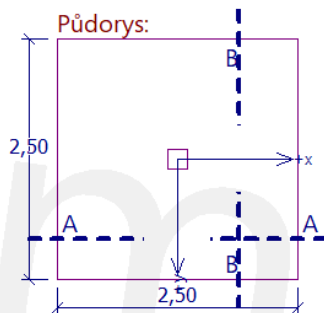
Vodorovná únosnost **VYHOVUJE**

Únosnost základu **VYHOVUJE**

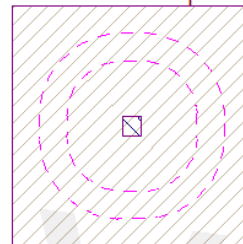
#### Posouzení

**SVISLÁ ÚNOSNOST : VYHOVUJE (73,0%)**

**VODOROVNÁ ÚNOS. : VYHOVUJE (94,7%)**



#### Protlačení - krit. průřez:

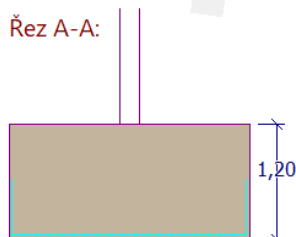


plocha zat., které  
ŽB přenese smykem  
plocha:  $4,00E-02 \text{ m}^2$

kritický průřez  
délka: 0,80m

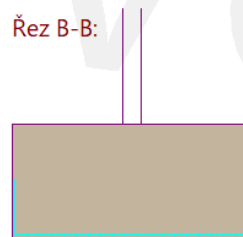
kontrolované průřezy

#### Řez A-A:



20 ks profil 16,0 mm  
délka 2420mm, krytí 40mm

#### Řez B-B:



20 ks profil 16,0 mm  
délka 2420mm, krytí 40mm



## Posouzení plošného základu

### Vstupní data

Datum : 12.04.2023

### Nastavení

Standardní - EN 1997 - DA2

### Materiály a normy

Betonové konstrukce : EN 1992-1-1 (EC2)  
 Součinitele EN 1992-1-1 : standardní

### Sedání

Metoda výpočtu : ČSN 73 1001 (Výpočet pomocí edometrického modulu)  
 Omezení deformační zóny : procentem Sigma,Or  
 Koef. omezení deformační zóny : 10,0 [%]

### Patky

Metodika posouzení : výpočet podle EN 1997  
 Výpočet pro odvodněné podmínky : EC 7-1 (EN 1997-1:2003)  
 Posouzení tažené patky : standardní postup  
 Dovolená excentricita : 0,333  
 Návrhový přístup : 2 - redukce zatížení a odporu

Součinitele redukce zatížení (F)		
Trvalá návrhová situace		
	Nepříznivé	Příznivé
Stálé zatížení :	$\gamma_G = 1,35$ [-]	1,00 [-]

Součinitele redukce odporu (R)		
Trvalá návrhová situace		
Součinitel redukce svislé únosnosti :	$\gamma_{Rvs} =$	1,40 [-]
Součinitel redukce vodorovné únosnosti :	$\gamma_{Rhs} =$	1,10 [-]

### Základní parametry zemín

Číslo	Název	Vzorek	$\varphi_{ef}$ [°]	$c_{ef}$ [kPa]	$\gamma$ [kN/m <sup>3</sup> ]	$\gamma_{su}$ [kN/m <sup>3</sup> ]	$\delta$ [°]
1	Třída S4		30,00	5,00	20,00	10,00	10,00

Pro výpočet tlaku v klidu jsou všechny zeminy zadány jako nesoudržné.

### Parametry zemín

#### Třída S4

Objemová tíha :  $\gamma = 20,00$  kN/m<sup>3</sup>  
 Úhel vnitřního tření :  $\varphi_{ef} = 30,00$  °  
 Soudržnost zeminy :  $c_{ef} = 5,00$  kPa  
 Edometrický modul :  $E_{oed} = 10,00$  MPa  
 Obj.tíha sat.zeminy :  $\gamma_{sat} = 20,00$  kN/m<sup>3</sup>

### Založení

#### Typ základu: centrická patka

Hloubka od původního terénu  $h_z = 1,20$  m  
 Hloubka základové spáry  $d = 1,20$  m  
 Tloušťka základu  $t = 1,20$  m

# STATICKÝ VÝPOČET

Sklon upraveného terénu  $s_1 = 0,00 \text{ }^\circ$   
 Sklon základové spáry  $s_2 = 0,00 \text{ }^\circ$

### Nadloží

Typ: zadat objemovou tíhu  
 Objemová tíha zeminy nad základem = 20,00 kN/m<sup>3</sup>

### Geometrie konstrukce

#### Typ základu: centrická patka

Délka patky  $x = 2,50 \text{ m}$   
 Šířka patky  $y = 2,50 \text{ m}$   
 Tvar sloupu obdélník  
 Šířka sloupu ve směru  $x$   $c_x = 0,20 \text{ m}$   
 Šířka sloupu ve směru  $y$   $c_y = 0,20 \text{ m}$

Objem patky = 7,50 m<sup>3</sup>  
 Objem výkopu = 7,50 m<sup>3</sup>  
 Objem zásyvu = 0,00 m<sup>3</sup>

### Materiál konstrukce

Objemová tíha  $\gamma = 23,00 \text{ kN/m}^3$   
 Výpočet betonových konstrukcí proveden podle normy EN 1992-1-1 (EG2).

#### Beton: C 20/25

Válcová pevnost v tlaku  $f_{ck} = 20,00 \text{ MPa}$   
 Pevnost v tahu  $f_{ctm} = 2,20 \text{ MPa}$   
 Modul pružnosti  $E_{cm} = 30000,00 \text{ MPa}$

#### Ocel podélná: B500B

Mez kluzu  $f_{yk} = 500,00 \text{ MPa}$

#### Ocel příčná: B500B

Mez kluzu  $f_{yk} = 500,00 \text{ MPa}$

### Geologický profil a přiřazení zemín

Číslo	Mocnost vrstvy t [m]	Hloubka z [m]	Přiřazená zemina	Vzorek
1		- 0,00 .. ∞	Třída S4	

### Zatížení

Číslo	Zatížení		Název	Typ	N [kN]	M <sub>x</sub> [kNm]	M <sub>y</sub> [kNm]	H <sub>x</sub> [kN]	H <sub>y</sub> [kN]
	nové	změna							
1	Ano		Zatížení č. 1	Návrhové	110,95	0,00	0,00	0,00	-168,00

### Celkové nastavení výpočtu

Typ výpočtu : výpočet pro odvodněné podmínky

### Nastavení výpočtu fáze

Návrhová situace : trvalá

### Posouzení čís. 1

#### Posouzení zatěžovacích stavů

Název	VI. tíha příznivě	$e_x$ [m]	$e_y$ [m]	$\sigma$ [kPa]	$R_d$ [kPa]	Využití [%]	Vyhovuje
Zatížení č. 1	Ano	0,00	0,71	105,22	144,20	72,97	Ano
Zatížení č. 1	Ne	0,00	0,59	103,62	226,98	45,65	Ano

Výpočet proveden s automatickým výběrem nejnepříznivějších zatěžovacích stavů.

Spočtená vlastní tíha patky  $G = 172,50 \text{ kN}$

Spočtená tíha nadloží  $Z = 0,00 \text{ kN}$

**Posouzení svislé únosnosti**

Tvar kontaktního napětí : obdélník  
 Nejnepříznivější zatěžovací stav číslo 1. (Zatížení č. 1)

Parametry smykové plochy pod základem:  
 Hloubka smykové plochy  $z_{sp} = 3,96$  m  
 Dosah smykové plochy  $l_{sp} = 11,96$  m

Výpočtová únosnost zákl. půdy  $R_d = 144,20$  kPa  
 Extrémní kontaktní napětí  $\sigma = 105,22$  kPa

**Svislá únosnost VYHOVUJE**

**Posouzení excentricity zatížení**

Max. excentricita ve směru délky patky  $e_x = 0,000 < 0,333$   
 Max. excentricita ve směru šířky patky  $e_y = 0,284 < 0,333$   
 Max. prostorová excentricita  $e_t = 0,284 < 0,333$

**Excentricita zatížení základu VYHOVUJE**

**Posouzení vodorovné únosnosti**

Nejnepříznivější zatěžovací stav číslo 1. (Zatížení č. 1)

Zemní odpor: klidový  
 Výpočtová velikost zemního odporu  $S_{pd} = 18,00$  kN

Horizontální únosnost základu  $R_{dh} = 177,38$  kN  
 Extrémní horizontální síla  $H = 168,00$  kN

**Vodorovná únosnost VYHOVUJE**

**Únosnost základu VYHOVUJE**

**Dimenzace čís. 1**

Výpočet proveden s automatickým výběrem nejnepříznivějších zatěžovacích stavů.

**Posouzení podélné výztuže základu ve směru x**

20 ks profil 16,0 mm, krytí 40,0 mm  
 Šířka průřezu = 2,50 m  
 Výška průřezu = 1,20 m

Stupeň vyztužení  $\rho = 0,14 \% > 0,13 \% = \rho_{min}$   
 Poloha neutrálné osy  $x = 0,07$  m  $< 0,71$  m  $= x_{max}$   
 Moment na mezi únosnosti  $M_{Rd} = 1968,26$  kNm  $> 29,35$  kNm  $= M_{Ed}$

**Průřez VYHOVUJE.**

**Posouzení podélné výztuže základu ve směru y**

20 ks profil 16,0 mm, krytí 40,0 mm  
 Šířka průřezu = 2,50 m  
 Výška průřezu = 1,20 m

Stupeň vyztužení  $\rho = 0,14 \% > 0,13 \% = \rho_{min}$   
 Poloha neutrálné osy  $x = 0,07$  m  $< 0,71$  m  $= x_{max}$   
 Moment na mezi únosnosti  $M_{Rd} = 1968,26$  kNm  $> 69,25$  kNm  $= M_{Ed}$

**Průřez VYHOVUJE.**

**Posouzení základu na protlačení**

Normálová síla v sloupu = 110,95 kN

**Maximální únosnost na obvodu sloupu**

Síla přenesená roztažením do zákl. půdy = 0,71 kN  
 Síla přenesená smykovou pevností patky = 110,24 kN  
 Uvažovaný obvod sloupu  $u_0 = 0,80$  m  
 Smykové napětí na obvodu sloupu  $v_{Ed,max} = 0,12$  MPa

Únosnost na obvodu sloupu  $V_{Rd,max} = 2,94 \text{ MPa}$

**Kritický průřez bez smykové výztuže**

Síla přenesená roznášením do zákl. půdy = 27,39 kN  
 Síla přenesená smykovou pevností patky = 83,56 kN  
 Vzdálenost průřezu od sloupu = 0,58 m  
 Délka průřezu  $u = 4,42 \text{ m}$   
 Smykové napětí na průřezu  $V_{Ed} = 0,02 \text{ MPa}$   
 Únosnost nevyztuženého průřezu  $V_{Rd,c} = 1,06 \text{ MPa}$

$V_{Ed} < V_{Rd,c} \Rightarrow$  Výztuž není nutná

**Základ na protlačení VYHOVUJE**

## 5.2. Návrh patky pod štítovým sloupem

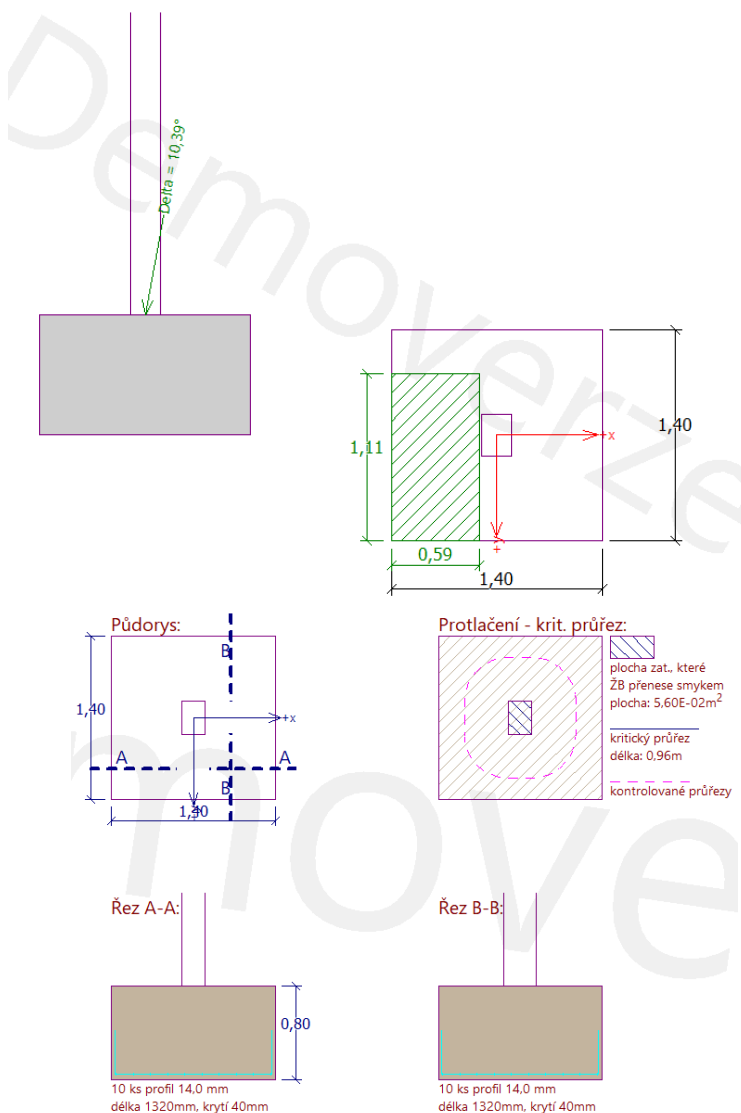
Návrh rozměrů: 1400x1400x800

### ZATÍŽENÍ

$M_{y,d} = 28,4 \text{ MPa}$

$V_{y,d} = 12,8 \text{ MPa}$

$N_d = 33,74 \text{ MPa}$



### Posouzení únosnosti patky - 1.MS

#### Posouzení svislé únosnosti

Tvar kontaktního napětí : obdélník  
 Nejnepriznivější zatěžovací stav číslo 1. (Zatížení č. 1)  
 Výpočtová únosnost zákl. půdy  $R_d = 358,35 \text{ kPa}$   
 Extrémní kontaktní napětí  $\sigma = 107,59 \text{ kPa}$

Svislá únosnost VYHOVUJE

#### Posouzení excentricity zatížení

Max. excentricita ve směru délky patky  $e_x = 0,291 < 0,333$   
 Max. excentricita ve směru šířky patky  $e_y = 0,105 < 0,333$   
 Max. prostorová excentricita  $e_t = 0,309 < 0,333$

Excentricita zatížení základu VYHOVUJE

#### Posouzení vodorovné únosnosti

Nejnepriznivější zatěžovací stav číslo 1. (Zatížení č. 1)  
 Horizontální únosnost základu  $R_{dh} = 43,66 \text{ kN}$   
 Extrémní horizontální síla  $H = 12,80 \text{ kN}$

Vodorovná únosnost VYHOVUJE

Únosnost základu VYHOVUJE

### Posouzení

**SVISLÁ ÚNOSNOST : VYHOVUJE (30,0%)**

**VODOROVNÁ ÚNOS. : VYHOVUJE (29,3%)**

## Posouzení plošného základu

### Vstupní data

Datum : 17.03.2023

### Nastavení

Standardní - EN 1997 - DA2

### Materiály a normy

Betonové konstrukce : EN 1992-1-1 (EC2)

Součinitele EN 1992-1-1 : standardní

### Sedání

Metoda výpočtu : ČSN 73 1001 (Výpočet pomocí edometrického modulu)

Omezení deformační zóny : procentem Sigma,Or

Koef. omezení deformační zóny : 10,0 [%]

### Patky

Metodika posouzení : výpočet podle EN 1997

Výpočet pro odvodněné podmínky : EC 7-1 (EN 1997-1:2003)

Posouzení tažené patky : standardní postup

Dovolená excentricita : 0,333

Návrhový přístup : 2 - redukce zatížení a odporu

Součinitele redukce zatížení (F)			
Trvalá návrhová situace			
		Nepříznivé	Příznivé
Stálé zatížení :	$\gamma_G =$	1,35 [-]	1,00 [-]

Součinitele redukce odporu (R)			
Trvalá návrhová situace			
Součinitel redukce svislé únosnosti :		$\gamma_{Rvs} =$	1,40 [-]
Součinitel redukce vodorovné únosnosti :		$\gamma_{Rhs} =$	1,10 [-]

### Základní parametry zemín

Číslo	Název	Vzorek	$\Phi_{ef}$ [°]	$c_{ef}$ [kPa]	$\gamma$ [kN/m <sup>3</sup> ]	$\gamma_{su}$ [kN/m <sup>3</sup> ]	$\delta$ [°]
1	Třída S4		30,00	5,00	20,00	10,00	10,00

Pro výpočet tlaku v klidu jsou všechny zeminy zadány jako nesoudržné.

### Parametry zemín

#### Třída S4

Objemová tíha :  $\gamma = 20,00$  kN/m<sup>3</sup>

Úhel vnitřního tření :  $\Phi_{ef} = 30,00$  °

Soudržnost zeminy :  $c_{ef} = 5,00$  kPa

Edometrický modul :  $E_{oed} = 10,00$  MPa

Obj.tíha sat.zeminy :  $\gamma_{sat} = 20,00$  kN/m<sup>3</sup>

### Založení

#### Typ základu: centrická patka

Hloubka od původního terénu  $h_z = 0,80$  m

Hloubka základové spáry  $d = 0,80$  m

Tloušťka základu  $t = 0,80$  m

## STATICKÝ VÝPOČET

Sklon upraveného terénu  $s_1 = 0,00^\circ$   
 Sklon základové spáry  $s_2 = 0,00^\circ$

### Nadloží

Typ: zadat objemovou tíhu  
 Objemová tíha zeminy nad základem = 20,00 kN/m<sup>3</sup>

### Geometrie konstrukce

#### Typ základu: centrická patka

Délka patky  $x = 1,40$  m  
 Šířka patky  $y = 1,40$  m  
 Tvar sloupu obdélník  
 Šířka sloupu ve směru x  $c_x = 0,20$  m  
 Šířka sloupu ve směru y  $c_y = 0,28$  m

Objem patky = 1,57 m<sup>3</sup>  
 Objem výkopu = 1,57 m<sup>3</sup>  
 Objem zásyvu = 0,00 m<sup>3</sup>

### Materiál konstrukce

Objemová tíha  $\gamma = 23,00$  kN/m<sup>3</sup>  
 Výpočet betonových konstrukcí proveden podle normy EN 1992-1-1 (EC2).

#### Beton: C 20/25

Válcová pevnost v tlaku  $f_{ck} = 20,00$  MPa  
 Pevnost v tahu  $f_{ctm} = 2,20$  MPa  
 Modul pružnosti  $E_{cm} = 30000,00$  MPa

#### Ocel podélná: B500B

Mez kluzu  $f_{yk} = 500,00$  MPa

#### Ocel příčná: B500B

Mez kluzu  $f_{yk} = 500,00$  MPa

### Geologický profil a přiřazení zemín

Číslo	Mocnost vrstvy t [m]	Hloubka z [m]	Přiřazená zemina	Vzorek
1		- 0,00 .. ∞	Třída S4	

### Zatížení

Číslo	Zatížení		Název	Typ	N [kN]	M <sub>x</sub> [kNm]	M <sub>y</sub> [kNm]	H <sub>x</sub> [kN]	H <sub>y</sub> [kN]
	nové	změna							
1	Ano		Zatížení č. 1	Návrhové	33,74	0,00	28,40	0,00	12,80

### Celkové nastavení výpočtu

Typ výpočtu : výpočet pro odvodněné podmínky

### Nastavení výpočtu fáze

Návrhová situace : trvalá

### Posouzení čís. 1

#### Posouzení zatěžovacích stavů

Název	VI. tíha příznivě	$e_x$ [m]	$e_y$ [m]	$\sigma$ [kPa]	$R_d$ [kPa]	Využití [%]	Vyhovuje
Zatížení č. 1	Ano	-0,41	-0,15	107,59	358,35	30,02	Ano
Zatížení č. 1	Ne	-0,34	-0,12	100,69	393,72	25,57	Ano

Výpočet proveden s automatickým výběrem nejnepříznivějších zatěžovacích stavů.

Spočtená vlastní tíha patky  $G = 36,06$  kN

Spočtená tíha nadloží  $Z = 0,00$  kN

**Posouzení svislé únosnosti**

Tvar kontaktního napětí : obdélník  
 Nejnepriznivější zatěžovací stav číslo 1. (Zatížení č. 1)

Parametry smykové plochy pod základem:  
 Hloubka smykové plochy  $z_{sp} = 2,22$  m  
 Dosah smykové plochy  $l_{sp} = 6,70$  m

Výpočtová únosnost zákl. půdy  $R_d = 358,35$  kPa  
 Extrémní kontaktní napětí  $\sigma = 107,59$  kPa

**Svislá únosnost VYHOVUJE**

**Posouzení excentricity zatížení**

Max. excentricita ve směru délky patky  $e_x = 0,291 < 0,333$   
 Max. excentricita ve směru šířky patky  $e_y = 0,105 < 0,333$   
 Max. prostorová excentricita  $e_t = 0,309 < 0,333$

**Excentricita zatížení základu VYHOVUJE**

**Posouzení vodorovné únosnosti**

Nejnepriznivější zatěžovací stav číslo 1. (Zatížení č. 1)  
 Zemní odpor: klidový  
 Výpočtová velikost zemního odporu  $S_{pd} = 4,48$  kN

Horizontální únosnost základu  $R_{dh} = 43,66$  kN  
 Extrémní horizontální síla  $H = 12,80$  kN

**Vodorovná únosnost VYHOVUJE**

**Únosnost základu VYHOVUJE**

**Posouzení čís. 1**

**Dimenzace čís. 1**

Výpočet proveden s automatickým výběrem nejnepriznivějších zatěžovacích stavů.

**Posouzení podélné výztuže základu ve směru x**

10 ks profil 14,0 mm, krytí 40,0 mm  
 Šířka průřezu = 1,40 m  
 Výška průřezu = 0,80 m

Stupeň vyztužení  $\rho = 0,15 \% > 0,13 \% = \rho_{min}$   
 Poloha neutrálné osy  $x = 0,04$  m  $< 0,46$  m =  $x_{max}$   
 Moment na mezi únosnosti  $M_{Rd} = 491,98$  kNm  $> 10,67$  kNm =  $M_{Ed}$

**Průřez VYHOVUJE.**

**Posouzení podélné výztuže základu ve směru y**

10 ks profil 14,0 mm, krytí 40,0 mm  
 Šířka průřezu = 1,40 m  
 Výška průřezu = 0,80 m

Stupeň vyztužení  $\rho = 0,15 \% > 0,13 \% = \rho_{min}$   
 Poloha neutrálné osy  $x = 0,04$  m  $< 0,46$  m =  $x_{max}$   
 Moment na mezi únosnosti  $M_{Rd} = 491,98$  kNm  $> 5,52$  kNm =  $M_{Ed}$

**Průřez VYHOVUJE.**

**Posouzení základu na protlačení**

Normálová síla v sloupu = 33,74 kN

**Maximální únosnost na obvodu sloupu**

Síla přenesená roznášením do zákl. půdy = 0,96 kN  
 Síla přenášená smykovou pevností patky = 32,78 kN

Uvažovaný obvod sloupu  $u_0 = 0,96$  m  
 Smykové napětí na obvodu sloupu  $v_{Ed,max} = 0,30$  MPa  
 Únosnost na obvodu sloupu  $v_{Rd,max} = 2,94$  MPa

**Kritický průřez bez smykové výztuže**

Síla přenesená roznášením do zákl. půdy = 14,85 kN  
 Síla přenášená smykovou pevností patky = 18,89 kN  
 Vzdálenost průřezu od sloupu = 0,38 m  
 Délka průřezu  $u = 3,33$  m  
 Smykové napětí na průřezu  $v_{Ed} = 0,03$  MPa  
 Únosnost nevyztuženého průřezu  $v_{Rd,c} = 1,17$  MPa

$v_{Ed} < v_{Rd,c} \Rightarrow$  Výztuž není nutná

**Základ na protlačení VYHOVUJE**

## 6. Okapový žlab

Výpočet velikosti střešního žlabu pomocí: <https://voda.tzb-info.cz/tabulky-a-vypocty/88-vypocet-velikosti-stresniho-zlabu> rozměry viz technický list

PODOKAPNÍ, NÁSTŘEŠNÍ A NADŘÍMSOVÉ ŽLABY		
<b>MNOŽSTVÍ ODVÁDĚNÝCH DEŠŤOVÝCH VOD</b>		
Součinitel odtoku	C = 1 ???	
Intezita deště	r = 0.03 l/s.m <sup>2</sup> ???	
<b>Odvodňovaná plocha střechy</b>		
Délka odvodňované střechy (žlabu)	L <sub>R</sub> = 25 m	
Šířka odvodňované střechy	B <sub>R</sub> = 14 m	
Odvodňovaná plocha střechy	A = 350 m <sup>2</sup> ???	

Žlab s příčným profilem čtvercovým, lichoběžníkovým a podobným		
Sklon žlabu	sklon 10 mm/m	
Celková hloubka žlabu	Z = 121 mm	
Návrhová hloubka	W = 110 mm	
Šířka žlabu při návrhové hloubce	T = 200 mm	
Šířka dna žlabu	S = 200 mm	
<div style="border: 1px solid orange; padding: 5px; display: inline-block;">           VYPOČÍTAT AE         </div>		
Celkový příčný profil žlabu	AE = 22000 mm <sup>2</sup> ???	
<input type="checkbox"/> Žlab má alespoň jeden kout s úhlem > 10°		
<input type="checkbox"/> Žlab je na výtoku vybaven sítkem nebo lapačem střešních splavenin		
<b>Dovolený odtok žlabu Q<sub>dov</sub> = 12.78 l/s ≥ 10.5 l/s =&gt; VYHOVUJE</b>		



# ČESKÉ VYSOKÉ UČENÍ TECHNICKÉ V PRAZE

Fakulta stavební

Katedra ocelových a dřevěných konstrukcí



**BAKALÁŘSKÁ PRÁCE**

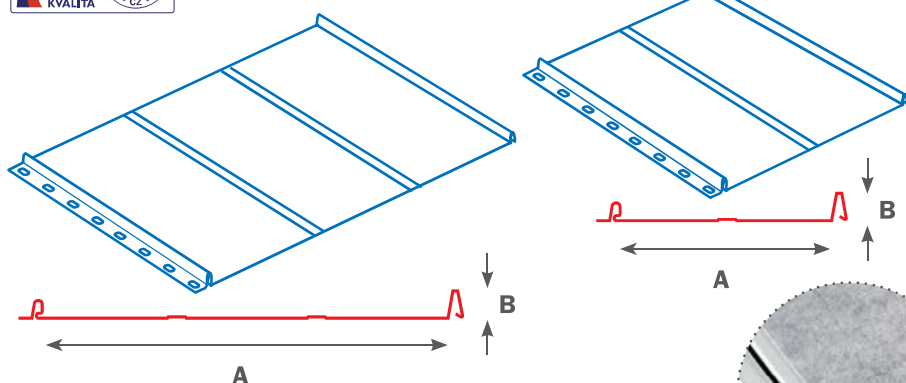
**JÍZDÁRNA**

Kvalitní ocelová  
střešní krytina



velkoformátová krytina

## SATJAM Rapid ocelová střešní krytina








### VARIANTY OCELOVÉ STŘEŠNÍ KRYTINY

SATJAM Rapid vyrábíme v osmi variantách. Vybrat si můžete ze dvou šířek (510 nebo 310 milimetrů), různých modifikací a jejich kombinací – se zástřihem, bez zástřihu, s prolisem nebo bez prolisu. Více informací na [www.satjam.cz](http://www.satjam.cz).



**Soundcontrol™** je speciální protihluková úprava, která podle laboratorních měření snižuje hlučnost krytiny přibližně o 6 decibelů. Přináší tak lepší akustickou pohodu například v obytných podkrovích. Tuto tlumivou vložku můžete objednat pro krytinu SATJAM Rapid 510 z většiny materiálů (v hliníkové variantě pouze v provedení z AluFalc).

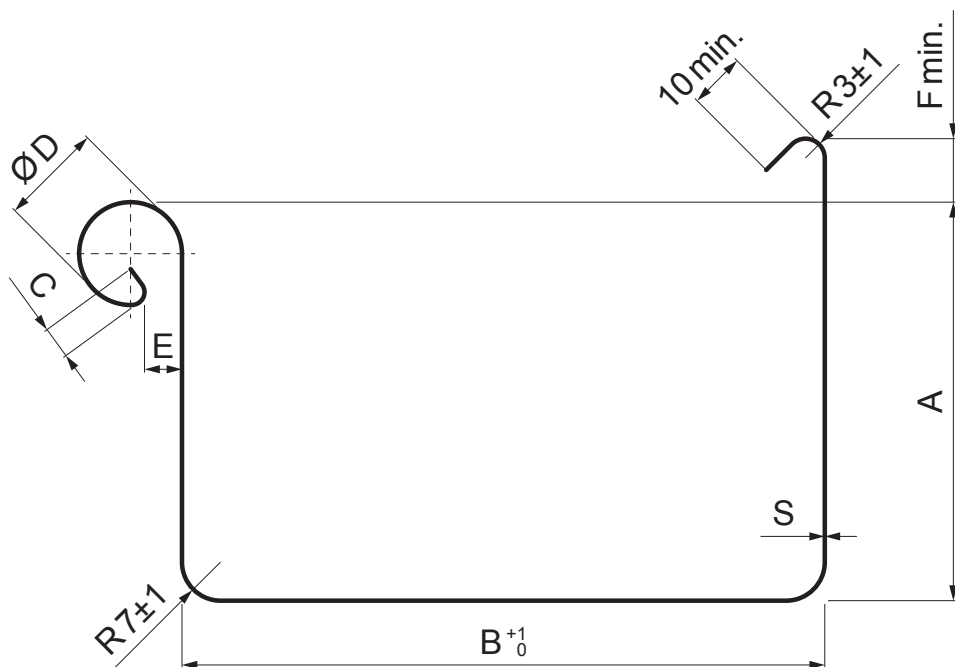
### TECHNICKÉ PARAMETRY OCELOVÉ STŘEŠNÍ KRYTINY

- |  |  |  |   |
|--|--|--|---|
|  <b>Stavební šířka (A)</b><br>510/310 mm |  <b>Tloušťka plechu</b><br>0,5 mm; 0,63 mm                                |  <b>Max. výrobní délka</b><br>9 000 mm pro 510<br>10 000 mm pro 310               |  <b>Sklon použití od</b><br>8°           |
|  <b>Výška zámku (B)</b><br>25 mm         |  <b>Hmotnost</b><br>cca 4,3 kg/m <sup>2</sup> ; cca 5,4 kg/m <sup>2</sup> |  <b>Min. výrobní délka</b><br>1 200 mm při tl. 0,5 mm<br>1 500 mm při tl. 0,63 mm |  <b>Barvy a povrchy</b><br>viz strana 34 |

TECHNICKÝ LIST

# STREŠNÝ ŽĽAB HRANATÝ [s=0,55]

## PH-PZH D



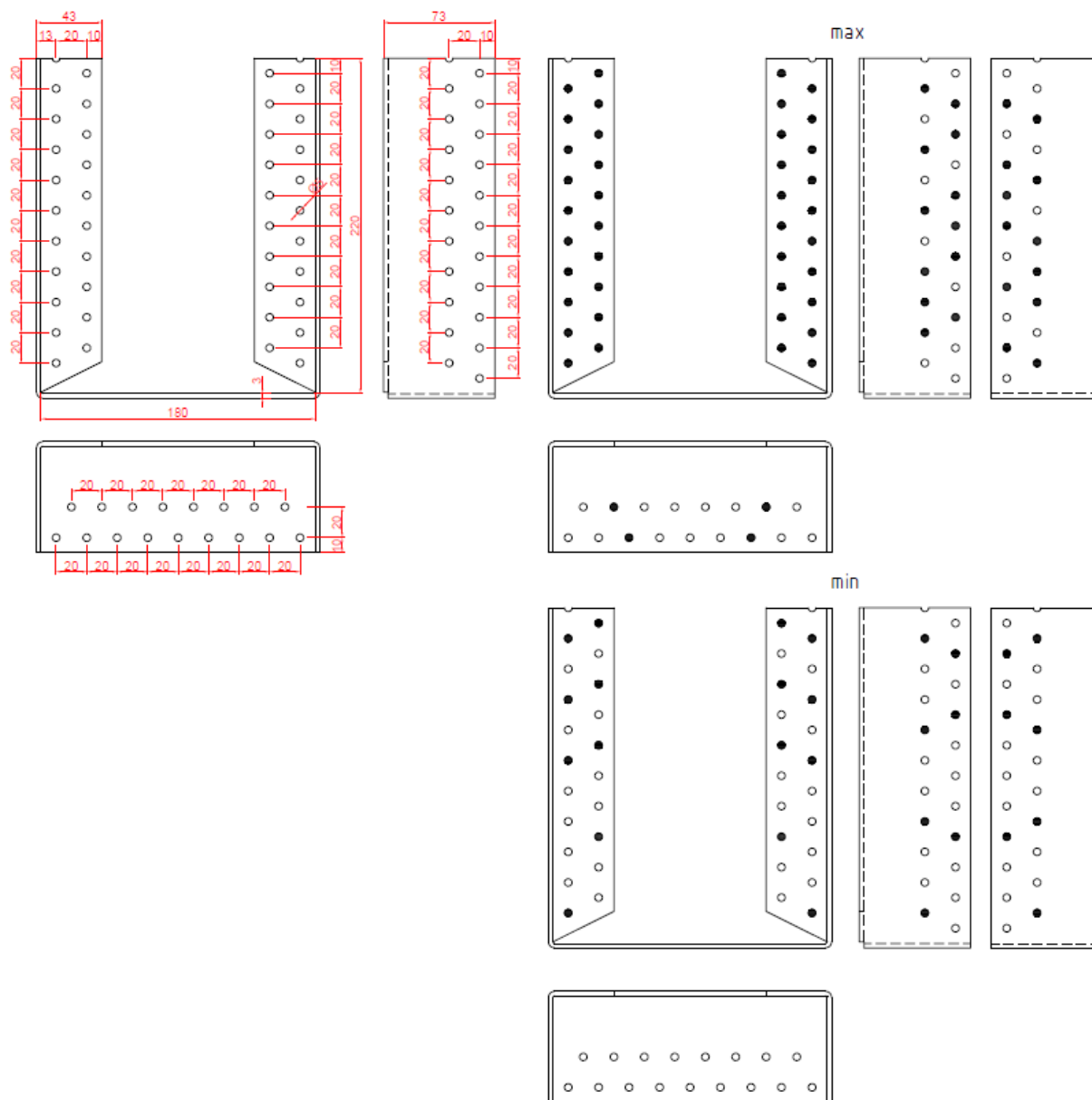
**USS** Pozink – U. S. Steel

Rozmery [mm]							
Menovitá veľkosť	S	A	B	C	ØD	E	F min.
200	0,55	42	70	5	16	5	8
250	0,55	55	85	7	18	5	10
333	0,55	75	120	7	20	6	11
400	0,55	90	150	9	22	6	11
500	0,55	110	200	9	22	6	11

INDEX	ZMENA	DATUM	PODPIS	<b>KJG</b> QUALITY®	Scan code for 3D model
ZN. MAT.	ROZM.–POLOT	T.O.	HMOTNOSŤ kg		
POM. ZAR.	VYPR. Ing. Kluska M.	POZN.	STARÝ V.	Č. POZÍCIE	
TECHNOL.	TECHNOL.	Č.V.			
NÁZOV	Strešný žľab hranatý [s=0,55]		Počet listov	PH-PZH D	List

Technické zmeny vyhradené

## Třmen BV/T 11-41 /180x220



Charakteristické hodnoty únosnosti [kN]:

Třmen	Směr 2	
	Trimmer connection	
	prohřebíkování	
	max	min
BV/T 11-41 /180x220	36,24	19,39

# Napínání pomocí zařízení Macalloy TechnoTensioner

Společnost Macalloy byla vždy na vysoké technické úrovni v oblasti konstrukčních systémů předpjatých táhel a byla průkopníkem ve vývoji metod jejich předpínání. Její pracovníci si již dlouho uvědomovali potřebu měření velikosti předpětí v táhle a proto bylo vyvinuto pro praktické použití patentované zařízení Macalloy TechnoTensioner.

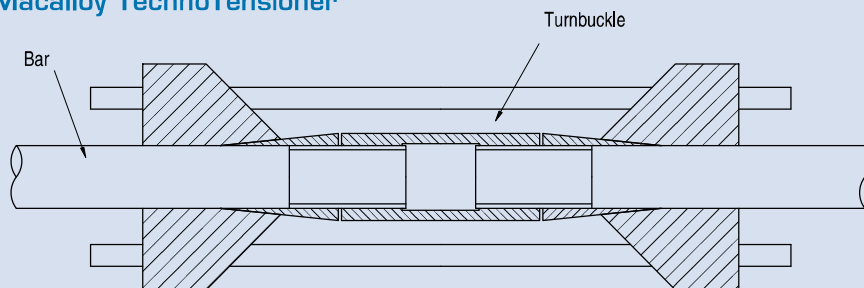
Hydraulická napínací jednotka může být umístěna na standardní napínákový spoj a je připevněna na kónickou pojistnou matici po obou stranách napínáku. Pomocí zařízení TechnoTensioner je pak do táhla vneseno předpětí, měřitelné s přesností  $\pm 2,5\%$ .

Zařízení TechnoTensioner je možno v případě potřeby pronajmout. Nutnou podmínkou jeho použití je ale dozor specialisty, vyškoleného přímo firmou Macalloy.



Zařízení TechnoTensioner na londýnském mostě Millennium Bridge, VB

## Macalloy TechnoTensioner



Předpínací systém byl původně vyvinut pro projekt 88 Wood Street v Londýně v roce 1997. Od té doby byl úspěšně použit na četných projektech po celém světě např. u staveb:

- Multifunkční aréna Sazka v Praze
- londýnský most Millennium Bridge, VB
- mnichovské letištní středisko, Německo
- Terminal 2 mnichovského letiště, Německo
- most ve Wroclowě, Polsko
- budova Rady Tsing Yi, Hong Kong

- hlavní tribuna Newmarket, VK
- stadion Millennium Stadium, Cardiff, VB
- nádraží Flintholm, Dánsko
- pěší most v Dorenez, Švýcarsko
- pěší most River Tees, Stockton, VB
- velký dvůr Arundel, Londýn, VB
- Mid City Place, Londýn, VB
- centrum Deansgate Centre, Manchester, VB

Důležitá poznámka: pro nerezové systémy by TechnoTensioner měl být používán pouze po konzultaci se společností Macalloy.

## Expo 2000 Brucken, Hannover

Foto:  
Jurgen Schmidt

Architekt:  
gmp, von Gerkan, Marg & Partner

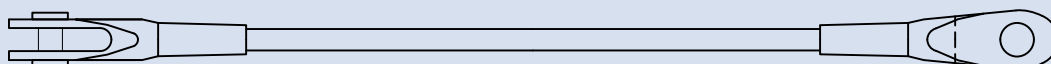
Projektant:  
Schlaich, Bergermann & Partner

Dodavatel ocelové konstrukce:  
Noell Stahl- und Maschinenbau GmbH



Tabulka 1: Vlastnosti táhel Macalloy ve standardním provedení a v nerez provedení

Závít	jednotka	M10	M12	M16	M20	M24	M30	M36	M42	M48	M56	M64	M76	M85	M90*	M100*
Průměr táhla	mm	10	11	15	19	22	28	34	39	45	52	60	72	82	87	97
Minimální mez kluzu	kN	25	36	69	108	156	249	364	501	660	912	1204	1756	2239	2533	3172
Minimální mez pevnosti	kN	33	48	91	143	207	330	483	665	875	1209	1596	2329	2969	3358	4206
Hmotnost táhla	Kg/m	0,50	0,75	1,40	2,20	3,00	4,80	7,10	9,40	12,50	16,70	22,20	32,00	41,50	46,70	58,00



## Únosnost táhel Macalloy dle českých technických norem

Systém táhel Macalloy je navržen tak, aby v mezním stavu únosnosti došlo nejdříve k porušení průřezu táhla v závitové části tyče před porušením ostatních částí systému. Návrhová únosnost táhel vychází z řady testů na skutečných výrobcích. Tyto testy byly provedeny v souladu s přílohou „Y“ ČSN P ENV 1993-1-1/94 a byly vyhodnoceny podle přílohy „Z“ této normy.

Návrhová únosnost, stanovená podle původních britských podkladů, vychází z hodnoty parciálního součinitele bezpečnosti  $g_{R2} = 1.25$ . Vzhledem k nižší úrovni hodnot součinitelů zatížení  $g_f$  podle českých norem doporučujeme použít hodnotu  $g_{R2} = 1.30$ . Únosnost táhel Macalloy  $N_{u,Rd}$  je pro jednotlivé průřezy uvedena v tabulce 1. Vzhledem k tomu, že poměr  $f_u g_{m0} / (f_y g_{R2})$  má v případě táhel Macalloy hodnotu 1.17 (což je méně než nejmenší součinitel zatížení  $g_{f, min} = 1,20$ ), nemůže dojít v mezním stavu použitelnosti k plastifikaci.

Pro některé modely konstrukcí však může být výjimečně požadavek plně elastického působení (i lokálního) i v mezním stavu únosnosti. Pro tyto případy je hodnota návrhové únosnosti  $N_{el,Rd}$  dána v tabulce 1.

Závit	M10	M12	M16	M20	M24	M30	M36	M42	M48	M56	M64	M76	M85	M90	M100
d (mm)	9	11	15	19	22	28	34	39	45	52	60	72	82	87	97
$A_{net}$ (mm <sup>2</sup> )	54	79	150	234	339	541	793	1090	1434	1982	2616	3818	4867	5505	6895
$N_{u,Rd}$ (kN)	25,4	36,9	70,0	110,0	159	254	372	512	673	930	1228	1791	2283	2583	3235
$N_{el,Rd}$ (kN)	22,7	32,7	62,7	98,2	142	226	331	455	600	829	1095	1596	2035	2303	2884

Tab. 1

V případě použití táhel Macalloy jako části šroubového spoje (tj spoje, kde není rozdělení sil na jednotlivé prvky zcela jednoznačné nebo tam kde jsou užity i jiné nosné komponenty než ze systému Macalloy) je třeba užít parciální součinitel bezpečnosti pro šrouby  $g_{Mb} = 1.45$  a únosnost stanovit ze vztahu

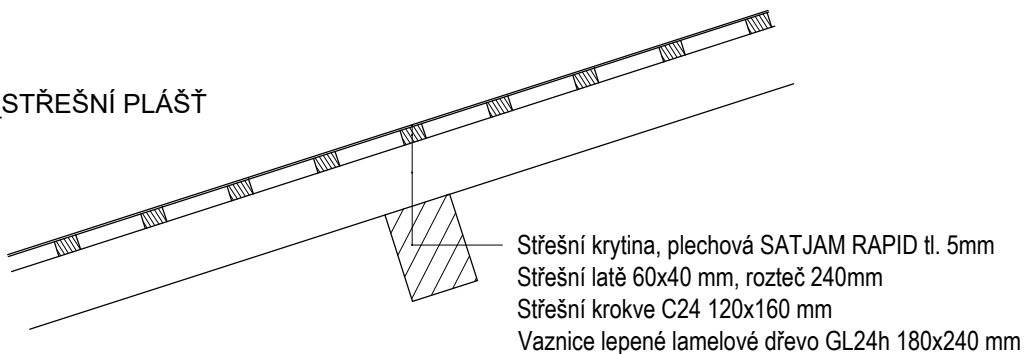
$$N_{u,Rd} = 0.9 A_{net} f_u / g_{Mb} > N_{sd} \quad (1)$$

V případě použití táhel Macalloy jako kotevních šroubů je únosnost dle vztahu (1) navíc redukována součinitelem  $b_b$ , který se zatím uvažuje podle ČSN 73 1401/98 hodnotou 0,80. (4)

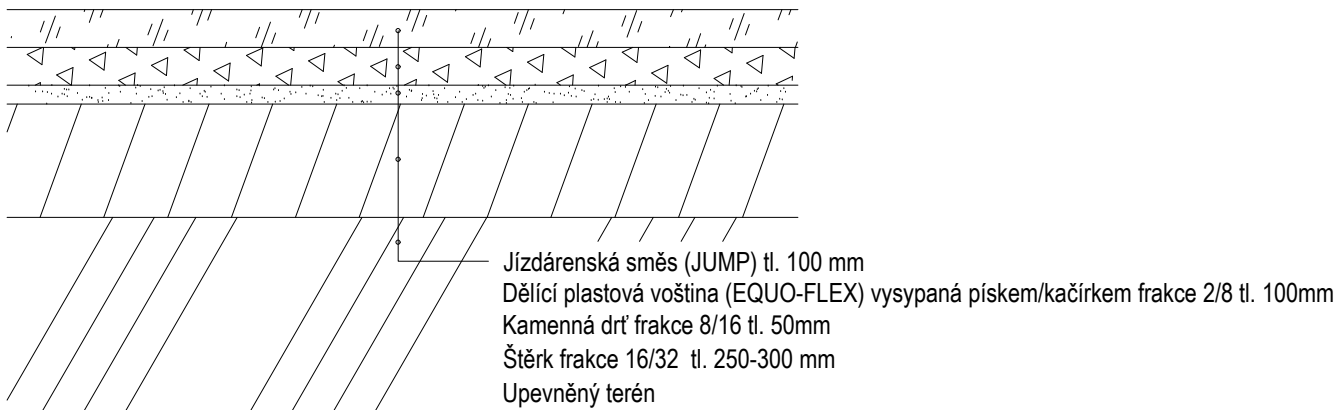
$$N_{u,Rd} = b_b 0.9 A_{net} f_u / g_{Mb} > N_{sd} \quad (2)$$

- $g_{m0}$  - parciální součinitel bezpečnosti, uvažuje se hodnotou 1,15 (resp. pro stanovení hodnoty  $N_{el,Rd}$  hodnotou 1.10)
- $g_{m2}$  - parciální součinitel bezpečnosti, uvažuje se hodnotou 1,30
- $d$  - nominální průměr průřezu (mm)
- $A$  - plocha průřezu, vypočtená z nominální průměru průřezu  $d$ , viz tab. 1
- $A_{net}$  - plocha oslabeného průřezu závitěm podle BS 3580 podle tab. 1
- $f_y$  - mez kluzu materiálu Macalloy S460, pro celý rozsah profilů uvažovaná hodnotou 460 N/mm<sup>2</sup>
- $f_u$  - mez pevnosti materiálu Macalloy S460, pro celý rozsah profilů uvažovaná hodnotou 610 N/mm<sup>2</sup>

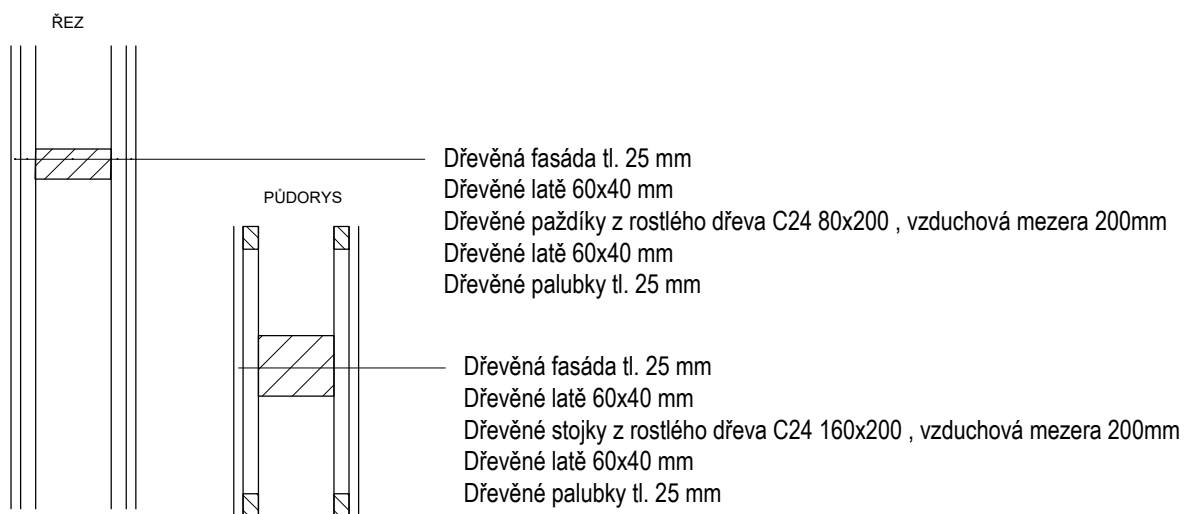
### S1\_STŘEŠNÍ PLÁŠŤ



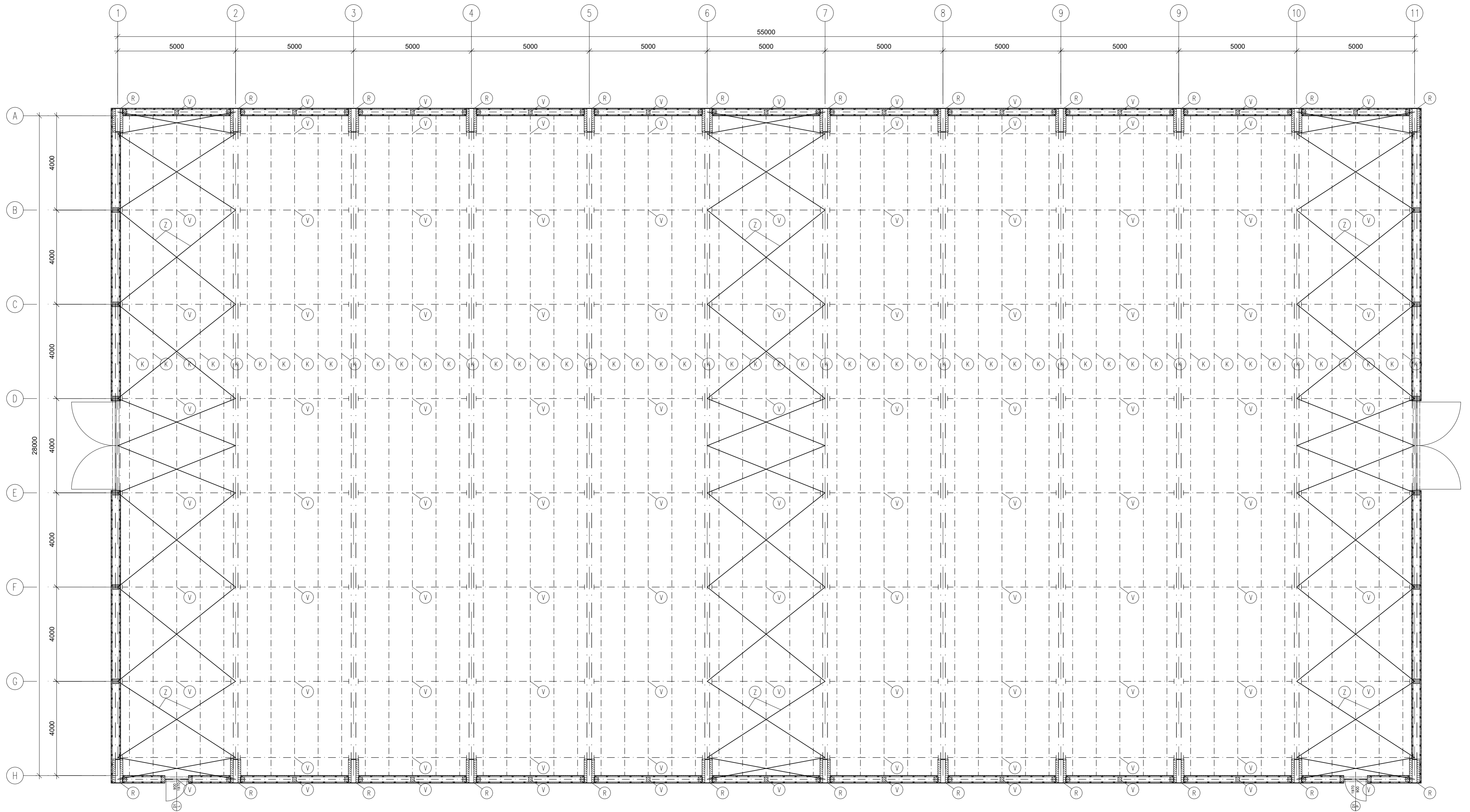
### S2\_PODLAHA



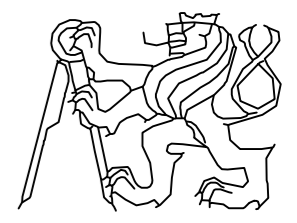
### S3\_OBVODOVÝ PLÁŠŤ



Zpracovala: BARBORA ŘÍHOVÁ	Vedoucí práce: Ing. ANNA KUKLÍKOVÁ, Ph.D.	Školní rok: 2022/2023	
Předmět: BAKALÁŘSKÁ PRÁCE			
NÁZEV ÚLOHY  JÍZDÁRNA			
NÁZEV VÝKRESU SKLADBY KONSTRUKCÍ			
		FORMÁT MĚŘÍTKO DATUM	A4 1:20 03/23
		ČÍSLO VÝKRESU	1.

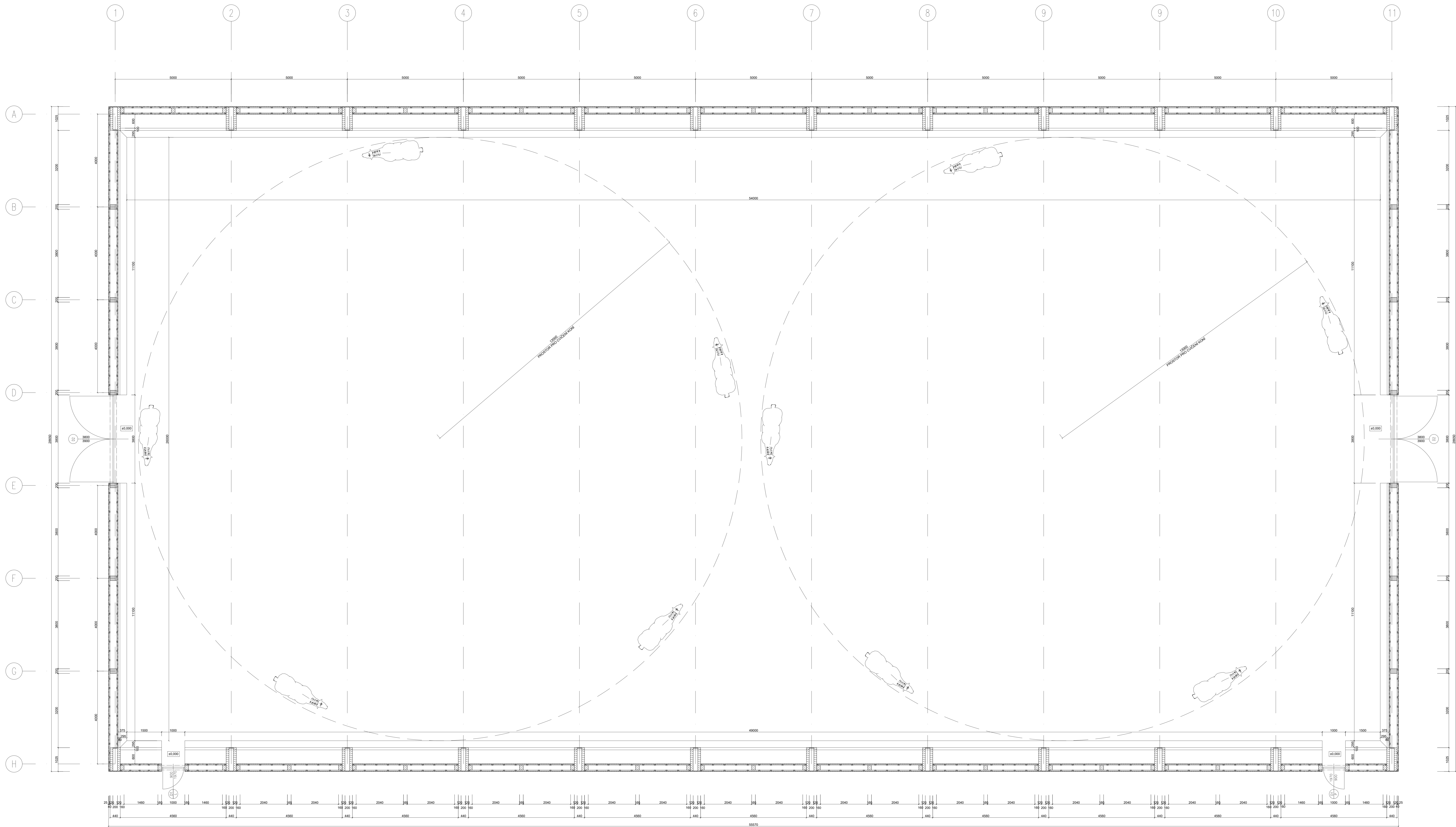


- (V) Vaznice lepené lamelové dřevo GL24h 180x240 mm
- (K) Střešní krokev C24 120x160 mm
- (R) Rám lepené lamelové dřevo GL24h
- (Z) Ocelové ztužidlo

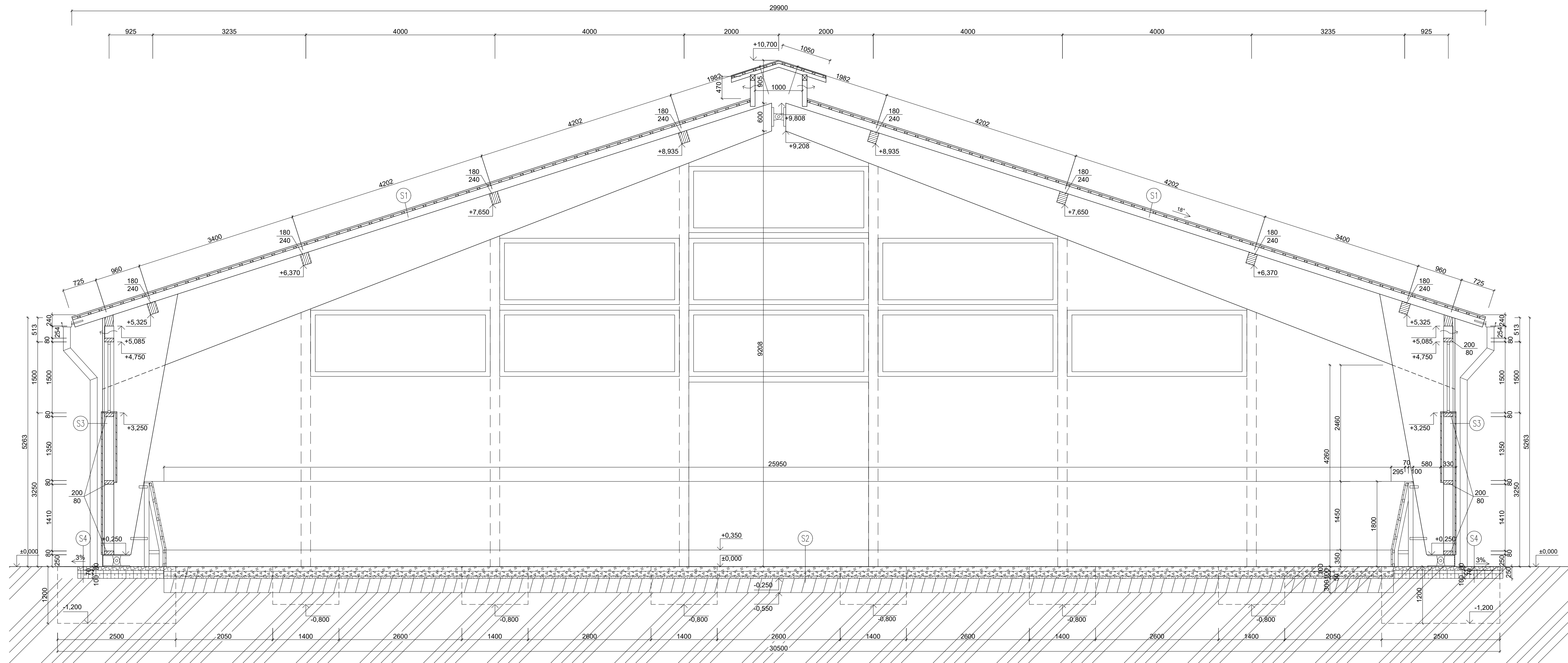
Zpracovala: BARBORA ŘÍHOVÁ	Vedoucí práce: Ing. ANNA KUKLÍKOVÁ, Ph.D.	Školní rok: 2022/2023	
Předmět: BAKALÁŘSKÁ PRÁCE			
NÁZEV ÚLOHY			
<b>JÍZDÁRNA</b>			
NÁZEV VÝKRESU			FORMÁT 420x800
<b>KONSTRUKČNÍ PŮDORYS</b>			MĚŘÍTKO 1:100
			DATUM 03/23
			ČÍSLO VÝKRESU <b>2.</b>







Zpracovala: BARBORA RIŠKOVÁ	Vedoucí práce: Ing. ANNA KUKLIKOVÁ, Ph.D.	Školní rok: 2022/2023
Předmět: BAKALÁŘSKÁ PRÁCE		
NÁZEV ÚLOHY		
JÍZDÁRNA		
FORMÁT: A4	ŠKALA: 1:50	ČÍSLO VÝKRESU: 4.
MĚŘÍTKO: 1:50	DATAUM: 03/23	
NÁZEV VÝKRESU: PŮDORYS	ČÍSLO VÝKRESU: 4.	



**LEGENDA MATERIÁLŮ:**

-  Lepené lamelové dřevo GL24h
-  Jízdárenská směs
-  Voština naplněná kačirkem
-  Kamenná drť frakce 8/16 mm
-  Štěrka frakce 16/32 mm
-  Původní zemina
-  Betonová dlažba
-  Štěrka frakce 4/6 mm
-  Štěrka frakce 0/64 mm

**SKLADBY KONSTRUKCÍ:**

- S1**
- Střešní krytina, plechová SATJAM RAPID tl. 5mm
  - Střešní latě 60x40 mm
  - Střešní krokve C24 120x160 mm
  - Vaznice lepené lamelové dřevo GL24h 180x240 mm
- S2**
- Jízdárenská směs (JUMP) tl. 100 mm
  - Dělicí plastová voština (EQUO-FLEX) vysypaná pískem/kačirkem frakce 2/8 tl. 100mm
  - Kamenná drť frakce 8/16 tl. 50mm
  - Štěrka frakce 16/32 tl. 250-300 mm
  - Upevněný terén

- S3**
- Dřevěná fasáda tl. 25 mm
  - Dřevěné latě 60x40 mm
  - Dřevěné paždíkky z rostlého dřeva 200x60 , vzduchová mezera 200mm
  - Dřevěné latě 60x40 mm
  - Dřevěné palubky tl. 25 mm
- S4**
- Betonová dlažba ve spádu 3% od stavby tl. 80mm
  - Štěrka frakce 4/6 tl. 70 mm
  - Štěrka frakce 0/64 tl. 100 mm
  - Původní zemina typu S3

Zpracovala: BARBORA ŘÍHOVÁ	Vedoucí práce: Ing. ANNA KUKLÍKOVÁ, Ph.D.	Školní rok: 2022/2023
-------------------------------	--	--------------------------

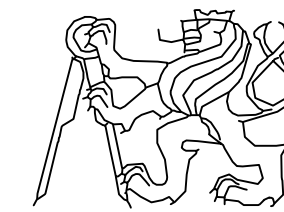
Předmět: BAKALÁŘSKÁ PRÁCE

NÁZEV ÚLOHY

JÍZDÁRNA

NÁZEV VÝKRESU

PŘÍČNÝ ŘEZ



FORMÁT 420x670

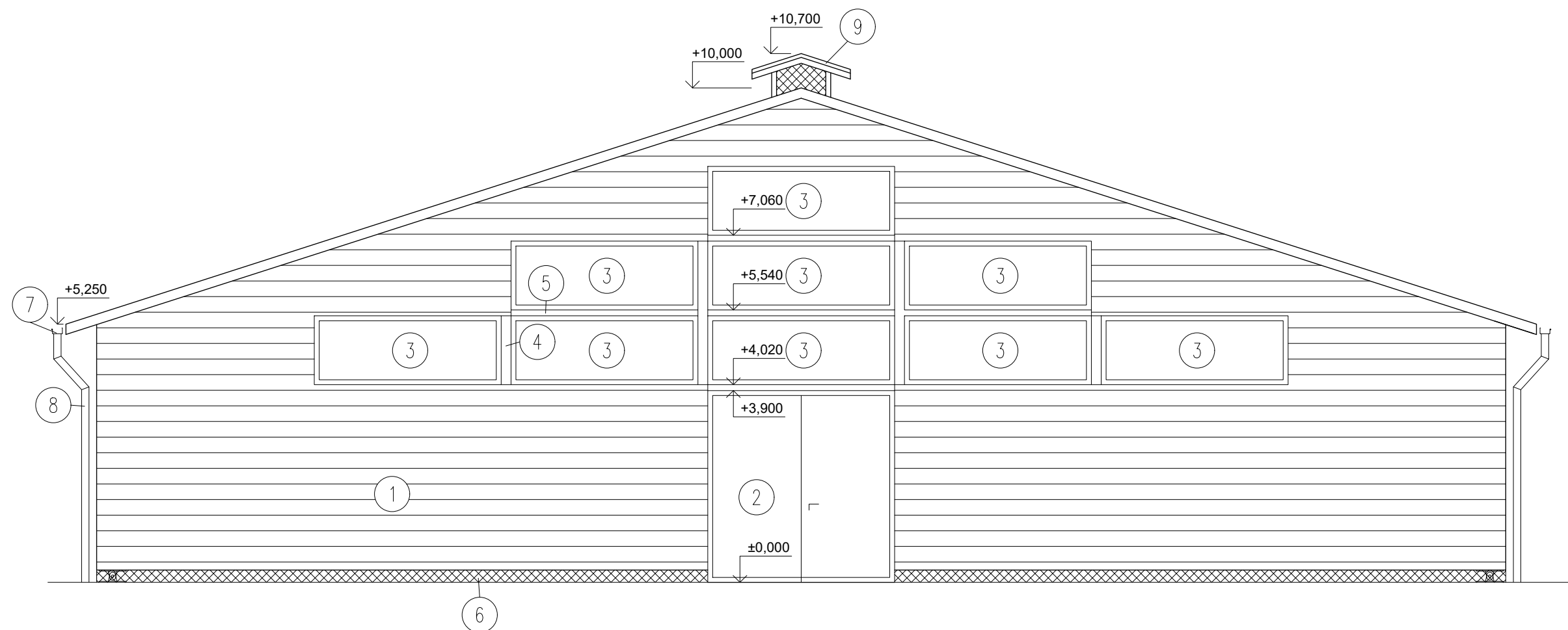
MĚŘÍTKO 1:50

DATUM 03/23

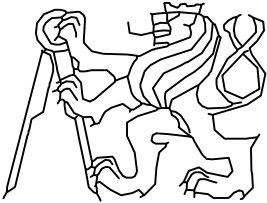
ČÍSLO VÝKRESU

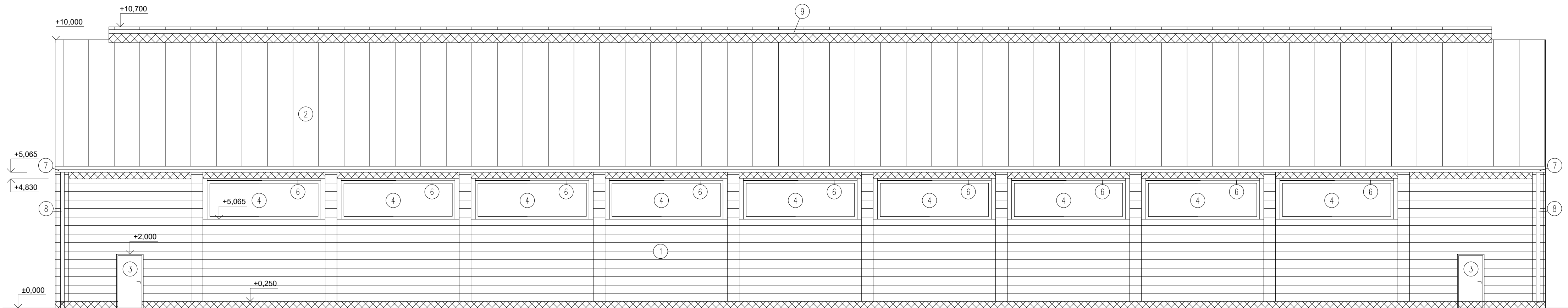
5.



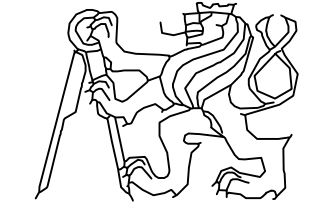


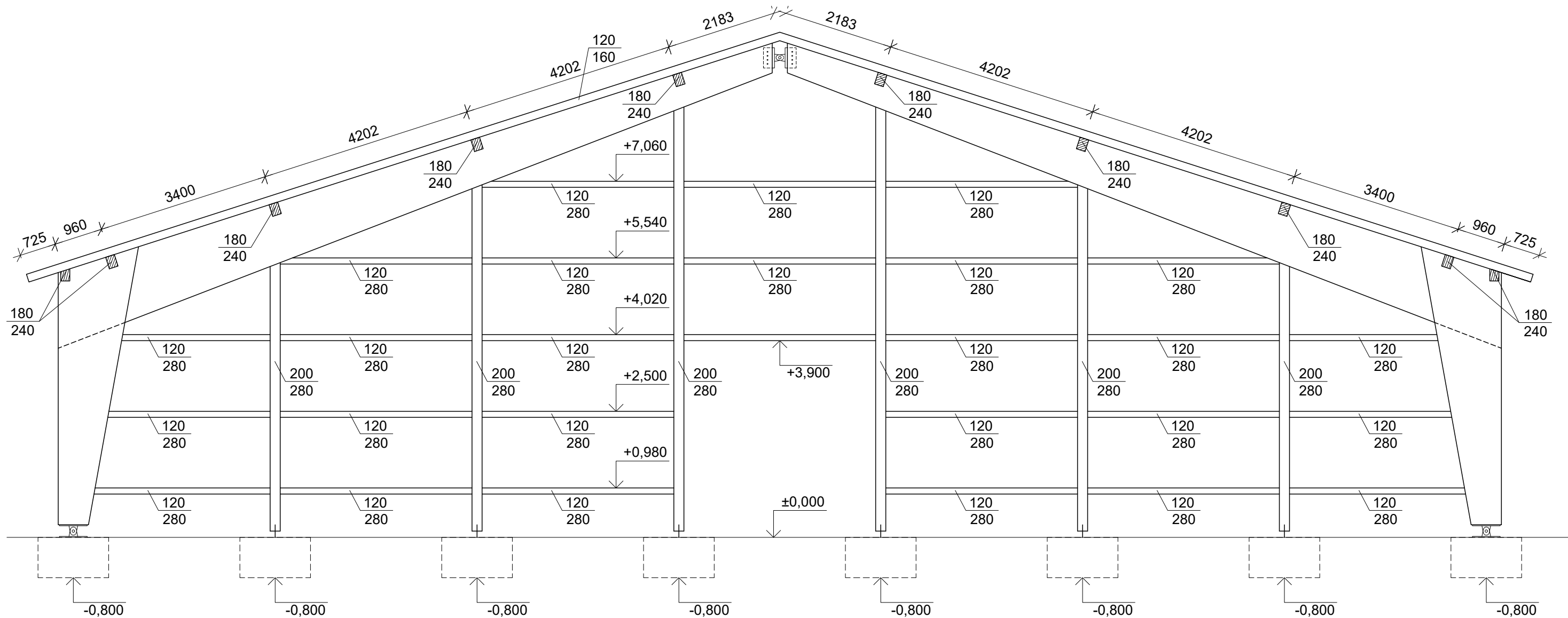
- ① DŘEVĚNÁ FASÁDA
- ② DŘEVĚNÁ VRATA DVOUKŘÍDLOVÁ 3800x3900
- ③ DŘEVĚNÁ NEOTVÍRAVÁ OKNA 3800x1400
- ④ ŠTÍTOVÝ SLOUP 200x280 GL24h
- ⑤ DŘEVĚNÝ PAŽDÍK 360x120 GL24h
- ⑥ OCELOVÁ OCHRANNÁ MŘÍŽKA
- ⑦ HLINÍKOVÝ OKAPOVÝ ŽLAB ø200
- ⑧ HLINÍKOVÝ OKAPOVÝ SVOD ø150
- ⑨ DŘEVĚNÝ STRĚŠNÍ SVĚTLÍK

Zpracovala: BARBORA ŘÍHOVÁ	Vedoucí práce: Ing. ANNA KUKLÍKOVÁ, Ph.D.	Školní rok: 2022/2023	
Předmět: BAKALÁŘSKÁ PRÁCE			
NÁZEV ÚLOHY  <b>JÍZDÁRNA</b>			
NÁZEV VÝKRESU <b>POHLED PŘÍČNÝ - JIŽNÍ</b>			FORMÁT A3
			MĚŘÍTKO 1:100
			DATUM 03/23
			ČÍSLO VÝKRESU <b>7.</b>



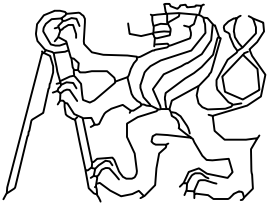
- ① DŘEVĚNÁ FASÁDA
- ② DŘEVĚNÁ VRATA DVOUKŘÍDLOVÁ 3800x3900
- ③ DŘEVĚNÁ NEOTVÍRAVÁ OKNA 3800x1400
- ④ ŠTÍTOVÝ SLOUP 200x280 GL24h
- ⑤ DŘEVĚNÝ PAŽDÍK 360x120 GL24h
- ⑥ OCELOVÁ OCHRANNÁ MŘÍŽKA
- ⑦ HLINÍKOVÝ OKAPOVÝ ŽLAB dl. 200
- ⑧ HLINÍKOVÝ OKAPOVÝ SVOD ø150
- ⑨ DŘEVĚNÝ STŘEŠNÍ SVĚTLÍK

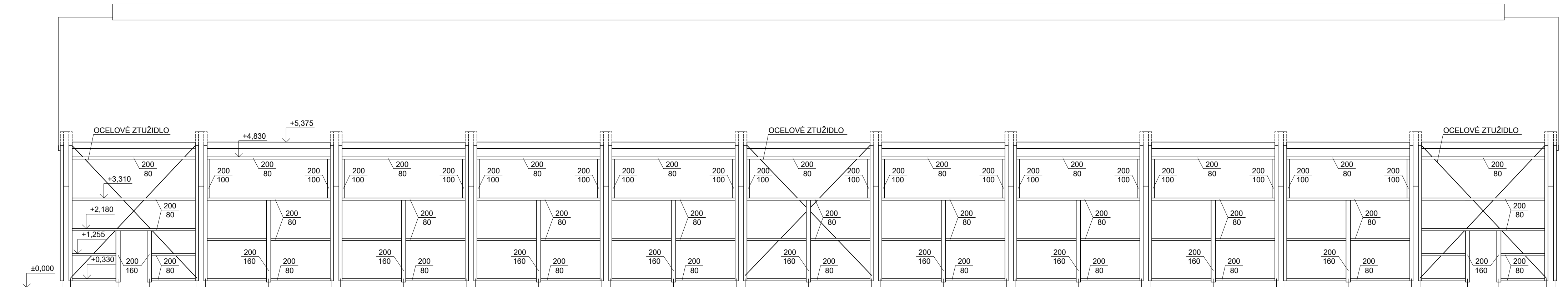
Zpracovala: BARBORA ŘÍHOVÁ	Vedoucí práce: Ing. ANNA KUKLÍKOVÁ, Ph.D.	Školní rok: 2022/2023	
Předmět: BAKALÁŘSKÁ PRÁCE			
NÁZEV ÚLOHY  <b>JÍZDÁRNA</b>			
NÁZEV VÝKRESU <b>POHLED PODÉLNÝ- VÝCHODNÍ</b>			FORMÁT 297x570 MĚŘÍTKO 1:100 DATUM 03/23 ČÍSLO VÝKRESU <h1 style="text-align: center;">8.</h1>



**Poznámka:**

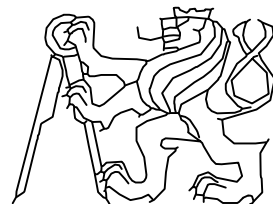
Vaznice GL24h 180x240 mm  
 Štítový sloup GL24h 200x280 mm  
 Krokve C24 120x160 mm  
 Dřevěné paždíky C24

Zpracovala: BARBORA ŘÍHOVÁ	Vedoucí práce: Ing. ANNA KUKLÍKOVÁ, Ph.D.	Školní rok: 2022/2023	
Předmět: BAKALÁŘSKÁ PRÁCE			
NÁZEV ÚLOHY  JÍZDÁRNA			
NÁZEV VÝKRESU KONSTRUKČNÍ POHLED PŘÍČNÝ			
		FORMÁT A3	ČÍSLO VÝKRESU  9.
		MĚŘÍTKO 1:80	
		DATUM 03/23	

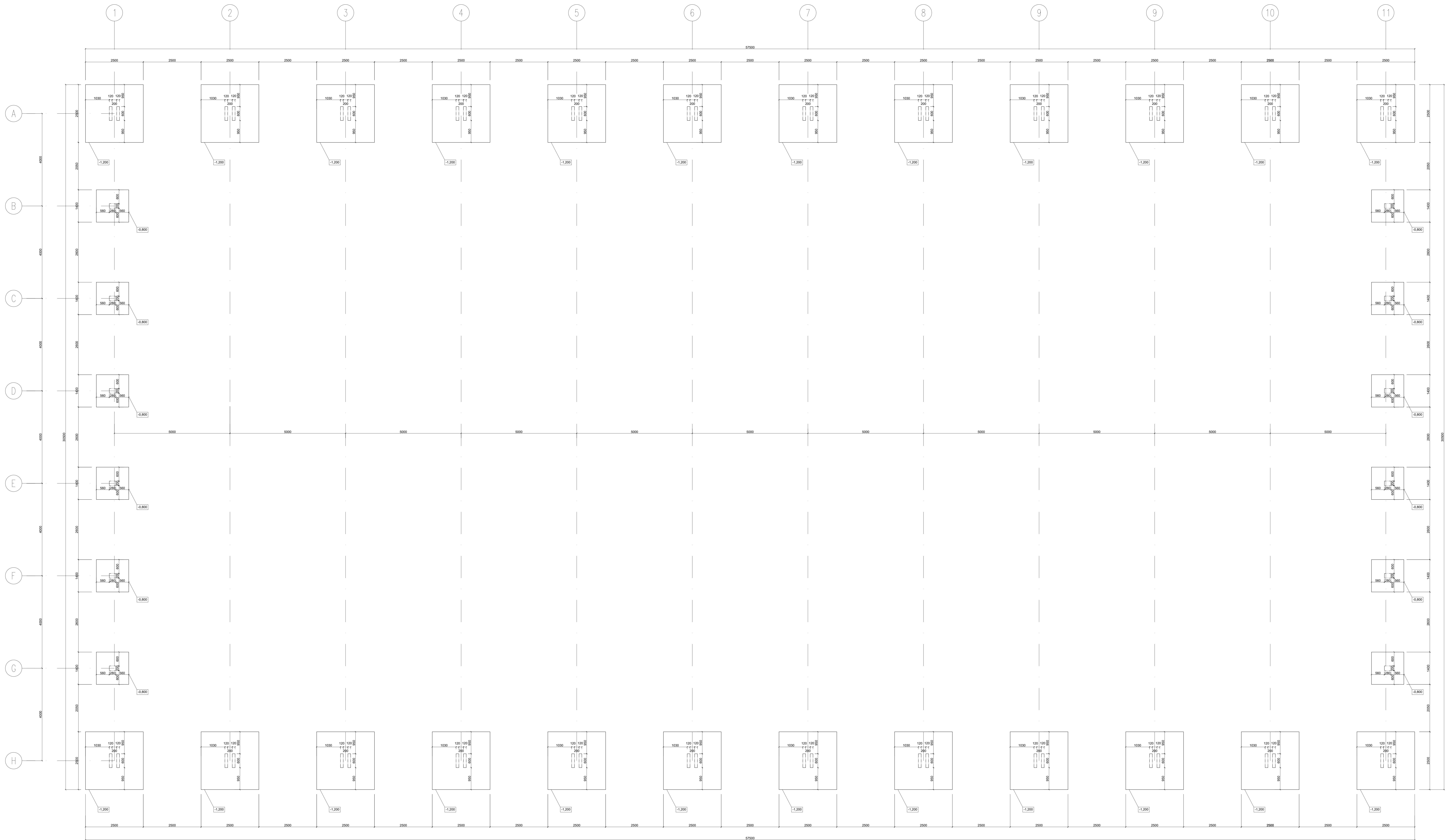


**Poznámka:**

Ocelové ztužidlo - Táhlo MACALLOY S460 - M20,  $\varnothing$  19mm  
 Dřevěné paždíky C24

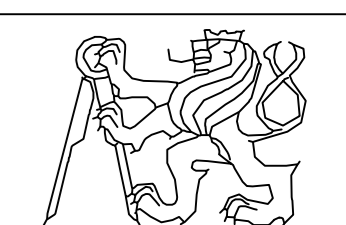
Zpracovala: BARBORA ŘÍHOVÁ	Vedoucí práce: Ing. ANNA KUKLÍKOVÁ, Ph.D.	Školní rok: 2022/2023	
Předmět: BAKALÁŘSKÁ PRÁCE			
NÁZEV ÚLOHY  <b>JÍZDÁRNA</b>			
NÁZEV VÝKRESU <b>KONSTRUKČNÍ POHLED PODÉLNÝ</b>			FORMÁT 297x570 MĚŘÍTKO 1:100 DATUM 03/23 ČÍSLO VÝKRESU <b>10.</b>





**Poznámka:**  
 Beton C20/25  
 -horní hrana základu ±0.000  
 -základové patky pod rámy 2,5 x 2,5 x 1,2m  
 -základové patky pod sítovými sloupy 1,4 x 1,4 x 0,8m

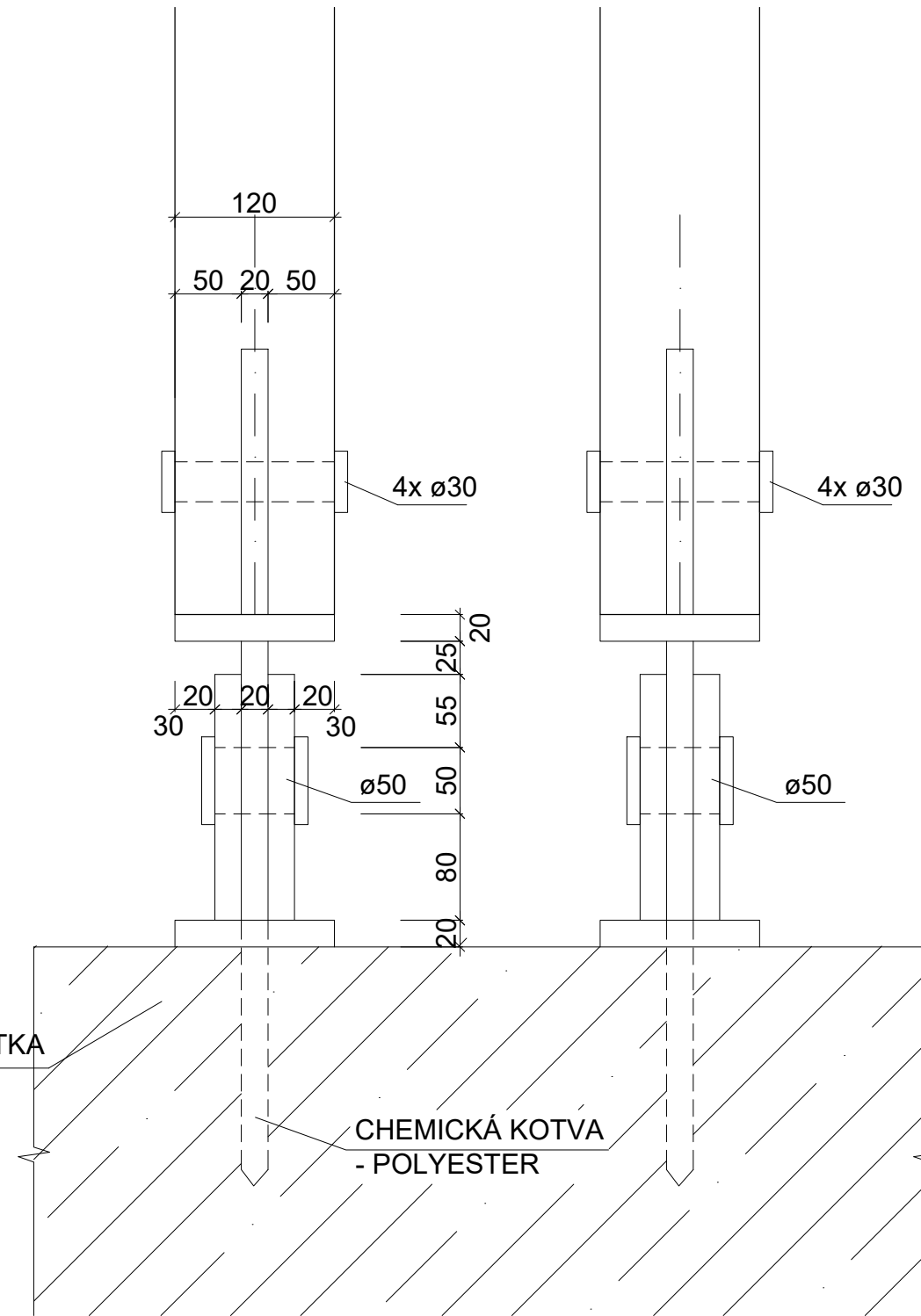
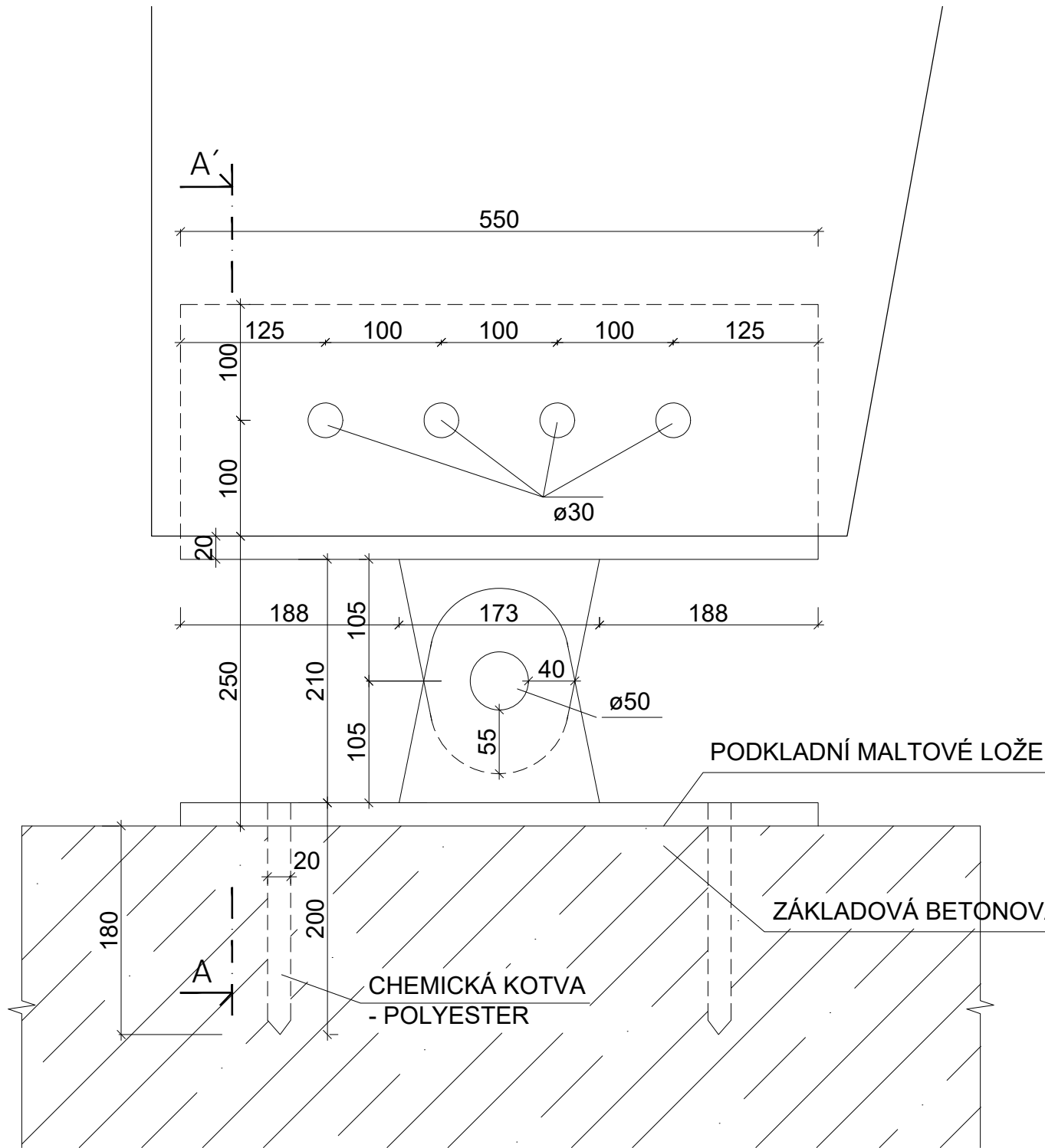
Zpracovala: BARBORA RIŠKOVÁ	Vedoucí práce: Ing. ANNA KUKLIKOVÁ, Ph.D.	Školní rok: 2022/2023
Předmět: BAKALÁŘSKÁ PRÁCE		
NÁZEV ÚLOHY		
<b>JÍZDÁRNA</b>		
NÁZEV VÝKRESU <b>ZÁKLADY</b>	FORMÁT B0/0 x B0/0	MĚŘÍTKO 1:50
	DATUM 03/23	ČÍSLO VÝKRESU 11.





# DETAIL PATNÍHO KLOUBU

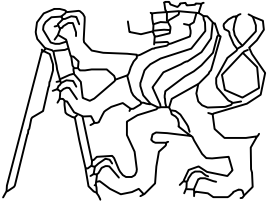
# ŘEZ A-A'



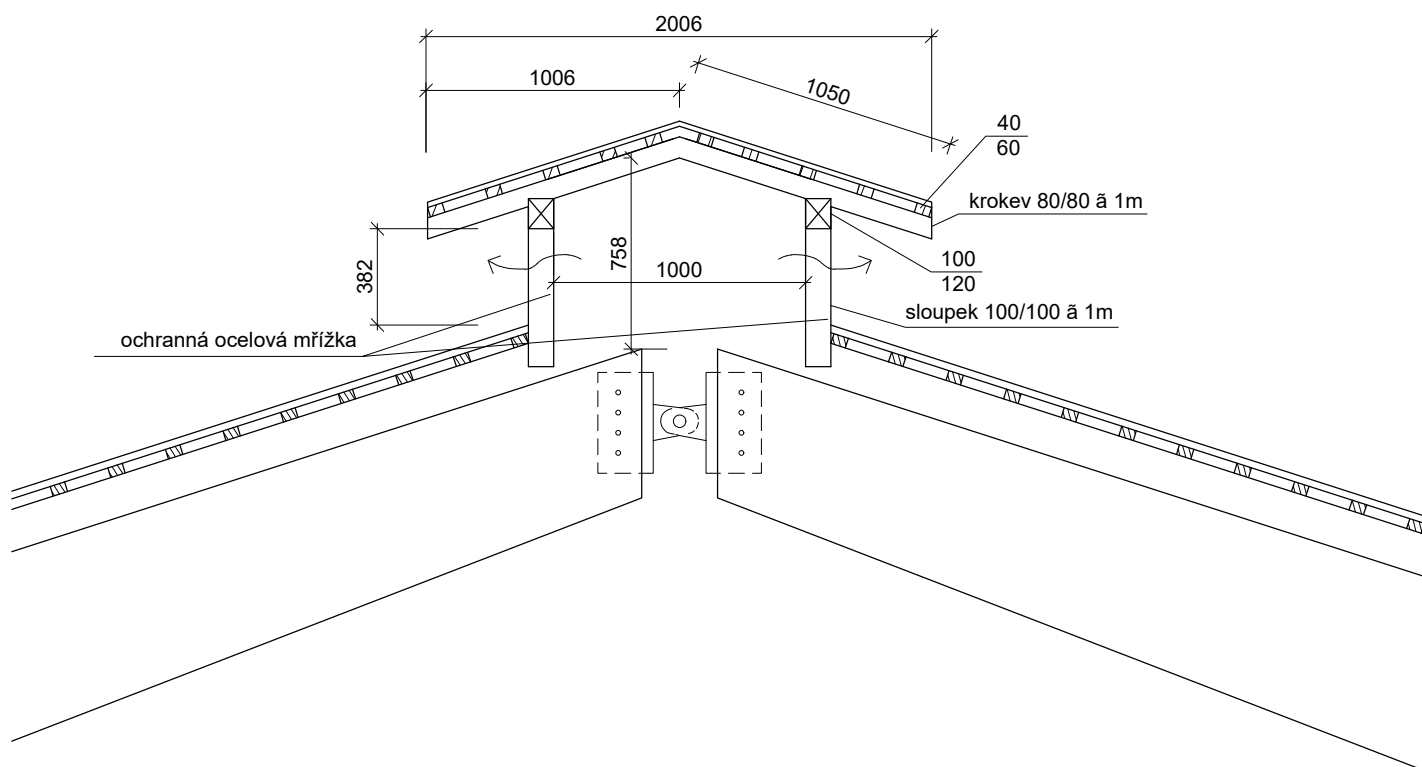
Materiál:  
 OCEL S235  
 SVORNÍKY Ø20 5.8  
 ČEPY Ø50 5.8  
 DŘEVO GL24h

Poznámka:  
 Nenařítat povrch, úprava žárový zinek  
 Srazit hrany (očistit špony, přejet ostré hrany)  
 VŠECHNY SVARY JSOU KOUTOVÉ  
 VŠECHNY PRVKY OVAŘIT DOKOLA  
 TYČOVINA - svar tl. 8 mm, PLECH - svar tl. 6mm

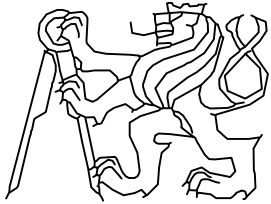
Kótováno v mm

Zpracovala: BARBORA ŘÍHOVÁ	Vedoucí práce: Ing. ANNA KUKLÍKOVÁ, Ph.D.	Školní rok: 2022/2023	
Předmět: BAKALÁŘSKÁ PRÁCE			
NÁZEV ÚLOHY  JÍZDÁRNA			
NÁZEV VÝKRESU DETAIL PATNÍHO KLOUBU			
FORMÁT A3		MĚŘÍTKO 1:5	
DATUM 03/23		ČÍSLO VÝKRESU D2.	





MATERIÁL: DŘEVO C24  
 MEZI SLOUPKY OCHRANNÁ OCELOVÁ MŘÍŽKA

Zpracovala: BARBORA ŘÍHOVÁ	Vedoucí práce: Ing. ANNA KUKLÍKOVÁ, Ph.D.	Školní rok: 2022/2023	
Předmět: BAKALÁŘSKÁ PRÁCE			
NÁZEV ÚLOHY  JÍZDÁRNA			
NÁZEV VÝKRESU STŘEŠNÍ SVĚTLÍK			FORMÁT A4 MĚŘÍTKO 1:30 DATUM 03/23
			ČÍSLO VÝKRESU <b>D4.</b>